

Repository Universitas Brawijaya  
**SISTEM DETEKSI BOLA PADA ROBOT KRSBI BERDASARKAN  
DETEKSI WARNA HSV DENGAN PENAMBAHAN FUNGSI ROI  
(REGION OF INTEREST)**

**SKRIPSI**

**TEKNIK ELEKTRO KONSENTRASI TEKNIK ELEKTRONIKA**

Ditujukan untuk memenuhi persyaratan  
memperoleh gelar Sarjana Teknik



**CHANDRA HALIM HARAHAP**

**NIM.135060301111046**

**UNIVERSITAS BRAWIJAYA**

**FAKULTAS TEKNIK**

**MALANG**

**2017**



**LEMBAR PENGESAHAN**  
**SISTEM DETEKSI BOLA PADA ROBOT KRSBI BERDASARKAN**  
**DETEKSI WARNA HSV DENGAN PENAMBAHAN FUNGSI ROI**  
**(REGION OF INTEREST)**  
**SKRIPSI**

**TEKNIK ELEKTRO KONSENTRASI TEKNIK ELEKTRONIKA**

Ditujukan untuk memenuhi persyaratan  
memperoleh gelar Sarjana Teknik



**CHANDRA HALIM HARAHAP**

**NIM.135060301111046**

Skripsi ini telah direvisi dan disetujui oleh dosen pembimbing  
pada tanggal 24 Juli 2017

**Dosen Pembimbing I**

**Dr. Eng. Panca Mudjirahardjo, S.T., M.T.**

**NIP. 19700329 200012 1 001**

**Dosen Pembimbing II**

**Ir. Nurussa'adah, M.T.**

**NIP. 19680706 199203 2 001**

Mengetahui,

**Ketua Jurusan**

**M. Aziz Muslim, S.T., M.T., Ph.D.**

**NIP. 19741203 200012 1 001**



## JUDUL SKRIPSI:

# SISTEM DETEKSI BOLA PADA ROBOT KRSBI BERDASARKAN DETEKSI WARNA HSV DENGAN PENAMBAHAN FUNGSI ROI (*REGION OF INTEREST*)

Nama Mahasiswa : CHANDRA HALIM HARAHAP

NIM : 13506030111046

Program Studi : TEKNIK ELEKTRO

Konsentrasi : TEKNIK ELEKTRONIKA

## Komisi Pembimbing :

Ketua : Dr. Eng. Panca Mudjirahardjo, S.T., M.T. ....

Anggota : Ir. Nurussa'adah, M.T.

## Tim Dosen Pengaji :

Dosen Pengaji 1 : Dr. Ir. Ponco Siwindarto, M.Eng.Sc.

Dosen Pengaji 2 : Dr. Ir. Muhammad Aswin, M.T.

Dosen Pengaji 3 : Dr. Ing. Onny Setyawati, S.T., M.T., M.Sc.....

Tanggal Ujian : 19 Juli 2017

SK Pengudi : 846/UN.10.F07/SK/2017



## **PERNYATAAN ORISINALITAS SKRIPSI**

Saya menyatakan dengan sebenar-benarnya bahwa sepanjang pengetahuan saya dan berdasarkan hasil penelusuran berbagai karya ilmiah, gagasan dan masalah ilmiah yang diteliti dan diulas di dalam Naskah Skripsi ini adalah asli dari pemikiran saya. Tidak terdapat karya ilmiah yang pernah diajukan oleh orang lain untuk memperoleh gelar akademik di suatu Perguruan Tinggi, dan tidak terdapat karya atau pendapat yang pernah ditulis atau diterbitkan oleh orang lain, kecuali yang secara tertulis dikutip dalam naskah ini dan disebutkan dalam sumber kutipan dan daftar pustaka.

Apabila ternyata di dalam naskah Skripsi ini dapat dibuktikan terdapat unsur-unsur jiplakan, saya bersedia Skripsi dibatalkan, serta diproses sesuai dengan peraturan perundang-undangan yang berlaku (UU No. 20 Tahun 2003, pasal 25 ayat 2 dan pasal 70).

Malang, 6 Juli 2017

**Mahasiswa,**

**CHANDRA HALIM HARAHAP**

**NIM. 135060301111046**



*Teriring Ucapan Terima Kasih kepada:*

*Ayahanda dan Ibunda tercinta*



**Chandra Halim Harahap**, Jurusan Teknik Elektro, Fakultas Teknik Universitas Brawijaya, Juni 2017, *Sistem Deteksi Bola Pada Robot KRSBI Berdasarkan Deteksi Warna HSV Dengan Penambahan Fungsi ROI (Region Of Interest)*, Dosen Pembimbing: Panca Mudjirahardjo dan Nurussa'adah.

## RINGKASAN

Kontes Robot Sepak Bola Indonesia (KRSBI) adalah salah satu kategori perlombaan robot yang sering diselenggarakan oleh Direktorat Jenderal Pendidikan Tinggi (Dirjen Dikti) setiap tahun. Untuk mengikuti kompetisi ini, setiap robot peserta diwajibkan mampu memiliki kemampuan dasar untuk deteksi bola menggunakan sensor kamera. Deteksi warna HSV merupakan cara untuk memfilter warna obyek yang dideteksi dengan warna yang lain berdasarkan lingkup warna *hue*, *saturation*, dan *value*. Untuk mempercepat proses filter warna pada deteksi warna HSV, proses deteksi HSV dapat ditambahkan fungsi ROI (*Region Of Interest*). ROI berfungsi untuk menyeleksi daerah dari obyek yang akan dideteksi untuk mengambil nilai dari parameter – parameter yang dibutuhkan untuk mendeteksi suatu obyek. *Library* yang digunakan adalah OpenCV (*Open source Computer Vision*) karena tersedia secara gratis serta banyaknya fitur yang bisa dilakukan.

Berdasarkan hasil penelitian, bola orange yang digunakan sebagai obyek yang dideteksi memiliki rata - rata nilai yaitu *Hue* (H) dengan nilai minimal sebesar 5 dan maksimal 17, *saturation* (S) dengan nilai minimal sebesar 148 dan maksimal sebesar 234, dan *value* (V) dengan nilai minimal sebesar 84 dan maksimal 254. Jarak maksimal bola terdeteksi sebesar 160,020 cm sedangkan secara praktik sebesar 158,50 cm. Persen error dari jarak bola secara teori dan praktik < 1,6 %. Pada sistem keseluruhan robot mampu mendeteksi bola pada 3 posisi bola yang diatur yaitu di timur robot, diselatan robot, dan di barat robot dengan jarak bola tetap 30 cm. Hasilnya, robot paling cepat menemukan bola pada posisi 1 (timur) dengan waktu rata-rata 4,12 detik sedangkan posisi 2 (selatan) robot menemukan bola dengan waktu rata-rata 6,10 detik dan posisi 3 (barat) robot menemukan bola dengan waktu rata-rata 8,05 detik. Posisi 1 memiliki waktu rata-rata lebih cepat dibandingkan posisi 2 dan posisi 3 dikarenakan algoritma pada mikrokontroler utama yang melakukan manuver gerakan putar kanan terlebih dahulu untuk mencari bola.

Kata kunci - KRSBI, Sensor kamera, Deteksi warna HSV, ROI, OpenCV





**Chandra Halim Harahap**, Department of Electrical Engineering, Faculty of Engineering, Brawijaya University, June 2017. Ball Detection System On KRSBI Robot Based on HSV Color Detection With Addition Function ROI (Region Of Interest), Academic Supervisor: Panca Mudjirahardjo dan Nurussa'adah.

Kontes Robot Sepak Bola Indonesia (KRSBI) is one of the robot competition categories that are often organized by Direktorat Jenderal Pendidikan Tinggi (Dirjen Dikti) in every year. To participate in this competition, every participant's robot is required to have basic skills for ball detection using camera sensors. HSV color detection is a way to filter the color of objects detected with other colors based on the color scope of hue, saturation, and value. To speed up the color filter process on HSV color detection, the HSV detection process can be added to the ROI (Region Of Interest). ROI serves to select the area of the object to be detected to extract values from the parameters needed to detect an object. The library used is OpenCV (Open Source Computer Vision) because it is available for free as well as many features that can be done.

Based on the research results, the orange ball used as the detected object has an average value of Hue (H) with a minimum value of 5 and a maximum of 17, saturation (S) with a minimum value of 148 and a maximum of 234, and value (V) With a minimum value of 84 and a maximum of 254. The maximum distance of the ball is detected at 160,020 cm while in practice by 158,50 cm. Percent error from the ball spacing in theory and practice <1,6%. In the whole system the robot is able to detect the ball on 3 spherical position which is set in east robot, south of robot, and in west robot with fixed ball spacing 30 cm. The result, is the fastest robot finding the ball at position 1 (east) with an average time of 4,12 seconds while position 2 (south) robot finds the ball with an average time of 6,10 seconds and position 3 (west) robot finds the ball with an average time of 8,05 Seconds. Position 1 has an average time faster than position 2 and position 3 due to the algorithm on the main microcontroller that maneuvered the right-hand motion first to find the ball.

**Keywords** - KRSBI, Camera sensors, HSV Colour detection, ROI, OpenCV

## SUMMARY



## PENGANTAR

Alhamdulillah, puji dan syukur penulis panjatkan kepada Allah SWT, karena atas segala petunjuk dan nikmat-Nya lah skripsi ini dapat diselesaikan. Skripsi berjudul “*SISTEM DETEKSI BOLA PADA ROBOT KRSBI BERDASARKAN DETEKSI WARNA HSV DENGAN PENAMBAHAN FUNGSI ROI (REGION OF INTEREST)*” ini disusun untuk memenuhi persyaratan memperoleh gelar Sarjana Teknik di Jurusan Teknik Elektro Universitas Brawijaya.

Penulis menyadari bahwa dalam penyusunan skripsi ini tidak terlepas dari bantuan berbagai pihak. Oleh karena itu, dengan ketulusan dan kerendahan hati penulis menyampaikan terima kasih kepada:

- Ayah Ridwan Harahap, Ibu Khairani selaku orang tua penulis atas segala inspirasi, nasehat, kasih sayang, perhatian dan kesabarannya didalam membesar dan mendidik penulis, serta telah banyak mendoakan kelancaran penulis hingga terselesaikannya skripsi ini,
  - Seluruh Saudara dan Keluarga Besar di Subulussalam dan Padang Sidempuan.
  - Yang Terhormat Bapak M. Aziz Muslim, ST., MT., Ph.D selaku Ketua Jurusan Teknik Elektro Universitas Brawijaya.
  - Yang Terhormat Bapak Hadi Suyono, ST., MT., Ph.D selaku Sekretaris Jurusan Teknik Elektro Universitas Brawijaya.
  - Yang Terhormat Bapak Dr. Eng. Panca Mudjirahardjo, S.T., M.T. selaku Dosen Pembimbing I atas segala bimbingan, pengarahan, saran, dan kritik yang telah diberikan selama proses penggeraan skripsi.
  - Yang Terhormat Ibu Ir. Nurussa'adah, M.T. selaku Ketua Kelompok Dosen Keahlian Elektronika Jurusan Teknik Elektro Universitas Brawijaya, Dosen Pembimbing II, dan Dosen Penasehat Akademik penulis atas segala bimbingan, pengarahan, saran, dan kritik yang telah diberikan selama perkuliahan dan penggeraan skripsi.
  - Seluruh dosen pengajar Jurusan Teknik Elektro Universitas Brawijaya,
  - Seluruh staff recording Jurusan Teknik Elektro Universitas Brawijaya

- Keluarga Besar “Generasi Emas” atau asisten Laboratorium Mekatronika angkatan 2013 atas segala pengalaman, kebersamaan dan bantuan selama 3 tahun ini menjadi anggota tim robotika dan asisten.
- Keluarga Besar Laboratorium Sistem Digital atas segala pengalaman, kebersamaan dan bantuan selama menjadi asisten.
- Keluarga Besar Tim Robotika TEUB terkhusus sub divisi KRSBI atas segala pengalaman, kebersamaan dan bantuan selama ini.
- Keluarga Besar Mahasiswa Teknik Elektro Universitas Brawijaya,
- Saudara – sodari “Spectrum” angkatan 2013 atas segala bantuan dan kebersamaan yang telah diberikan selama 4 tahun ini.
- Seluruh teman-teman serta semua pihak yang tidak mungkin bagi penulis untuk mencantumkan satu-persatu, terimakasih banyak atas bantuan dan dukungannya.

Pada akhirnya, penulis menyadari bahwa skripsi ini masih belum sempurna. Oleh karena itu, penulis sangat mengharapkan kritik dan saran yang membangun. Penulis berharap semoga skripsi ini dapat bermanfaat bagi pengembangan ilmu pengetahuan dan teknologi serta bagi masyarakat.

Malang, Juli 2017

Penulis

**PENGANTAR****DAFTAR ISI****DAFTAR TABEL****DAFTAR GAMBAR****DAFTAR LAMPIRAN****BAB I PENDAHULUAN**

## 1.1 Latar Belakang .....

## 1.2 Rumusan Masalah .....

## 1.3 Batasan Masalah .....

## 1.4 Tujuan .....

## 1.5 Manfaat .....

**BAB II TINJAUAN PUSTAKA**

## 2.1 Kontes Robot Sepak Bola Indonesia .....

## 2.2 OpenCV .....

## 2.3 Model Warna HSV .....

## 2.4 Deteksi Warna HSV .....

## 2.5 ROI (Region Of Interest) .....

## 2.6 Modul STM32F401RE Nucleo .....

## 2.7 Raspberry Pi .....

## 2.8 Komunikasi Serial Asinkron .....

## 2.9 Modul Bluetooth HC-05 .....

## 2.10 Driver L298N .....

## 2.11 Servo Serial Dynamixel .....

**BAB III METODE PENELITIAN**

## 3.1 Penentuan Spesifikasi Alat .....

## 3.2 Perancangan Dan Perealisasian Alat .....

3.2.1 Perancangan dan Pembuatan Perangkat Keras (*Hardware*) .....**DAFTAR ISI**

Halaman

1

iii

v

vii

ix

1

1

2

2

3

3

5

5

6

6

7

8

8

10

11

11

12

13

15

15

16

16

3.2.2 Perancangan dan Pembuatan Perangkat Lunak ( <i>Software</i> ) .....	22
3.3 Pengujian Alat .....	29
3.3.1 Pengujian Rangkaian <i>Driver Motor L298N</i> .....	29
3.3.2 Pengujian <i>Servo Serial Dynamixel</i> .....	30
3.3.3 Pengujian Sensor Kamera Dengan Hasil Olahan OpenCV .....	31
3.3.4 Pengujian Transmisi Data .....	34
3.3.5 Pengujian Performa Sistem Keseluruhan.....	36
<b>BAB IV HASIL DAN PEMBAHASAN</b> .....	39
4.1 Pengujian Rangkaian Driver Motor L298N .....	39
4.1.1 Pengujian <i>Duty Cycle</i> Rangkaian Mikrokontroler dan <i>Driver L298N</i> .....	39
4.1.2 Pengujian Arah Gerak Motor.....	41
4.2 Pengujian Servo Serial Dynamixel.....	42
4.2.1 Pengujian Sudut <i>Servo Serial Dynamixel</i> .....	42
4.3 Pengujian Sensor Kamera Dengan Hasil Olahan OpenCV .....	43
4.3.1 Pengujian Jumlah <i>Frame</i> Yang Dapat Diproses Dalam Satu Detik .....	43
4.3.2 Pengujian Tampilan <i>Window</i> Proses Deteksi .....	45
4.3.3 Pengujian Nilai HSV Berdasarkan Deteksi Warna HSV dengan ROI .....	47
4.3.4 Pengujian Jarak Maksimal BolaTerdeteksi.....	48
4.3.5 Pengujian Posisi Bola Terhadap Robot.....	50
4.4 Pengujian Transmisi Data.....	51
4.4.1 Pengujian Pengujian Sinyal Komunikasi Serial UART Pada Mikrokontroler .	51
4.4.2 Pengujian Penerimaan Data Pada Mikrokontroler Utama .....	52
4.4.3 Pengujian Jarak Komunikasi <i>Bluetooth HC-05</i> .....	52
4.5 Pengujian Performa Sistem Keseluruhan .....	54
<b>BAB V KESIMPULAN DAN SARAN</b> .....	55
5.1 Kesimpulan.....	55
5.2 Saran .....	56
<b>DAFTAR PUSTAKA</b> .....	57
<b>LAMPIRAN</b> .....	59

**DAFTAR TABEL**

No.	Judul	Halaman
Tabel 2.1	<i>Absolute Maximum Rating Pin IC L298N</i> .....	12
Tabel 4.1	Hasil Pengujian Data Selisih <i>Duty Cycle</i> MK Dengan Driver L298N.....	41
Tabel 4.2	Hasil Pengujian Arah Gerak Motor .....	42
Tabel 4.3	Hasil Pengujian Sudut <i>Servo Serial Dynamixel</i> .....	43
Tabel 4.4	Hasil Pengujian Jumlah <i>Frame</i> Per Detik .....	44
Tabel 4.5	Hasil Pengujian Nilai HSV .....	47
Tabel 4.6	Hasil Pengujian Jarak Maksimal Bola Terdeteksi .....	49
Tabel 4.7	Hasil Pembagian <i>Frame Pixel</i> Kamera Untuk Menentukan Posisi Bola Terhadap Robot .....	50
Tabel 4.8	Hasil Pengujian Jarak Maksimal Pengiriman Data <i>Bluetooth HC-05</i> .....	53
Tabel 4.9	Hasil Pengujian Performa Sistem Keseluruhan.....	54



**DAFTAR GAMBAR**

No.	Judul	Halaman
Gambar 2.1	Ilustrasi kondisi lapangan .....	5
Gambar 2.2	Sistem silinder warna HSV .....	7
Gambar 2.3	Deteksi warna dengan memisahkan satu warna dengan warna lainnya .....	7
Gambar 2.4	Hasil ROI dengan <i>mouse event</i> pada suatu gambar .....	8
Gambar 2.5	Blok diagram <i>hardware STM32 nucleo</i> .....	9
Gambar 2.6	Raspberry Pi-2 model B .....	10
Gambar 2.7	Format pengiriman data komunikasi serial asinkron .....	11
Gambar 2.8	Bentuk fisik modul <i>bluetooth HC-05</i> .....	12
Gambar 2.9	Konfigurasi pin IC L298N .....	13
Gambar 2.10	Sistem pengontrolan <i>servo serial dynamixel</i> .....	13
Gambar 2.11	Paket instruksi pengiriman data pada <i>servo serial dynamixel</i> .....	13
Gambar 2.12	<i>Pinout servo serial dynamixel</i> .....	14
Gambar 3.1	Diagram blok sistem keseluruhan .....	16
Gambar 3.2	Perspektif robot secara keseluruhan .....	18
Gambar 3.3	Diagram blok antarmuka mikrokontroler utama secara keseluruhan .....	19
Gambar 3.4	Diagram blok catu daya dari sistem keseluruhan .....	19
Gambar 3.5	Rangkaian regulator tegangan LM2576 .....	20
Gambar 3.6	Rangkaian <i>driver motor</i> L298N .....	21
Gambar 3.7	Rangkaian <i>octal buffer</i> 74LS241 .....	22
Gambar 3.8	<i>Overview</i> algoritma deteksi warna HSV .....	23
Gambar 3.9	Jarak antara kedua titik P dan Q dalam ruang dua dimensi .....	25
Gambar 3.10	Diagram alir pengiriman data hasil deteksi warna HSV pada raspberry pi ....	26
Gambar 3.11	Koordinat bola melalui pembagian lebar dan tinggi <i>frame pixel</i> kamera.....	27
Gambar 3.12	Diagram alir perancangan pada mikrokontroler utama .....	28
Gambar 3.13	Skema pengujian <i>duty cycle</i> rangkaian <i>driver L298N</i> terhadap sinyal masukan PWM .....	30
Gambar 3.14	Skema pengujian arah gerak motor .....	30
Gambar 3.15	Skema pengujian sudut <i>servo serial dynamixel</i> .....	31
Gambar 3.16	Skema pengujian jumlah <i>frame</i> dalam satu detik .....	31
Gambar 3.17	Skema pengujian tampilan <i>window proses deteksi</i> .....	32

Gambar 3.18 Skema pengujian nilai HSV berdasarkan deteksi warna HSV dengan ROI ..	33
Gambar 3.19 Ilustrasi sistem trigonometri .....	33
Gambar 3.20 Skema pengujian jarak bola terdeteksi .....	33
Gambar 3.21 Skema pengujian posisi bola terhadap robot .....	34
Gambar 3.22 Skema pengujian sinyal komunikasi UART Raspberry Pi .....	35
Gambar 3.23 Skema pengujian penerimaan data pada mikrokontroler utama .....	35
Gambar 3.24 Skema pengujian jarak komunikasi <i>bluetooth HC-05</i> .....	36
Gambar 3.25 Skema pengujian performa sistem keseluruhan .....	37
Gambar 4.1 Sinyal keluaran <i>driver L298N</i> terhadap sinyal masukan PWM mikrokontroler sebesar 10% .....	40
Gambar 4.2 Tampilan waveform parameter osiloskop velleman PCSU100 .....	40
Gambar 4.3 Penempatan motor kanan dan motor kiri tampak depan pada robot .....	41
Gambar 4.4 <i>Servo serial dynamixel</i> yang telah dipasangi busur 360° .....	42
Gambar 4.5 Hasil estimasi <i>frame</i> per detik saat memproses 80 <i>frame</i> .....	44
Gambar 4.6 Hasil tampilan <i>window – window</i> awal program deteksi warna HSV dengan ROI ( (a) gambar sebenarnya, (b) gambar hasil konversi gambar sebenarnya menjadi HSV, (c) gambar hitam <i>threshold</i> Awal ).....	45
Gambar 4.7 Hasil tampilan <i>window – window</i> saat seleksi area dengan ROI selesai dilakukan ( (a) gambar sebenarnya , (b) gambar hasil seleksi ROI, (c) gambar hasil konversi gambar sebenarnya menjadi gambar HSV, (d) gambar <i>threshold</i> ).....	46
Gambar 4.8 Hasil tampilan <i>range</i> minimal dan maksimal nilai HSV pada terminal Raspberry pi.....	47
Gambar 4.9 Tampilan <i>window</i> saat pengujian jarak maksimal bola terdeteksi ( (a) <i>window</i> Gambar sebenarnya, (b) <i>window threshold</i> ) .....	49
Gambar 4.10 Tampilan terminal dan <i>window</i> gambar sebenarnya saat posisi bola “Kiri Robot” ( (a) <i>window</i> gambar sebenarnya, (b) tampilan terminal ) .....	50
Gambar 4.11 Hasil pembacaan data dengan osiloskop .....	51
Gambar 4.12 Hasil pengujian penerimaan data pada mikrokontroler utama .....	52
Gambar 4.13 Hasil pengujian data kata yang dikirim menggunakan <i>bluetooth HC-05</i> .....	53



No.	Judul	Halaman
Lampiran 1.	Dokumentasi alat.....	59
Lampiran 2.	Skematik rangkaian.....	61
Lampiran 3.	Listing program.....	65
Lampiran 4.	Datasheet.....	81

## **DAFTAR LAMPIRAN**



## 1.1 Latar Belakang

Kontes Robot Sepak Bola Indonesia (KRSBI) adalah Liga Sepak Bola Robot *Humanoid (Robosoccer Humanoid League)* yang mengacu pada cita-cita organisasi *RoboCup International* sebagai penyelenggara resmi kontes sepak bola robot di dunia, yang memiliki cita-cita utama yaitu tahun 2050 mampu mencetak tim sepak bola yang mampu melawan tim juara dunia. Peserta Kontes Robot Sepak Bola diwajibkan membuat minimal dua robot dan maksimal lima robot yang terdiri dari robot penjaga gawang dan robot penyerang yang telah dirancang menggunakan sensor, *processor*, dan aktuator yang sesuai dan berfungsi sesuai aturan perlombaan. Peserta kontes robot ini akan dibagi menjadi dua tim, yang terdiri dari tim merah dan tim biru, robot dari salah satu tim yang mampu mengiring dan memasukkan bola ke gawang lawan sebanyak mungkin selama waktu  $2 \times 10$  menit akan dinyatakan sebagai pemenang (RISTEKDIKTI, 2016).

Untuk mengikuti kompetisi KRSBI, setiap robot peserta diwajibkan mampu memiliki kemampuan dasar untuk deteksi bola menggunakan sensor kamera. Pada saat perlombaan, tim robot KRSBI Teknik Elektro Universitas Brawijaya belum berhasil membuat sistem pendekalian yang baik hal ini dilihat dari sistem kalibrasi untuk memperoleh nilai parameter-parameter warna bola yang lama yaitu dengan cara manual menggunakan *trackbar window* atau memanfaatkan aplikasi *photo editor* akibatnya kurang mengoptimalkan waktu untuk melakukan sesuatu yang lain. Selain itu sistem pendekalian saat perlombaan yang dibuat terkadang juga masih menyebabkan kegagalan dari navigasi robot untuk menemukan posisi bola.

Berdasarkan ruang lingkup warna, obyek seperti bola dapat dideteksi dengan metode deteksi warna RGB & HSV. Deteksi latar belakang sebagai warna dominan telah berhasil dilakukan dengan menerapkan histogram S-RGB (Mudjirahardjo, 2016). Untuk deteksi warna HSV saat ini masih dikembangkan oleh tim robot KRSBI Teknik Elektro Universitas Brawijaya. Deteksi warna HSV merupakan cara untuk memfilter warna obyek yang dideteksi dengan warna yang lain berdasarkan lingkup warna *hue*, *saturation*, dan *value*. Untuk mempercepat proses filter warna pada deteksi warna HSV, proses deteksi HSV dapat ditambahkan fungsi ROI (*Region Of Interest*). ROI berfungsi untuk menyeleksi daerah dari obyek yang akan dideteksi

untuk mengambil nilai dari parameter – parameter yang dibutuhkan untuk mendeteksi suatu obyek. Fungsi ROI dapat dikombinasikan dengan fungsi *mouse event* untuk mendapatkan *region* pada obyek yang akan dideteksi dengan cepat.

Maka, pada skripsi ini dirancang suatu sistem untuk deteksi bola pada robot KRSBI berdasarkan deteksi warna HSV dengan penambahan fungsi ROI (*Region Of Interest*). *Library* yang digunakan adalah OpenCV (*Open source computer vision*). OpenCV digunakan karena *library* ini dapat tersedia secara gratis serta lebih dikhkususkan untuk penglihatan komputer secara *real time* yang dikembangkan oleh pusat penelitian Intel di Nizhny Novgorod, Rusia. Penggunaan sensor kamera dan OpenCV sebenarnya pernah diteliti oleh Akhmad Tegar Fahreza F untuk deteksi warna lapangan KRSI menggunakan kamera dan sensor warna untuk mencari sudut hadap dan jarak (Tegar, 2015). Penulis menyadari bahwa metode yang digunakan pada skripsi tersebut berdasarkan deteksi warna HSV yang masih menggunakan cara manual untuk menentukan nilai dari parameter-parameter untuk deteksi obyek. Selain itu pada robot penari obyek yang dideteksi tidak berpindah tempat. Berbeda dengan kompetisi robot sepak bola obyek yang dideteksi yaitu bola, setiap waktu akan berpindah jika disentuh oleh robot lain atau oleh robot sendiri. Dengan menggunakan deteksi warna HSV dengan penambahan ROI diharapkan nantinya robot mampu deteksi obyek dengan baik dilihat dari respon navigasinya serta proses kalibrasi yang tidak lama.

## 1.2 Rumusan Masalah

Berdasarkan latar belakang yang telah diuraikan dapat disusun rumusan masalah sebagai berikut :

1. Bagaimana merancang dan membuat robot yang dapat mendeteksi bola dengan deteksi warna HSV dengan penambahan fungsi ROI ?
2. Bagaimana mengetahui jarak maksimal bola mampu dideteksi oleh robot?
3. Bagaimana mengetahui posisi bola yaitu kanan, kiri, dan tengah dari posisi robot ?
4. Bagaimana membuat robot bergerak sesuai posisi bola yang telah dideteksi ?

## 1.3 Batasan Masalah

Dengan mengacu pada permasalahan yang telah dirumuskan, batasan masalah untuk skripsi ini adalah sebagai berikut :

1. Tidak menggunakan robot jenis *humanoid* melainkan menggunakan dua buah roda sebagai aktuator,

2. Menggunakan *library* OpenCV,
3. Jumlah robot yang dibuat satu buah,
4. Warna bola yang digunakan warna orange,
5. Lapangan mencari bola digunakan karpet berwarna hijau,
6. Pembahasan mekanik robot hanya sekedar aspek praktis, tanpa membahas mekanika secara mendalam,
7. Sensor kamera yang digunakan harus dilakukan kalibrasi terlebih dahulu karena mudah terpengaruh oleh pencahaayaan ruang.

#### **1.4 Tujuan**

Tujuan skripsi ini adalah untuk merancang dan membuat sistem untuk deteksi bola pada robot KRSBI menggunakan metode *color filtering* berdasarkan lingkup warna HSV dengan penambahan fungsi ROI (*Region Of Interest*).

#### **1.5 Manfaat**

Adapun manfaat dari hasil skripsi ini adalah sebagai berikut :

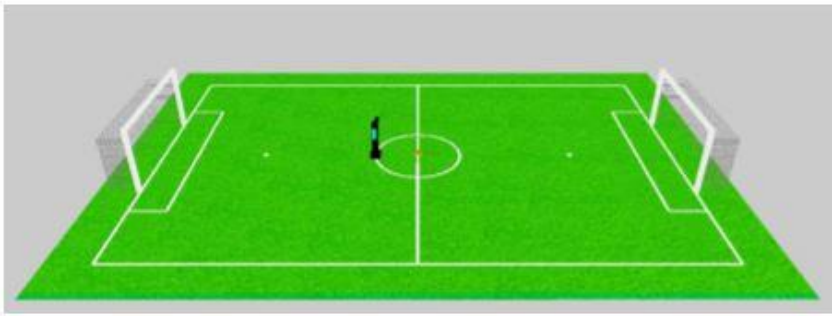
1. Manfaat utama dari skripsi ini yaitu membantu sistem deteksi dan mengikuti bola yang baik dan handal pada sistem robot sepak bola,
2. Karena skripsi ini menggunakan sensor utama berupa kamera diharapkan dapat dikembangkan lebih lanjut agar penggunaan sensor kamera dapat mengganti sensor-sensor lain seperti sensor jarak, *proximity*, dan lain-lain,
3. Hasil skripsi ini dapat dikembangkan kembali untuk aplikasi pada algoritma deteksi gawang pada kompetisi KRSBI.



## 2.1 Kontes Robot Sepak Bola Indonesia

Kontes Robot Sepak Bola Indonesia (KRSBI) merupakan sebuah kompetisi tahunan yang bertujuan untuk membuat perancangan dan pembuatan robot sepak bola yang diseleksi untuk mempersiapkan tim pilihan yang berhak menuju kompetisi internasional. Kompetisi ini mengacu pada cita-cita organisasi *RoboCup International* sebagai penyelenggara resmi kontes sepak bola robot di dunia, yang memiliki cita-cita utama yaitu tahun 2050 mampu mencetak tim sepak bola yang mampu melawan tim juara dunia. Peserta Kontes Robot Sepak Bola diwajibkan membuat minimal satu robot dan maksimal lima robot yang terdiri dari robot penjaga gawang dan robot penyerang yang telah dirancang menggunakan sensor, *processor*, dan aktuator yang sesuai dan berfungsi sesuai aturan perlombaan. Untuk dapat lolos dalam proses seleksi awal (Tahap II : Laporan perkembangan Robot dalam Video) tim harus menunjukkan bahwa tiap robot memiliki kemampuan dasar mencari bola dan menendang bola. Tanpa kemampuan dasar ini tim robot tidak akan diperkenankan mengikuti pertandingan regional (RISTEKDIKTI, 2016).

KRSBI menggunakan karpet berwarna hijau sebagai lapangan dan bola berwarna orange sebagai obyek yang akan dideteksi oleh masing-masing robot. Ilustrasi kondisi lapangan ditunjukkan dalam Gambar 2.1.



Gambar 2.1 Ilustrasi kondisi lapangan

Sumber : RISTEKDIKTI (2016,p.14)

Robot harus dilengkapi sensor yang bertujuan untuk merepresentasikan sensor-sensor alami dari manusia seperti kamera (mata), sensor sentuhan (kulit), sensor tekanan (untuk telapak kaki) dan lain sebagainya.

## 2.2 OpenCV

OpenCV (*Open Source Computer Vision Library*) merupakan *library* pemrograman pada komputer yang bersifat *open source* dan didalamnya terdapat ratusan algoritma untuk melakukan pemrograman *computer vision*. *Library* ini memiliki antarmuka C, C++, python, dan java, serta dapat digunakan oleh windows, linux, maupun android. OpenCV didesain untuk meningkatkan efisiensi pada komputasi dan memiliki fokus pada aplikasi *real-time* (Itseez, 2014).

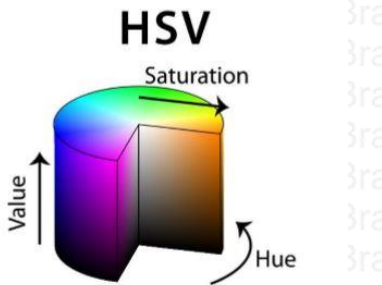
OpenCV memiliki beberapa fitur yaitu :

- Manipulasi data citra (alokasi, *copying*, *setting*, konversi).
- Citra dan video I/O (file dan kamera *based input*, *image/video file output*).
- Manipulasi Matriks dan Vektor beserta aljabar linear (*products*, *solvers*, *eigenvalues*, *SVD*).
- Data struktur dinamis (*lists*, *queues*, *sets*, *trees*, *graphs*).
- Pemroses Citra fundamental (*filtering*, *edge detection*, *corner detection*, *sampling and interpolation*, *color conversion*, *morphological operations*, *histograms*, *image pyramids*).
- Analisis struktur(*connected components*, *contour processing*, *distance transform*, *various moments*, *template matching*, *Hough transform*, *polygonal approximation*, *line fitting*, *ellipse fitting*, *Delaunay triangulation*).
- Kalibrasi kamera (*calibration patterns*, *estimasi fundamental matrix*, *estimasi homography*, *stereo correspondence*).
- Analisis gerakan (*optical flow*, *segmentation*, *tracking*).
- Pengenalan obyek (*eigen-methods*, HMM).
- Graphical User Interface (*display image/video*, penanganan keyboard dan *mouse event*, *scroll-bars*).
- Pelabelan citra (*line*, *conic*, *polygon*, *text drawing*).

## 2.3 Model Warna HSV

Ruang warna HSV terdiri dari tiga deskriptor yang berbeda, yang selalu diamati dari jumlah yang minimum untuk mengklasifikasikan warna. Pertama adalah *hue* yang dideskripsikan sebagai warna yang dapat dilihat oleh mata manusia. Kedua adalah *saturation*, dideskripsikan sebagai kemurnian warna atau pada *computer vision* merupakan representasi dari banyaknya

warna putih yang tercampur. Ketiga adalah *value*, digambarkan sebagai kecerahan warna (Ivask, 2015, p.14). Sistem silinder dari warna HSV ditunjukkan dalam Gambar 2.2.



Gambar 2.2 Sistem silinder warna HSV

Sumber : Ivask (2015,p.14)

## 2.4 Deteksi Warna HSV

Deteksi warna merupakan kemampuan untuk mengambil gambar, memisahkan warna tertentu, dan mengambil informasi berupa posisi dari warna yang dipisahkan tersebut. Sebagai contoh, jika seseorang melihat sebuah foto yang berisi gambar bola merah di jalan dan ingin melingkari warna merah yang ada di dalam foto, orang tersebut akan dengan mudah melingkari bola merah di dalam gambar. Inilah ide dasar dari deteksi warna. Seseorang tidak perlu mengetahui obyek yang ada pada foto adalah bola, dia hanya perlu mengetahui warna dari bola tersebut (Adam Goode, 2011). Adapun gambar hasil memisahkan satu warna dengan warna lainnya ditunjukkan dalam Gambar 2.3.



Gambar 2.3 Deteksi warna dengan memisahkan satu warna dengan warna lainnya

Sumber : Mordvintsev (2017,p.51)

Deteksi warna HSV merupakan cara untuk memfilter warna obyek yang dideteksi dengan warna yang lain berdasarkan lingkup warna *hue*, *saturation*, dan *value*. Pertama kali obyek input warna RGB akan di *convert* menjadi warna HSV. Kemudian warna HSV tersebut diberi batas tertentu dengan konsep binerisasi dengan intensitas 0 atau 255 sampai diperoleh hasil *thresholding*. Jika nilai *threshold* yang telah diatur adalah 200, maka semua *pixel* yang nilainya

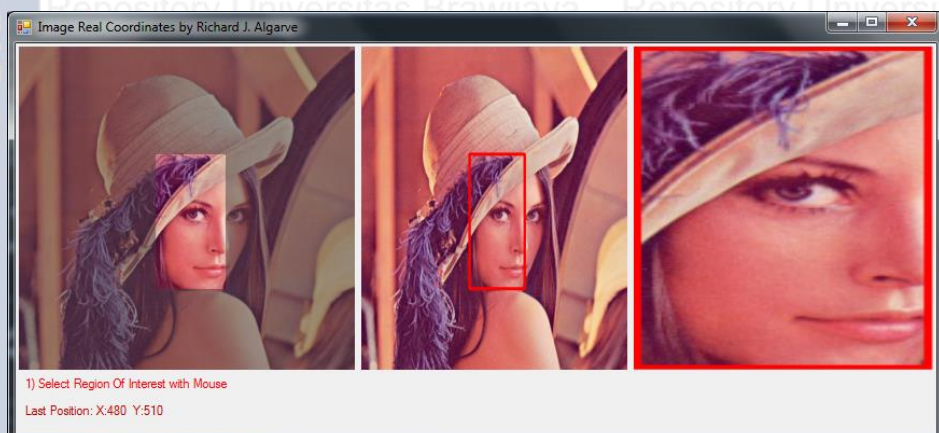
diatas atau sama dengan 200 diganti menjadi 255, sedangkan jika nilainya dibawah 200 diganti menjadi 0 seperti yang ditunjukkan pada persamaan (2-1).

$$f(x, y); \text{ if } f(x, y) > \text{Threshold} \text{ Then, } f(x, y) = 255 \text{ else } 0 \quad (2-1)$$

Salah satu cara dalam melakukan *tracking* warna, yaitu dengan menentukan nilai minimum dan maksimum untuk tiga jenis warna dasar. Setiap warna yang unik diwakili oleh nilai merah, hijau, dan biru yang dapat dicampur untuk menjadi warna baru. Bagian tersulit dalam menentukan warna adalah bahwa seseorang harus menentukan rentang nilai untuk semua tiga jalur warna. Karena pencahayaan yang berbeda-beda dan warna obyek yang tidak sempurna, sehingga diperlukan kalibrasi untuk mendapatkan rentang nilai yang optimal untuk suatu obyek tertentu (Tegar, 2015).

## 2.5 ROI (*Region Of Interest*)

ROI (*Region Of Interest*) merupakan salah satu fungsi untuk membuat *sub image* suatu gambar yang telah disediakan di *library* OpenCV. ROI digunakan untuk menyeleksi daerah dari obyek yang akan dideteksi kemudian mengambil nilai dari parameter – parameter yang dibutuhkan untuk mendeteksi suatu obyek. Dengan menggunakan *library* OpenCV fungsi ROI dapat dikombinasikan dengan fungsi *mouse event* untuk mendapatkan *region* pada obyek yang akan dideteksi dengan cepat. Adapun contoh dari hasil ROI dengan *mouse event* pada suatu Gambar ditunjukkan dalam Gambar 2.4.



Gambar 2.4 Hasil ROI dengan *mouse event* pada suatu gambar

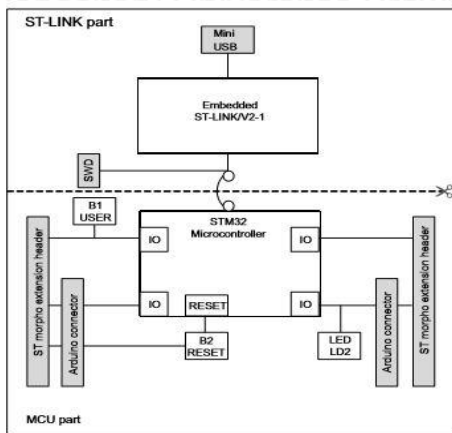
Sumber : Richard (2015)

## 2.6 Modul STM32F401RE Nucleo

STM32F401RE Nucleo merupakan board mikrokontroler berbasis ARM Cortex-M4 yang dikembangkan oleh STMicroelectronics. Modul mikrokontroler ini memiliki keunggulan yaitu

memiliki kecepatan proses data yang sangat tinggi dan RAM yang besar sehingga dapat diaplikasikan dalam skala yang lebih luas. Selain itu modul mikrokontroler ini juga kompatibel dengan *development tools* yang dikembangkan secara terbuka yaitu Mbed (STMicroelectronics, 2015).

Blok diagram *hardware* dari modul mikrokontroler STM32F401RE Nucleo ditunjukkan dalam Gambar 2.5.



Gambar 2.5 Blok diagram *hardware* STM32 nucleo

Sumber : STMicroelectronic (2015,p.12)

Fitur-fitur yang dimiliki STM32F401RE Nucleo sebagai berikut:

1. Mikrokontroler ARM Cortex M4 32 bit memiliki kemampuan tinggi, dengan daya yang rendah serta kecepatan hingga 84 MHz.
2. Memiliki kapasitas *flash* memori 512 Kilobyte serta SRAM sebesar 96 Kilobyte.
3. Memiliki GPIO (50) dengan kemampuan *external interrupt*.
4. Fitur *Pheripheral*
  - Real Time Clock (RTC).
  - 7 buah *General Purpose Timers*.
  - 2 (dua) buah *Watchdog Timers*.
  - 4 (empat) buah USART/UART.
  - 16 *channels* ADC 12-bit
  - *Advanced control timers* serta 7 (tujuh) *general purpose timers*.
  - 3 (tiga) buah I2C
  - 3 (tiga) buah SPI
  - 4 *channels* PWM

## 2.7 Raspberry Pi

Raspberry Pi adalah *personal computer* (PC) berukuran mini seukuran kartu kredit. Sistem operasinya ditanam pada sebuah SD Flash Card yang menjadikannya sangat mudah untuk diganti dan ditukar. Potensinya luar biasa, dari yang sudah maupun belum pernah dieksplorasi, tetapi telah diuji sebagai multimedia player dengan kemampuan streaming, sebagai perangkat mesin game, Internet dan sebagai mainboard pengembangan perangkat keras. Bentuk fisik dari Raspberry Pi-2 Model B ditunjukkan dalam Gambar 2.6.



Gambar 2.6 Raspberry Pi-2 model B

Sumber : Dokumentasi Penulis

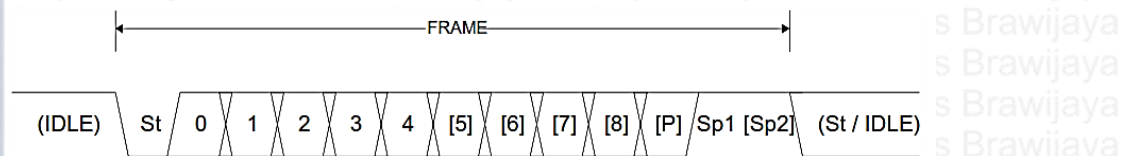
Raspberry Pi-2 Model B ini adalah pengembangan dari tipe sebelumnya yaitu Rpi Model B. Beberapa keunggulan utama Raspberry Pi-2 ini adalah prosesornya yang lebih cepat yaitu *QuadCore* 900 MHz, memori yang lebih besar dari versi sebelumnya yaitu sebesar 1 GB. Spesifikasi adalah sebagai berikut:

- 1. Catu daya: 5 VDC, 800 mA melalui *micro USB*
- 2. Berbasis mikroprosesor Broadcom BCM2836 ARMv7 *Quad Core*, 900 MHz
- 3. Jumlah port I/O adalah 40 pin GPIO
- 4. Port antarmuka: UART TTL, SPI, I2C, 4x USB, RCA 3.5 mm, LCD Panels DSI, RJ-45 10/100, CSI (*Camera Serial Interface*), HDMI, MicroSD Card Slot
- 5. *Bootloader*: melalui sistem berbasis LINUX
- 6. Dimensi: 85.60 mm × 56.5 mm

## 2.8 Komunikasi Serial Asinkron

Komunikasi serial asinkron adalah suatu komunikasi data serial yang tidak memerlukan sinyal *clock* sebagai sinkronisasi. Pengiriman data serial ini harus diawali dengan *start bit* dan diakhiri dengan *stop bit*. Sinyal *clock* merupakan *baud rate* dari komunikasi data yang dibangkitkan oleh masing-masing baik penerima maupun pengirim data dengan frekuensi yang sama, jika nilai *baud rate* berbeda maka tidak akan pernah terjadi komunikasi (Durda, 2014).

Setiap pengiriman data pada UART menggunakan bit tanda *start bit* dan *stop bit*. Jalur data yang digunakan hanya satu untuk setiap pengiriman data. Data-data serial dikirim melewati jalur data satu persatu setiap satuan waktu. Paket data dimulai dengan *start bit* diikuti dengan *Least Significant Data Bit* (LSB). Data berikutnya adalah bit data yang dibentuk hingga 9 bit dan diakhiri dengan *Most Significant Bit* (MSB). Jika diaktifkan, maka *bit parity* akan diletakkan setelah bit data. Paket data diakhiri dengan *stop bit*. Setelah melakukan pengiriman data, maka komunikasi bisa langsung dimulai lagi atau jalur komunikasi bisa diset ke logika tinggi (*idle*) contohnya format pengiriman data komunikasi serial asinkron ditunjukkan dalam Gambar 2.7.



Gambar 2.7 Format pengiriman data komunikasi serial asinkron

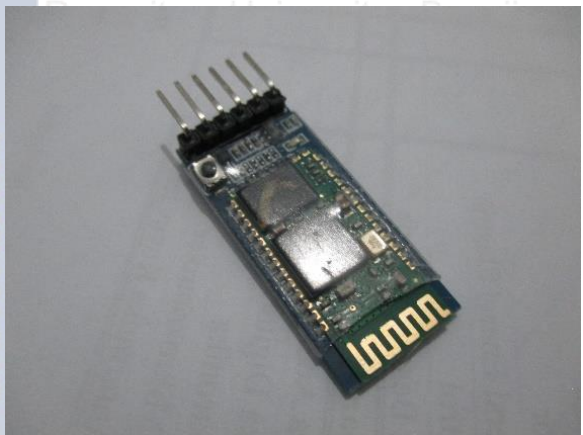
Sumber : Atmel (2010,p.148)

## 2.9 Modul Bluetooth HC-05

*Bluetooth Module HC-05* merupakan *module* komunikasi nirkabel pada frekuensi 2.4GHz dengan pilihan koneksi bisa sebagai *slave*, ataupun sebagai *master*. Dapat digunakan dengan mikrokontroler untuk membuat aplikasi *wireless* bentuk fisik modul *bluetooth* HC-05 ditunjukkan dalam Gambar 2.8. Adapun spesifikasinya adalah sebagai berikut:

- Frekuensi : 2.4GHz,
- Catu Daya : 5 V atau 3,3 V DC,
- Dimensi : 3.57cm x 1.52cm.

Repository Universitas Brawijaya  
Repository Universitas Brawijaya  
Repository Universitas Brawijaya  
Repository Universitas Brawijaya



Gambar 2.8 Bentuk fisik modul *bluetooth* HC-05

Sumber : Dokumentasi Penulis

## 2.10 Driver L298N

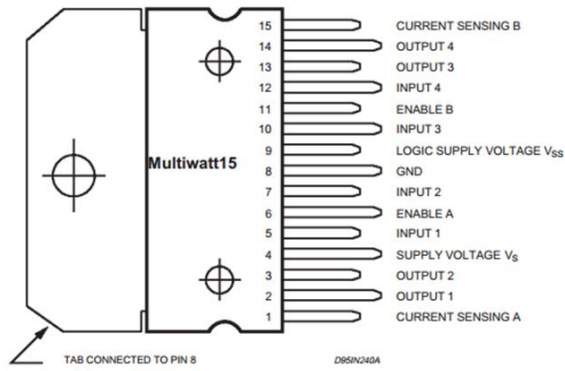
L298N adalah IC *driver* yang mengatur arah dan kecepatan motor DC. L298 dapat digunakan pada tegangan tinggi dan memiliki keluaran arus sampai dengan 2 A setiap *channel*-nya dengan ketahanan terhadap suhu yg cukup tinggi. Tabel 2.1 menunjukkan *absolute maximum rating* dari L298N. Gambar 2.9 menunjukkan *pin configuration* dari L298.

Tabel 2.1

Absolute Maximum Rating Pin IC L298N

Symbol	Parameter	Value	Unit
V <sub>s</sub>	<i>Power supply</i>	50	V
V <sub>ss</sub>	<i>Logic Supply Voltage</i>	7	V
V <sub>I</sub> , V <sub>en</sub>	<i>Input and Enable Voltage</i>	-0.3 to 7	V
I <sub>O</sub>	<i>Peak Output Current (Each Channel)</i>		
	<i>-Non Repetitive</i>	3	A
	<i>-Repetitive</i>	2.5	A
	(80% on -20% off; t <sub>on</sub> = 10ms)		
	<i>-DC Operation</i>	2	A
V <sub>sens</sub>	<i>Sensing Voltage</i>	-1 to 2.3	V
P <sub>tot</sub>	<i>Total Power Dissipation (T<sub>case</sub> = 75°C)</i>	25	W
T <sub>op</sub>	<i>Junction Operation Temperature</i>	-25 to 130	C
T <sub>stg</sub> , T <sub>j</sub>	<i>Storage and Junction Temperature</i>	-40 to 150	C

Sumber : ST (2000,p.2)

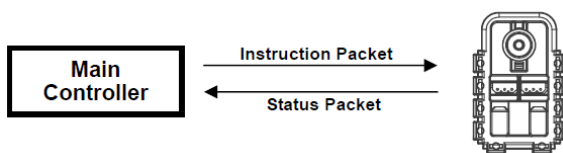


Gambar 2.9 Konfigurasi pin IC L298N

Sumber: ST (2000,p.2)

## 2.11 Servo Serial Dynamixel

Dynamixel adalah aktuator robot cerdas modular yang menggabungkan *gear reducer*, motor DC presisi dan sirkuit kontrol, semua dalam satu paket. Meskipun ukurannya ringkas, *servo serial dynamixel* dapat menghasilkan torsi tinggi dan dibuat dari bahan berkualitas tinggi untuk memberikan kekuatan yang diperlukan dan ketahanan untuk menahan kekuatan eksternal yang besar. *servo serial dynamixel* ini juga memiliki kemampuan untuk mendeteksi dan bertindak pada kondisi internal seperti perubahan suhu atau tegangan suplai. Aktuator *Dynamixel* memiliki banyak keunggulan dibandingkan produk sejenis. Posisi dan kecepatan dapat dikendalikan secara serial dengan resolusi 1024 step, adapun gambaran umum sistem pengontrolan dynamixel ditunjukkan dalam Gambar 2.10 (Robotis, 2006).



Gambar 2.10 Sistem pengontrolan *servo serial dynamixel*

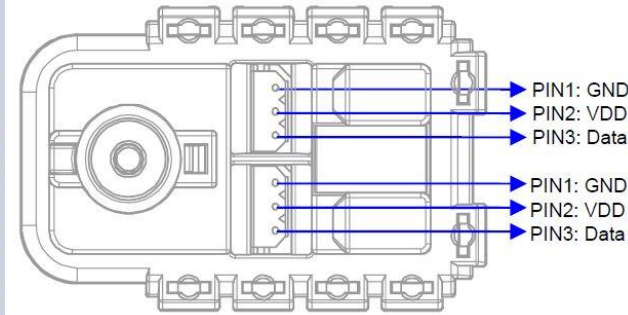
Sumber : Robotis (2006,p.9).

Kontroler utama berkomunikasi dengan unit *Dynamixel* dengan mengirim dan menerima paket data. Ada dua jenis paket; yang "*Instruction Packet*" (dikirim dari kontroler utama ke aktuator servo) dan "*Status Packet*" (dikirim dari Aktuator untuk mikrokontroler utama). Struktur paket instruksi pada pengiriman data ke aktuator servo serial dapat dilihat pada Gambar 2.11, pinout dari *servo serial dynamixel* ditunjukkan dalam Gambar 2.12.

`0xFF 0xFF | ID | LENGTH | ERROR | PARAMETER1 | PARAMETER2... | PARAMETER N | CHECK SUM`

Gambar 2.11 Paket instruksi pengiriman data pada *servo serial dynamixel*

Sumber : Robotis (2006,p.10)



Gambar 2.12 Pinout servo serial dynamixel

Sumber : Robotis (2006,p.6)

Kedua paket data pertama yaitu 0xFF menandakan awal dari paket yang akan datang. ID adalah nomor identitas yang unik dari aktuator yang berjumlah 254 ID dan memiliki range 0x00 - 0xFD. LENGTH merupakan panjang paket data dimana memiliki nilai jumlah parameter (N) + 2. INSTRUCTION merupakan instruksi yang harus dilakukan oleh aktuator. PARAMETER adalah informasi tambahan yang diberikan pada instruksi tertentu. CHECKSUM merupakan metode komputasi untuk pengecekan data. Persamaan untuk mencari nilai CHECKSUM dapat dilihat pada persamaan (2-2). Jika nilai yang terhitung lebih besar dari 255 maka bit terendah dianggap sebagai nilai CHECKSUM. Simbol “~” menandakan logika not.

$$\text{CHECKSUM} = \sim (\text{ID} + \text{LENGTH} + \text{INSTRUCTION} + \text{PARAMETER 1} + \dots \text{PARAMETER N}) \quad (2-2)$$

### **BAB III**

#### **METODE PENELITIAN**

Penyusunan skripsi ini didasarkan pada masalah yang bersifat aplikatif, yaitu perencanaan dan perealisasian alat agar dapat bekerja sesuai dengan yang direncanakan dengan mengacu pada rumusan masalah. Oleh karena itu dibutuhkan suatu metode penelitian agar perencanaan dan perealisasian alat dapat dilakukan. Langkah – langkah yang perlu dilakukan untuk merealisasikan alat yang dirancang adalah penentuan spesifikasi alat, perancangan dan perealisasian alat, dan pengujian alat.

##### **3.1 Penentuan Spesifikasi Alat**

Spesifikasi alat secara global ditetapkan terlebih dahulu sebagai acuan dalam perancangan selanjutnya. Spesifikasi alat yang direncanakan adalah sebagai berikut :

- 1) Menggunakan dua buah motor DC sebagai aktuator,
- 2) Mekanika robot keseluruhan menggunakan bahan dasar *acrylic* dengan ketebalan 3 milimeter,
- 3) Driver motor DC menggunakan IC *driver* L298N,
- 4) Jari-jari roda robot diameter 8 cm dan tebal 1.2 cm,
- 5) Menggunakan kamera Logitech C270HD,
- 6) Sumber tegangan berupa baterai *Lithium Polymer* 3S 12.6V 2200mAH,
- 7) Rangkaian catu daya 5V berupa rangkaian regulator switching LM2576 *simple switcher* untuk STM32F401RE dan mini komputer Raspberry Pi,
- 8) Berat robot kurang dari 30 kg,
- 9) Ukuran robot diameter x tinggi ialah (40 cm x 30 cm),
- 10) Lapangan menggunakan karpet berwarna hijau,
- 11) Bola yang digunakan merupakan bola kasti berwarna orange,
- 12) Menggunakan servo serial dynamixel AX-12A untuk menggerakkan sensor kamera,
- 13) Menggunakan modul *bluetooth* HC-05 untuk komunikasi *wireless* robot,
- 14) USB to TTL *converter* yang digunakan bertipe CP2120,
- 15) Mikrokontroler utama robot menggunakan modul STM32F401RE Nucleo.

### 3.2 Perancangan Dan Perealisasian Alat

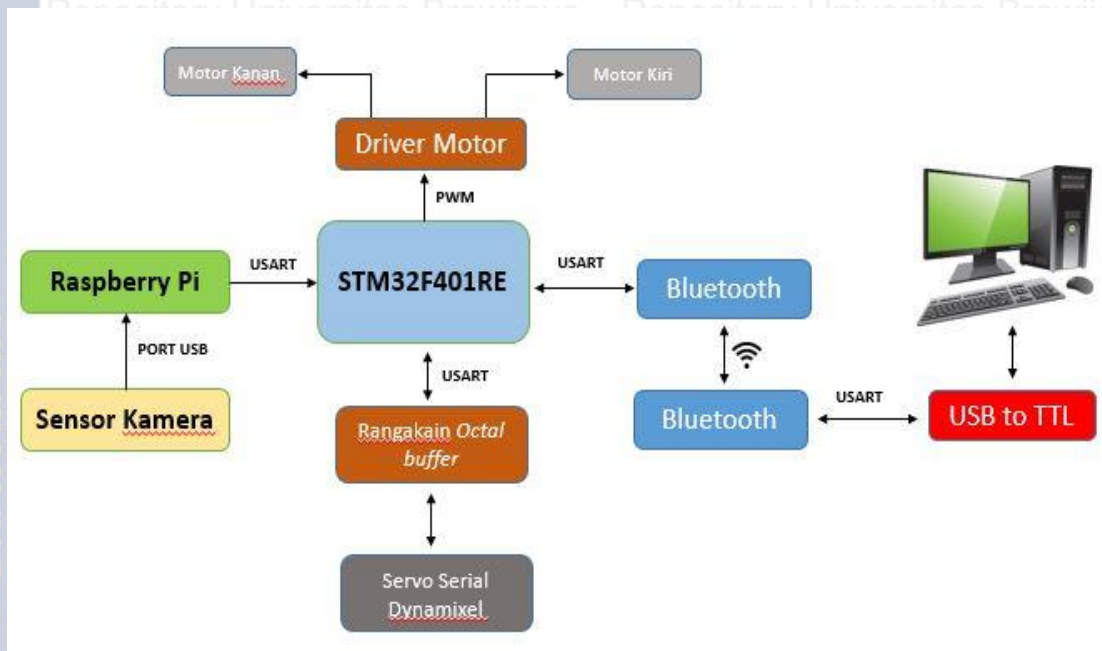
Perancangan dan pembuatan alat dalam skripsi ini dibagi menjadi dua bagian, yaitu pembuatan *hardware* dan *software*.

#### 3.2.1 Perancangan dan Pembuatan Perangkat Keras (*Hardware*)

Secara garis besar perancangan dan pembuatan perangkat keras dapat dibagi menjadi beberapa bagian yaitu perancangan diagram blok sistem keseluruhan dan perancangan mekanika robot.

##### 3.2.1.1 Perancangan Diagram Blok Sistem Keseluruhan

Diagram blok keseluruhan sistem yang dirancang ditunjukkan dalam Gambar 3.1.



Gambar 3.1 Diagram blok sistem keseluruhan

Fungsi masing-masing bagian dalam diagram blok ini adalah sebagai berikut :

1. STM32F401RE digunakan sebagai mikrokontroler utama dari sistem untuk mengolah hasil pengolahan menggunakan OpenCV dan menggerakkan aktuator,
2. Driver motor menggunakan driver L298N untuk menggerakkan motor berdasarkan PWM yang dikirim melalui mikrokontroler utama,
3. USB to TTL berfungsi sebagai konverter tegangan,
4. Raspberry Pi berfungsi sebagai mini komputer yang nantinya ditambahkan *library* OpenCV yang kemudian akan digunakan untuk memproses olahan obyek yang akan dideteksi dan mengirimkan data tersebut ke mikrokontroler utama,

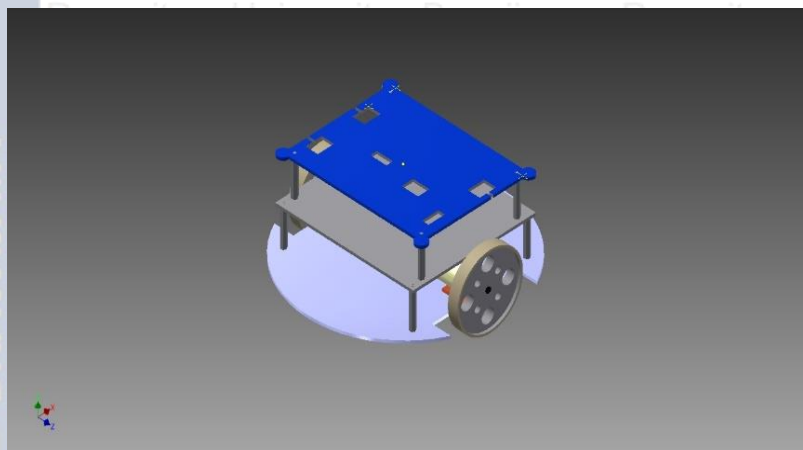
5. Motor kanan dan kiri sebagai aktuator penggerak robot,
6. Rangkaian *octal buffer* digunakan untuk menggerakkan servo serial dynamixel,
7. Servo serial dynamixel sebagai aktuator untuk menggerakkan sensor kamera,
8. Sensor kamera digunakan sebagai sensor utama untuk memperoleh gambar dari obyek yang akan didetksi secara *real time*,
9. Komputer digunakan untuk pemantauan proses pemetaan yang dilakukan oleh robot,
10. Modul *bluetooth* HC-05 berfungsi untuk menerima data serial.

Prinsip kerja sistem ini adalah awalnya robot akan mencari bola dengan melakukan gerakan berputar di lapangan. Sembari mencari bola, robot akan melakukan proses pendektsian warna yaitu warna orange dari bola. Jika menemukan bola berwarna orange melalui mini komputer yaitu Raspberry pi, robot akan memproses posisi bola yang telah dibagi dalam tiga buah keadaan yaitu tepat di depan robot, di kanan robot, dan di kiri robot. Selanjutnya jika hasil olahan dari raspberry pi telah menentukan keadaan posisi bola terhadap robot maka akan dikirim ke mikrokontroler utama. Mikrokontroler utama akan memproses untuk menggerakkan aktuator agar robot bergerak ke kanan jika bola pada posisi kanan dari robot, ke kiri jika bola pada posisi kiri dari robot, dan bergerak ke depan jika bola pada posisi tepat di depan dari posisi robot. Jika tidak menemukan bola berwarna orange robot akan terus melakukan proses pencarian dengan berputar dan penambahan variasi manuver gerakan agar pencarian tidak membuang waktu lama.

### **3.2.1.2 Perancangan Mekanika Robot**

Perancangan mekanika pada skripsi ini hanya sebagai aspek praktis yaitu membuat robot *bi-directional* yaitu robot yang terdiri dari dua buah roda dan ditambahkan roda bebas *ball caster* sebagai penyeimbang ketika robot akan bergerak. Dalam perancangan ini mekanika robot menggunakan bahan dasar berupa *acrylic* dengan ketebalan 3 milimeter.

Berdasarkan peraturan perlomba Kontes Robot Sepak Bola Indonesia (KRSBI) tahun 2016, batasan dimensi robot adalah  $40 \times 30$  dengan urutan lebar dan tinggi. Dengan adanya peraturan tersebut, maka dimensi robot harus dirancang tidak melebihi batas dimensi yang telah ditetapkan. Gambar perspektif dari robot secara keseluruhan ditunjukkan dalam Gambar 3.2.



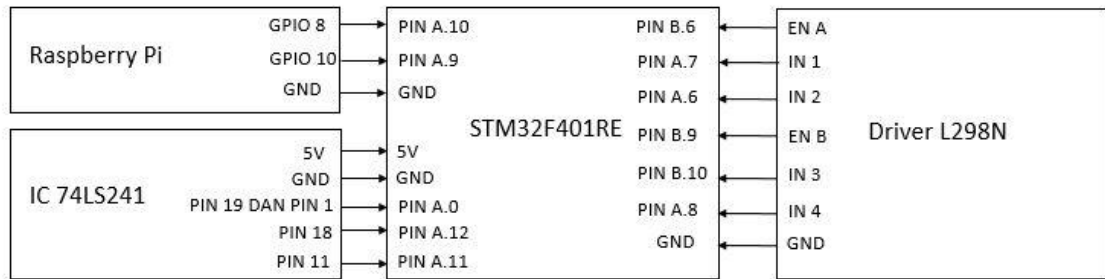
Gambar 3.2 Perspektif robot secara keseluruhan

### 3.2.1.3 Perancangan Rangkaian Antarmuka Mikrokontroler Utama

Pada perancangan perangkat keras robot ini menggunakan modul mikrokontroller ARM sebagai pengolah utama untuk pemrosesan algoritma dan data sensor kamera dari raspberry pi. Mikrokontroller mempunyai 5 port dan 50 GPIO dapat diprogram menjadi masukan atau keluaran. Pada perancangan ini pin-pin yang digunakan adalah :

- |          |   |
|----------|---|
| PIN A.10 | = dihubungkan dengan pin TX GPIO nomor 8 pada raspberry pi          |
| PIN A.9  | = dihubungkan dengan pin RX GPIO nomor 10 pada raspberry pi         |
| PIN B.6  | = dihubungkan dengan masukan PWM <i>driver</i> pada <i>ENABLE A</i> |
| PIN B.9  | = dihubungkan dengan masukan PWM <i>driver</i> pada <i>ENABLE B</i> |
| PIN A.7  | = dihubungkan dengan pin INPUT 1 pada rangkaian <i>driver</i>       |
| PIN A.6  | = dihubungkan dengan pin INPUT 2 pada rangkaian <i>driver</i>       |
| PIN B.10 | = dihubungkan dengan pin INPUT 3 pada rangkaian <i>driver</i>       |
| PIN A.8  | = dihubungkan dengan pin INPUT 4 pada rangkaian <i>driver</i>       |
| PIN A.0  | = dihubungkan dengan pin IC 74LS241N nomor 1 dan 19                 |
| PIN A.12 | = dihubungkan dengan pin IC 74LS241N nomor 18                       |
| PIN A.11 | = dihubungkan dengan pin IC 74LS241N nomor 11                       |

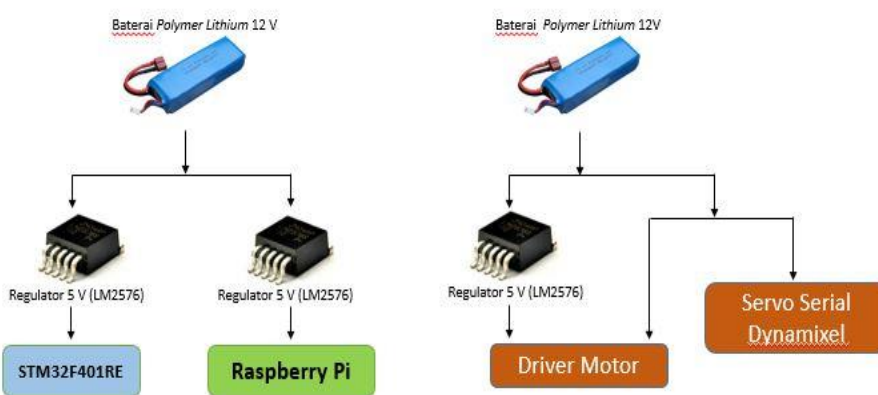
Mikrokontroler ARM merupakan kontroler utama yang nantinya akan memproses data dari sensor kamera yang data nya dikirim melalui raspberry pi. Mikrokontroler ARM juga berfungsi sebagai kontroler utama untuk mengatur pergerakan aktuator. Adapun diagram blok antarmuka mikrokontroler utama secara keseluruhan ditunjukkan dalam Gambar 3.3



Gambar 3.3 Diagram blok antarmuka mikrokontroler utama secara keseluruhan

### 3.2.1.4 Perancangan Catu Daya

Catu daya pada keseluruhan sistem dibagi menjadi dua, yaitu 5 V dan 12 V. Sumber catu daya yang dipakai adalah dua buah baterai lipo (*lithium polimer*) 12 V. Catu daya 5 V diperoleh dari rangkaian regulator simple switcher LM2576. Diagram blok catu daya pada sistem keseluruhan robot ditunjukkan dalam Gambar 3.4.

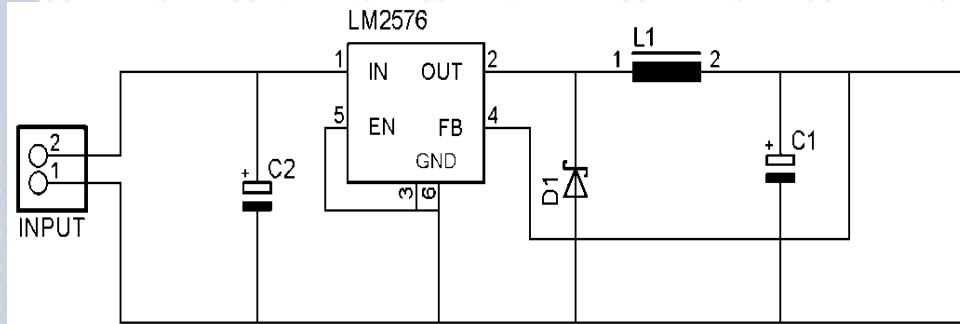


Gambar 3.4 Diagram blok catu daya dari sistem keseluruhan

Penggunaan dua buah baterai pada alat ini bertujuan agar robot yang dirancang layaknya robot yang akan berlomba, dengan menggunakan baterai khusus untuk aktuator serta baterai khusus untuk mikrokontroler dan mini komputer.

### 3.2.1.5 Perancangan Catu Daya 5 V

Alat ini membutuhkan catu daya 5V untuk mencatut mikrokontroler dan raspberry pi. Sedangkan sumber catu daya utama berupa baterai li-po 11.3 V, sehingga dibutuhkan suatu rangkaian untuk menurunkan tegangan menjadi 5V. Pada perancangan ini digunakan sebuah IC regulator *simple switcher* LM2576 dengan spesifikasi keluaran tegangan 5V dan arus maksimal 3A. Rangkaian regulator tegangan LM2576 ditunjukkan dalam Gambar 3.5.



Gambar 3.5 Rangkaian regulator tegangan LM2576

Rangkaian regulator tegangan dengan IC LM2576 membutuhkan komponen tambahan berupa kapasitor, induktor, dan dioda. Dioda D<sub>1</sub> adalah dioda tipe 1N5822 yang merupakan dioda *schottky*. Kapasitor C<sub>1</sub> bernilai 1000  $\mu$ F sedangkan kapasitor C<sub>2</sub> bernilai 100  $\mu$ F. Sedangkan Induktor L<sub>1</sub> memiliki nilai 100  $\mu$ H. Rangkaian dan spesifikasi komponen didapatkan dari datasheet LM2576.

Regulator memiliki keluaran berupa sinyal kotak yang memiliki *duty cycle* atau  $t_{on}$  dan  $t_{off}$  yang dikontrol langsung berdasarkan besar tegangan umpan balik dari output. Kapasitor C<sub>2</sub> berfungsi untuk mengurangi *ripple* pada tegangan input. Dioda yang digunakan adalah dioda *schottky* karena memiliki respon yang sangat tinggi dibandingkan dioda biasa. Induktor digunakan untuk meningkatkan efisiensi rangkaian. Kapasitor C<sub>1</sub> digunakan untuk mengubah sinyal keluaran menjadi linear.

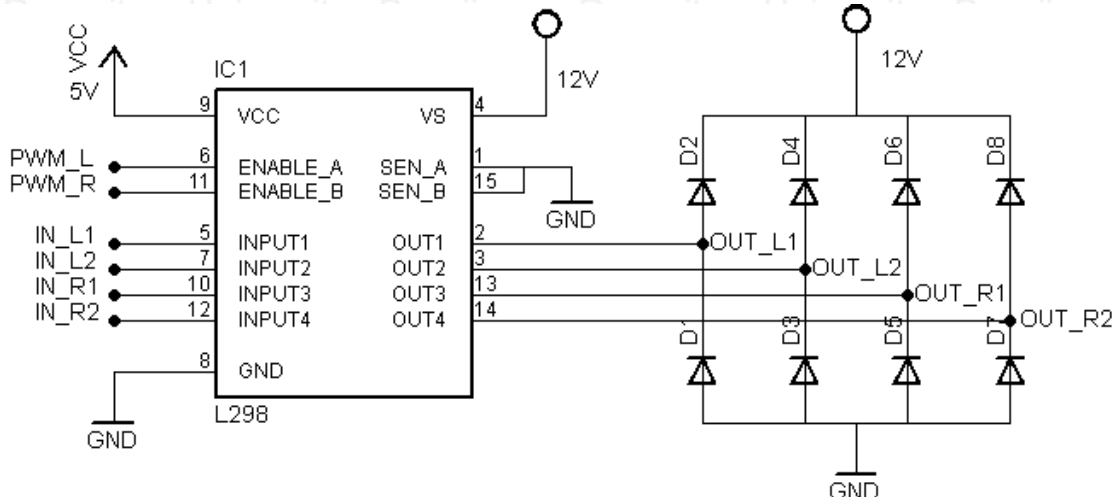
### 3.2.1.6 Perancangan Rangkaian Driver L298N

Untuk mengendalikan arah dan mengatur kecepatan motor DC, digunakan IC L298N. IC L298N adalah *driver* motor yang berbasis H-Bridge dengan memiliki dua buah kanal /channel, oleh sebab itu satu buah rangkaian *driver* L298N mampu mengendalikan dua buah motor DC sekaligus. IC L298N mampu menangani beban setiap kanalnya hingga 2 A. Spesifikasi IC L298N meliputi:

- IO max = 2 A
- Vs = 2,5 – 46 V (*Power Supply*)
- Vss = 4,5 – 7 V (*Logic Supply Voltage*)
- Ven = -0,3 – 7 V (*Input and Enable Voltage*)

*Driver* dilengkapi dengan 1 indikator LED. Indikator LED berfungsi sebagai penanda adanya sumber tegangan 5 V dari catu daya yang merupakan masukkan pin VCC dari *driver*.

Adapun skema rangkaian *driver* motor L298N ditunjukkan dengan Gambar 3.6.



*Gambar 3.6 Rangkaian driver motor L298N*

Pada perancangan ini masing-masing pin yang digunakan adalah:

**INPUT1** = dihubungkan dengan keluaran logika arah motor kiri PIN A.7 pada rangkaian mikrokontroler utama (*Master*)

**INPUT2** = dihubungkan dengan keluaran logika arah motor kiri PIN A.6 pada rangkaian mikrokontroler utama (*Master*)

**INPUT3** = dihubungkan dengan keluaran logika arah motor kanan PIN B.10 pada rangkaian mikrokontroler utama (*Master*)

**INPUT4** = dihubungkan dengan keluaran logika arah motor kanan PIN A.8 pada mikrokontroler (Motor).

**ENABLE\_A** = dihubungkan dengan keluaran sinyal PWM motor kanan PIN B.6 pada

**ENABLE\_B** = dihubungkan dengan keluaran sinyal PWM motor kiri PIN B.9 pada

**OUT1, OUT2** = dihubungkan dengan masukan motor kiri

OUT3, OUT4 = dihubungkan dengan masukan motor kanan

PIN VS = dihubungkan dengan sumber 12V

PIN VCC = dihubungkan dengan sumber 5V

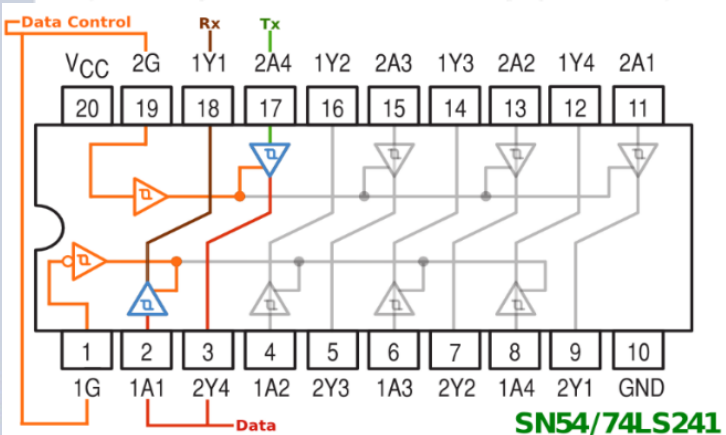
PIN GND = dihubungkan dengan *ground*

### **3.2.1.7 Perancangan Rangkaian Octal Buffer 74LS241N**

Untuk menggerakkan sensor kamera digunakan aktuator berupa *servo serial dynamixel*.

Masalah pada *servo serial dynamixel* adalah komunikasi antara mikrokontroler utama dengan

*servo serial dynamixel*. Mikrokontroler utama menggunakan komunikasi berbasis *full duplex* atau dengan dua jalur data satu mengirim, dan satu menerima, sedangkan dynamixel membutuhkan komunikasi serial berbasis *half duplex*, satu jalur untuk berkomunikasi. Oleh sebab itu dibutuhkan sebuah *interface* lain untuk menghubungkan mikrokontroler utama dan dynamixel atau dengan kata lain *full duplex* ke *half duplex* menggunakan IC 74LS241N. IC 74LS241N adalah sebuah gerbang yang memilah-milah apakah data yang dialamatkan sebagai data *transfer* atau data *receiver*. Skema rangkaian *octal buffer* 74LS241N ditunjukkan dalam Gambar 3.7.



**SN54/74LS241**

Gambar 3.7 Rangkaian *octal buffer* 74LS241

### 3.2.1.8 Perancangan *Board* Utama

Untuk mengoptimalkan dimensi yang telah diatur pada alat ini, maka dirancang *board* utama. *Board* utama merupakan bagian dari mekanika robot yang menggabungkan seluruh skema rangkaian elektrik yang akan digunakan. Rangkaian board utama terdiri dari beberapa *pinhead*, rangkaian LED indikator untuk *driver* L298N dan rangkaian *octal buffer*.

### 3.2.2 Perancangan dan Pembuatan Perangkat Lunak (*Software*)

#### 3.2.2.1 Perancangan *Overview* Algoritma Deteksi Warna HSV dengan ROI

Untuk deteksi warna menggunakan HSV dengan ROI diperlukan beberapa proses sampai obyek bola yang dideteksi dapat diterima posisinya dalam koordinat *pixel* kamera. Tahap-tahap proses tersebut akan menjadi acuan untuk membuat program deteksi warna HSV. Adapun *overview* algoritma metode deteksi warna HSV ditunjukkan dalam Gambar 3.8.



Gambar 3.8 Overview algoritma deteksi warna HSV

Pada awalnya dilakukan inisialisasi variabel – variabel untuk fungsi UART, ROI, dan *Mouse Event*. Kemudian dibuat fungsi *mouse event* menggambar kotak dua dimensi untuk memperoleh ROI dengan mendrag *mouse*. Selanjutnya dibuat fungsi simpan nilai HSV dari hasil ROI untuk menampung nilai HSV dari area kotak yang diseleksi. Gambar asli akan diterima di port “0” yang merupakan nomor port kamera *webcam* pada Raspberry pi dengan lingkup warna dasar berupa RGB. Lebar × tinggi *frame* gambar diatur sebesar 640 x 480. Gambar sementara



akan di *capture*, hasil *capture* OpenCV pada umumnya bernilai 8 bit *unsigned integer* dengan *range* nilai 0 – 255. Kemudian fungsi *mouse event* diaktifkan untuk melakukan proses *dragging mouse* diawal. Setelah itu dibuat gambar hitam dengan ukuran *frame pixel*  $640 \times 480$ , hal ini dilakukan untuk menampilkan *window threshold* dari obyek yang di deteksi dengan konsep binerisasi dimana warna hitam merupakan *background* dan putih sebagai *foreground* yaitu obyek yang dideteksi. Kemudian dilakukan konversi dari RGB menjadi HSV. Untuk melakukan proses konversi RGB menjadi HSV awalnya 8 bit nilai dari R, G, dan B dikonversi kedalam format *floating point* dan menyesuaikan skala *range* 0 ke 1 kemudian dilakukan konversi secara berurutan meliputi persamaan (3-1) sampai persamaan (3-3) berikut:

Perhitungan Value :

$$V = \max(R, G, B)$$

Perhitungan Saturation

$$S = \begin{cases} \frac{V - \min(R, G, B)}{V} & \text{Jika } V \neq 0 \\ 0 & \text{jika } V = 0 \end{cases} \quad (3-2)$$

Perhitungan *Hue* :

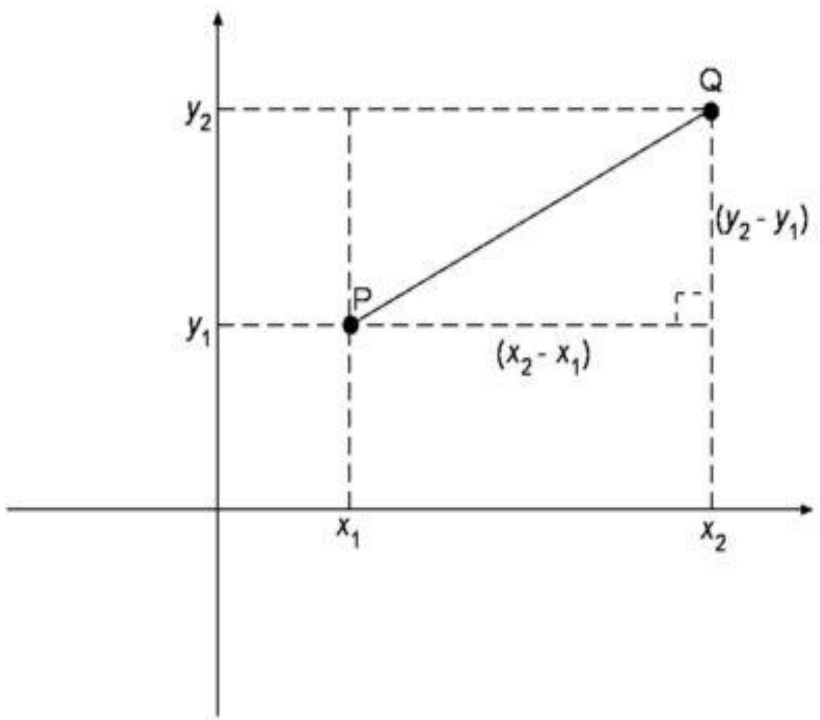
$$H = \begin{cases} \frac{60(G - B)}{V - \min(R, G, B)} & \text{Jika } V = R \\ \frac{120 + 60(B - R)}{V - \min(R, G, B)} & \text{Jika } V = G \\ \frac{240 + 60(R - G)}{V - \min(R, G, B)} & \text{Jika } V = B \end{cases} \quad (3-3)$$

Setelah proses konversi RGB ke HSV selesai dilakukan, diambil nilai HSV hasil ROI dengan mengaktifkan fungsi simpan nilai HSV yang telah dibuat sebelumnya. Setelah itu dilakukan proses morphologi erode dan dilasi, proses ini bertujuan agar obyek yang di deteksi yaitu *foreground* terhilang dari titik-titik kecil akibat dari pencampuran warna HSV lalu hasil warna HSV seleksi ROI ditampilkan pada *window threshold*. Hasil deteksi kemudian diterjemahkan kedalam koordinat X dan Y berdasarkan lebar dan tinggi *frame pixel* yang telah diatur sebelumnya.

### 3.2.2 Menggambar Kotak Dengan Menggunakan fungsi *mouse event* untuk Memperoleh ROI

#### ROI

Untuk memperoleh *region of interest* secara cepat digunakan fungsi *mouse event*. *Mouse event* berfungsi untuk menggambar kotak pada kulit bola atau pada bagian berwarna orange. Dengan menggunakan *mouse* maka area diseleksi awalnya akan didefinisikan dalam bentuk koordinat *X* dan *Y*. Untuk menggambar kotak yang pertama harus diketahui ialah garis antara dua titik koordinat dalam dua dimensi sesuai dengan Gambar 3.9. Dengan menggunakan teorema Phytagoras maka dapat diperoleh persamaan (3-4).



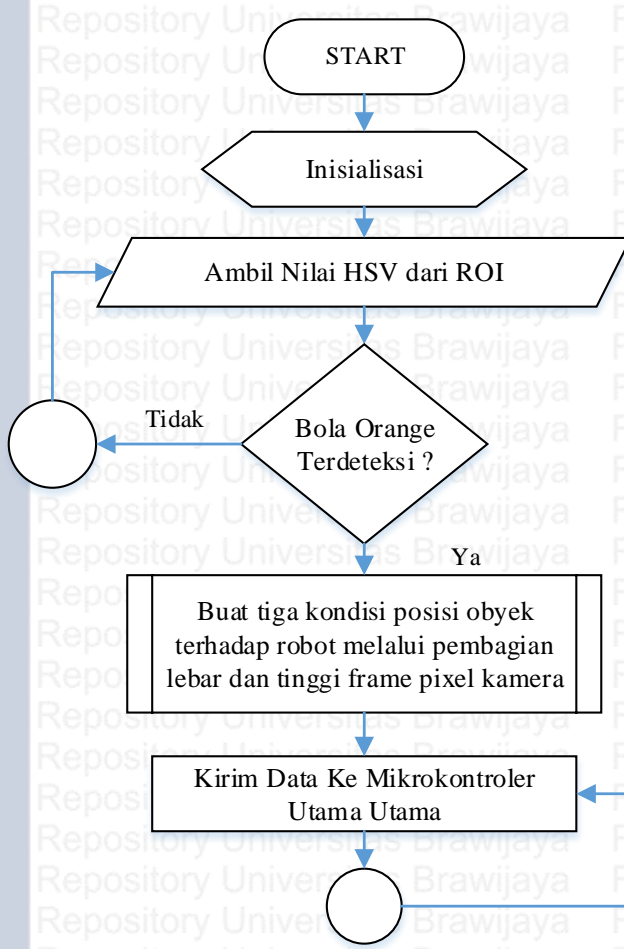
Gambar 3.9 Jarak antara kedua titik P dan Q dalam ruang dua dimensi

$$PQ = \sqrt{(X_2 - X_1)^2 + (Y_2 - Y_1)^2} \quad (3-4)$$

Berdasarkan persamaan (3-4) garis diagonal dari titik P dan Q dapat diperoleh berdasarkan koordinat  $X_1, Y_1$  dan  $X_2, Y_2$ . Dengan menggunakan fungsi *mouse event* koordinat  $X_1, Y_1$  dan  $X_2, Y_2$  dapat diperoleh ketika mouse di drag pada *frame* gambar. Selanjutnya garis – garis untuk membentuk kotak berdasarkan garis diagonal diperoleh dengan pengurangan titik – titik koordinat maksimum dan minimum dari masing - masing koordinat *X* dan *Y* yang telah diketahui dan diproses kedalam fungsi menggambar kotak (*rectangle*) pada OpenCV.

### 3.2.2.3 Perancangan Diagram Alir Proses Pengiriman Data Hasil Deteksi warna HSV dengan ROI

Setelah obyek bola dapat dideteksi dengan menggunakan detksi warna HSV dengan ROI selanjutnya dirancang diagram alir pengiriman data nya ke mikrokontroler utama. Diagram alir proses pengiriman data hasil deteksi warna HSV dengan ROI pada raspberry pi ditunjukkan dalam Gambar 3.10.



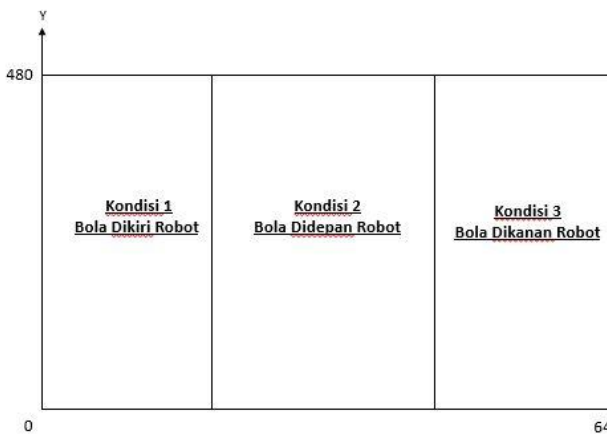
Gambar 3.10 Diagram alir pengiriman data hasil deteksi warna HSV pada raspberry pi

Ketika program deteksi warna HSV dijalankan maka nilai parameter HSV akan diatur pada kondisi awal yaitu  $H_{min} = 0$ ,  $H_{max} = 179$ ,  $S_{min} = 0$ ,  $S_{max} = 255$ ,  $V_{min} = 0$ , dan  $V_{max} = 255$ . Dengan kondisi awal tersebut artinya belum ada pencampuran nilai HSV untuk seleksi warna tertentu. Selanjutnya nilai-nilai parameter tersebut akan diambil dari hasil ROI yang dilakukan dengan menggunakan fungsi *mouse event* untuk mendrag kotak pada kulit bola. Deteksi bola orange ditentukan oleh persamaan (3-5) berikut :

$$P_{(x,y)} \begin{cases} Bola, & H_{min} < H_{(x,y)} < H_{max} \text{ dan} \\ & S_{min} < S_{(x,y)} < S_{max} \text{ dan} \\ & V_{min} < V_{(x,y)} < V_{max} \\ \text{Bukan bola , kondisi lainnya} & \end{cases} \quad (3-5)$$

$P_{(x,y)}$  adalah *pixel* dikoordinat  $(x,y)$ , jika bola dideteksi dalam *pixel* tersebut maka,  $H_{min}$  dan  $H_{max}$  berturut-turut adalah nilai inisialisasi (Hasil H ROI) minimal dan maksimal, kemudian  $S_{min}$  dan  $S_{max}$  berturut-turut adalah nilai inisialisasi (Hasil S ROI) minimal dan maksimal, lalu  $V_{min}$  dan  $V_{max}$  berturut-turut adalah nilai inisialisasi (Hasil V ROI) minimal dan maksimal. Jika bola orange sudah terdeteksi maka selanjutnya posisi bola terhadap robot akan diatur berdasarkan pembagian lebar dan tinggi *pixel* kamera.

Untuk mengetahui posisi bola terhadap robot diperlukan penentuan kondisi posisi bola. Penentuan kondisi posisi bola dilakukan dengan membagi lebar dan tinggi *frame pixel* kamera, lebar dan tinggi *frame pixel* kamera telah diatur sebelumnya yaitu lebar  $\times$  tinggi yaitu  $640 \times 480$ . Adapun letak obyek terhadap robot melalui pembagian lebar dan tinggi *frame pixel* kamera ditunjukkan dalam Gambar 3.11.

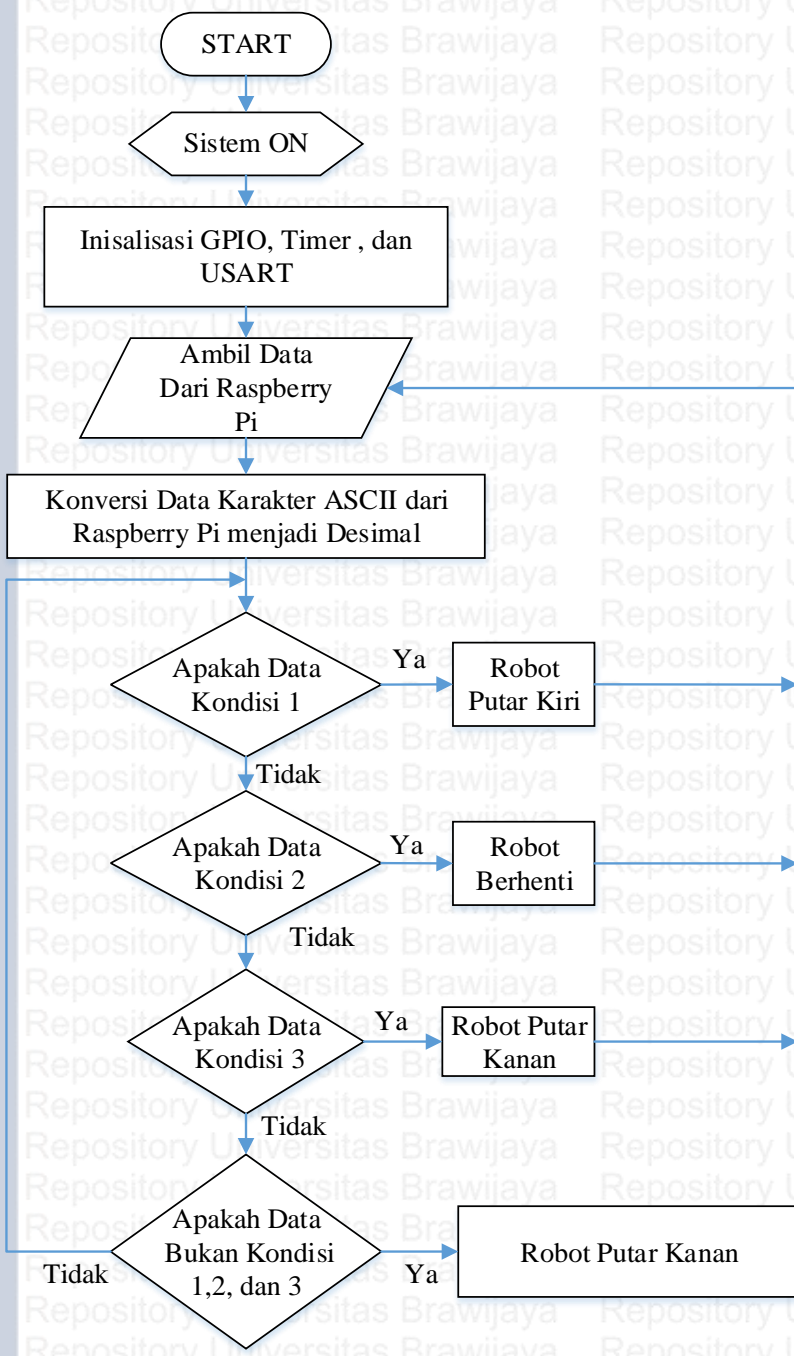


Gambar 3.11 Koordinat bola melalui pembagian lebar dan tinggi *frame pixel* kamera

Untuk pembagian lebar dan tinggi *frame pixel* di notasikan sebagai koordinat x dan y. Pembagian koordinat x dan y dilakukan pada Raspberry Pi yang telah diinstal *library* OpenCV. Setelah dilakukan pembagian koordinat x dan y maka masing – masing kondisi tersebut akan diwakilkan oleh karakter ASCII misalkan kondisi 1 yaitu bola di kiri robot diwakilkan sebagai karakter ASCII “A”. Selanjutnya data berupa karakter ASCII tersebut dikirimkan ke mikrokontroler utama melalui Raspberry Pi 2 menggunakan komunikasi serial.

### 3.2.2.4 Diagram Alir Perancangan Pada Mikrokontroler Utama

Mikrokontroler utama merupakan pusat pengolah data dan proses utama algoritma pergerakan atau bernavigasi. Adapun diagram alir perancangan pada mikrokontroler utama ditunjukkan dalam Gambar 3.12.



Gambar 3.12 Diagram alir perancangan pada mikrokontroler utama

Tahap pertama saat program dijalankan adalah inisialisasi seluruh variabel dan *peripheral* yang digunakan pada mikrokontroler. Selanjutnya mikrokontroler utama akan menerima data

yang dikirim dari Raspberry pi melalui komunikasi UART. Ketika mikrokontroler utama menerima data yang dikirim dari raspberry pi. dilakukan proses konversi data dari karakter ASCII menjadi desimal. Hasil konversi kemudian dibaca kedalam empat keadaan berbeda yaitu kondisi 1, kondisi 2, kondisi 3, dan bukan kondisi 1 , 2, dan 3. Masing-masing keadaan yang terbaca sebagai acuan navigasi robot yaitu, kondisi 1 maka robot putar kiri, kondisi 2 maka robot akan berhenti, kondisi 3 maka robot putar kanan, dan bukan kondisi 1, 2, dan 3 maka robot akan melakukan manuver mencari bola secara acak/*random* dengan cara melakukan gerakan putar kanan searah jarum jam.

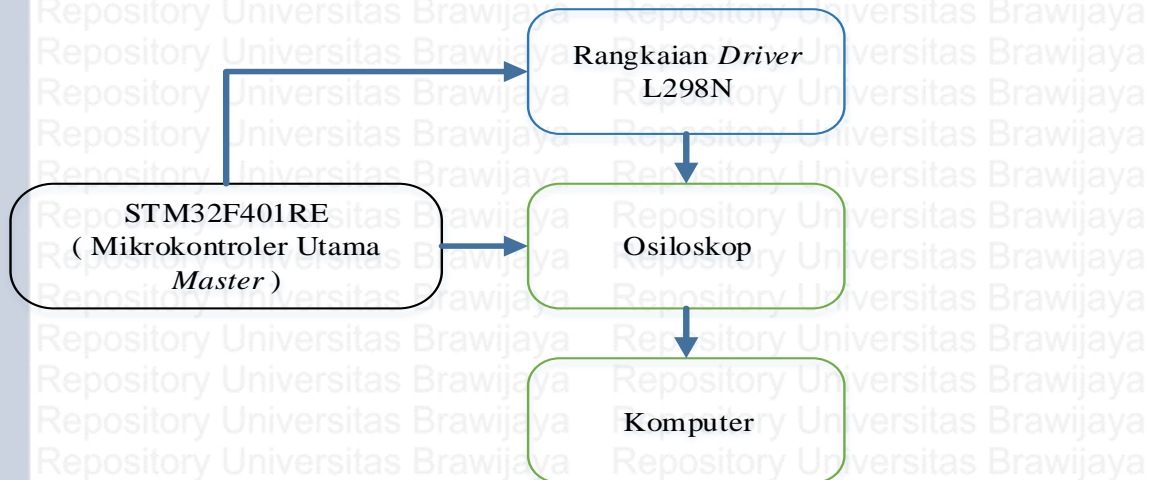
### **3.3 Pengujian Alat**

Untuk menganalisis kinerja alat maka perlu dilakukan pengujian sistem agar diketahui apakah sesuai dengan yang direncanakan. Pengujian dilakukan setiap bagian blok diagram untuk mengetahui hasil perancangan. Pengujian yang dilakukan meliputi :

#### **3.3.1 Pengujian Rangkain *Driver Motor L298N***

Pengujian ini dilakukan untuk mengetahui kinerja dan respon dari rangkaian *driver* motor L298N dengan membandingkan sinyal *duty cycle* pada rangkaian *driver* terhadap sinyal keluaran *duty cycle* PWM dari mikrokontroler. Alat yang digunakan untuk pengujian ini yaitu STM32F401RE (mikrokontroler utama sebagai *master*), catu daya 5V dan 12V, rangkaian *driver* L298N, osiloskop digital, dan komputer.

Prosedur pengujian dilakukan dengan menghubungkan rangkaian *driver* motor L298N, mikrokontroler utama dan osiloskop sesuai dengan skema pengujian pada Gambar 3.13. Dengan memberikan sinyal masukan *duty cycle* PWM dari range 0% sampai 100% pada pin masukan *driver* dengan kenaikan 10%. Maka dengan menggunakan osiloskop digital Velleman PCLAB PCSU1000 dan perangkat komputer sinyal persegi keluaran dari mikrokontroler dan *driver* L298 dapat diamati. Pengujian ini dilakukan dengan membandingkan nilai *duty cycle* masukan dari mikrokontroler dengan *duty cycle* yang dikeluarkan oleh rangkaian *driver* L298N.



Gambar 3.13 Skema pengujian *duty cycle* rangkaian *driver* L298N terhadap sinyal masukan PWM

### 3.3.1.2 Pengujian Arah Gerak Motor

Pengujian ini dilakukan untuk mengetahui gerak motor apakah telah sesuai dengan masukan arah *driver* L298N terhadap pin keluaran digital dari mikrokontroler. Alat yang digunakan untuk pengujian ini yaitu STM32F401RE (mikrokontroler utama sebagai *master*), catu daya 5V dan 12V, rangkaian *driver* L298N, dan dua buah motor DC.

Prosedur pengujian dilakukan dengan menghubungkan *driver* motor L298N, mikrokontroler utama dan motor DC sesuai dengan skema pengujian pada Gambar 3.14. Mikrokontroler akan memberikan instruksi arah dan kecepatan pada rangkaian *driver* L298N. Dengan memberikan sinyal pin logika arah motor 0 atau 1 ke rangkaian *driver* L298N maka gerak motor dapat diamati.



Gambar 3.14 Skema pengujian arah gerak motor

### 3.3.2 Pengujian Servo Serial Dynamixel

#### 3.3.2.1 Pengujian Sudut Servo Serial Dynamixel

Pengujian ini dilakukan untuk mengamati apakah *servo serial dynamixel* dapat bergerak dengan perhitungan berdasarkan besar data serial dan dibuktikan dengan busur derajat. Data serial dikirim oleh mikrokontroler utama dengan menggunakan komunikasi UART data serial kemudian ditampilkan pada komputer. Alat yang digunakan untuk pengujian ini yaitu

STM32F401RE (mikrokontroler utama sebagai *master*), rangkaian *octal buffer*, catu daya 5V dan 12V, busur 360°, dan komputer.

Prosedur pengujian dilakukan dengan mengirimkan data serial ke *servo dynamixel* dari 0 – 1023 dengan kenaikan 100. Karena *servo serial dynamixel* memiliki range sudut 0° - 300° maka besar perubahan sudut dapat dihitung dengan persamaan berikut :

$$\text{Sudut Perhitungan } (\circ) = \frac{\text{Nilai Data Serial (0-1023)}}{1023} \times 300^\circ \quad (3-6)$$

Skema pengujian sudut servo serial dynamixel ditunjukkan dalam Gambar 3.15.



Gambar 3.15 Skema pengujian sudut servo serial dynamixel

### 3.3.3 Pengujian Sensor Kamera Dengan Hasil Olahan OpenCV

#### 3.3.3.1 Pengujian Jumlah *Frame* Yang Dapat Diproses Dalam Satu Detik

Pengujian ini dilakukan untuk mengetahui nilai rata-rata jumlah *frame* yang mampu diproses dalam satu detik dari sensor kamera pada Raspberry pi. Alat yang digunakan untuk pengujian ini yaitu raspberry pi, catu daya 5V dan kamera. *Frame per second* (fps) merupakan satuan untuk menyatakan Jumlah bingkai gambar atau *frame* yang ditunjukkan setiap detik dalam membuat gambar bergerak. Dalam OpenCV banyak *frame* yang mampu di proses dalam satu detik dapat diketahui menggunakan persamaan berikut :

$$fps = \frac{\text{Jumlah frame yang di proses}}{\text{waktu yang dibutuhkan (detik)}} \quad (3-7)$$

Pengujian dilakukan dengan menaikkan jumlah *frame* yang diproses dari 20 *frame* sampai 120 *frame* dengan kenaikan bertahap sebesar 20 *frame*. Setelah itu menghitung rata – rata banyak *frame* yang diproses dalam satu detik dari masing – masing jumlah *frame* yang telah ditentukan. Skema pengujian jumlah *frame* yang di proses dalam satu detik ditunjukkan dalam Gambar 3.16.



Gambar 3.16 Skema pengujian jumlah *frame* dalam satu detik

### 3.3.3.2 Pengujian Tampilan Window Proses Deteksi

Pengujian ini dilakukan untuk mengetahui apakah program deteksi yang telah dibuat telah sesuai dengan perancangan algoritma yang telah dibuat dan dapat bekerja dengan baik. Alat yang digunakan untuk pengujian ini yaitu raspberry pi, kamera, bola orange, catu daya 5V dan lapangan karpet berwarna hijau.

Prosedur pengujian dilakukan secara *real time* dengan menjalankan program pada raspberry pi dan mengikuti alur proses untuk memperoleh nilai HSV bola. Selanjutnya mengamati tampilan *window – window* dari proses deteksi sebagai acuan apakah proses deteksi telah sesuai dengan perancangan algoritma yang dibuat. Skema pengujian tampilan *window* proses deteksi ditunjukkan dalam Gambar 3.17.



Gambar 3.17 Skema pengujian tampilan *window* proses deteksi

### 3.3.3.3 Pengujian Nilai HSV Berdasarkan Deteksi Warna HSV Dengan ROI

Pengujian ini dilakukan untuk mengetahui nilai rata-rata *Hue* (H), *Saturation* (S), dan *Value* (V) dari bola berwarna orange pada lapangan karpet berwarna hijau dengan deteksi warna HSV dengan penambahan fungsi ROI. Alat yang digunakan untuk pengujian ini yaitu raspberry pi, kamera, bola orange, catu daya 5V dan lapangan karpet berwarna orange.

Prosedur pengujian dilakukan secara *real time* dengan mengambil nilai HSV dari ROI pada program sampai warna yang diinginkan bisa terdeteksi. Jarak bola dengan kamera di atur sebesar 30 cm kemudian dengan menggunakan fungsi *mouse event* kulit bola yang berwarna orange diseleksi dengan bentuk kotak untuk memperoleh nilai HSV berdasarkan fungsi ROI. Nilai HSV pada program memiliki lebar data sebesar 8 bit dengan *range*, yaitu *Hue* (0-255), *Saturation* (0-255), dan *Value* (0-255). Data hasil pengujian merupakan *range* data tertinggi dan terendah dari 10 kali pengujian yang dilakukan menggunakan kamera dan raspberry pi. Data yang diambil merupakan *range* nilai digital yang diambil pada 10 titik yang berbeda. Skema pengujian nilai HSV berdasarkan deteksi warna HSV dengan ROI ditunjukkan dalam Gambar 3.18.

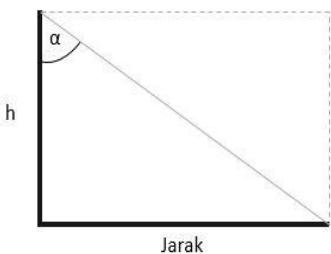


Gambar 3.18 Skema pengujian nilai HSV berdasarkan deteksi warna HSV dengan ROI

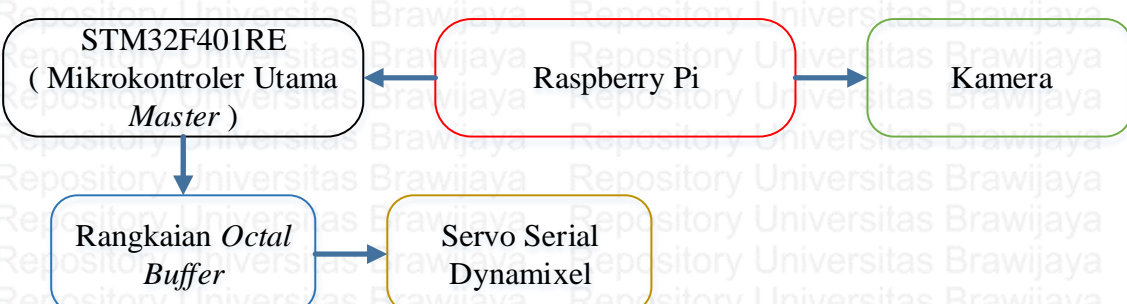
### 3.3.3.4 Pengujian Jarak Maksimal Bola Terdeteksi

Pengujian ini dilakukan untuk mengetahui jarak maksimum bola mampu di deteksi menggunakan program deteksi warna HSV dengan ROI. Alat yang digunakan untuk pengujian ini yaitu mekanika robot secara robot keseluruhan, raspberry pi, rangkaian *octal buffer*, *servo serial dynamixel*, catu daya 5V dan kamera.

Prosedur pengujian dilakukan dengan menempatkan sensor kamera di mekanika robot keseluruhan pada bagian kepala, kemudian menjalankan program deteksi warna HSV dengan ROI. Range nilai HSV yang digunakan merupakan rata-rata hasil pengujian nilai HSV sebelumnya. Perhitungan jarak menggunakan trigonometri pada persamaan (3-8) ilustrasi sistem trigonometri ditunjukkan dalam Gambar 3.19. Besar perubahan sudut pada sendi kepala dan tinggi pada kamera pada kepala robot dari permukaan tanah digunakan untuk menentukan jarak bola dari robot. Adapun skema pengujian jarak bola terdeteksi ditunjukkan dalam Gambar 3.20.



Gambar 3.19 Ilustrasi sistem trigonometri



Gambar 3.20 Skema pengujian jarak bola terdeteksi

$$Jarak = \frac{h}{\tan(90 - \alpha)} \quad (3-8)$$

Berdasarkan persamaan (3-7) diperoleh nilai  $h$  merupakan tinggi robot yang diukur menggunakan penggaris melalui permukaan datar. Sudut  $\alpha$  merupakan sudut yang terukur pada nilai data serial servo dynamixel, sebagai kepala robot tempat sensor kamera dilekatkan. Jarak horizontal diukur dari titik tengah posisi kamera hingga titik tengah benda yang dideteksi.

### 3.3.3.5 Pengujian Posisi Bola Terhadap Robot

Pengujian ini dilakukan untuk mengetahui apakah *range* pembagian lebar dan tinggi *frame pixel* x dan y ( $640 \times 480$ ) kamera untuk menerjemahkan posisi bola terhadap robot telah sesuai dengan yang dirancang. Alat yang digunakan untuk pengujian yaitu mekanika robot secara keseluruhan, raspberry pi, catu daya 5V kamera, bola, dan lapangan karpet berwarna orange.

Proses pengujian dilakukan secara *real time* dengan menjalankan program deteksi warna HSV dengan ROI di raspberry pi. Kemudian memasukkan nilai rata – rata dari parameter HSV bola hasil dari ROI dan menempatkan bola sejauh 30 cm dari robot. Setelah itu memposisikan bola terhadap robot sesuai dengan tiga keadaan kanan, depan dan kiri dari robot. Selanjutnya menampilkan hasil pembagian kedalam tiga kondisi yaitu “kanan robot”, “depan robot”, dan “kiri robot” pada terminal Raspberry pi beserta nilai terbaru dari *frame pixel* kamera. Skema pengujian posisi bola terhadap robot ditunjukkan dalam Gambar 3.21.

Raspberry Pi Dengan Program Deteksi HSV dengan ROI

Kamera

Bola

Gambar 3.21 Skema pengujian posisi bola terhadap robot

### 3.3.4 Pengujian Transmisi Data

#### 3.3.4.1 Pengujian Sinyal Komunikasi Serial UART pada Mikrokontroler

Pengujian ini dilakukan untuk mengetahui apakah sinyal komunikasi serial UART telah sesuai dengan pengiriman data yang telah diprogram. Alat yang digunakan untuk pengujian ini yaitu catu daya 5V dan 12V, Raspberry pi (*slave*), osiloskop, dan komputer.

Proses pengujian dilakukan dengan mengatur perangkat UART pada raspberry pi dengan *baudrate* 9600 bps dan melakukan pengiriman data senilai 0xAA. Kemudian pin RX dari raspberry pi disambungkan pada osiloskop digital. Osiloskop digital yang digunakan adalah osiloskop Velleman PCLAB PCSU1000. Osiloskop digital digunakan untuk membaca bentuk

sinyal UART yang dikirimkan oleh Raspberry pi dan dibutuhkan komputer untuk menampilkan hasil pembacaan osiloskop. Skema pengujian sinyal komunikasi serial UART raspberry pi ditunjukan pada Gambar 3.22.

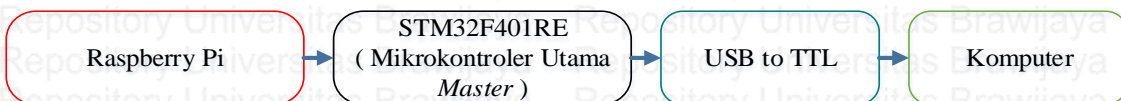


Gambar 3.22 Skema pengujian sinyal komunikasi UART Raspberry Pi

### 3.3.4.2 Pengujian Penerimaan Data Pada Mikrokontroler Utama

Pengujian ini dilakukan untuk mengetahui apakah data yang dikirim melalui raspberry pi sesuai dengan data yang diterima oleh mikrokontroler utama STM2F401RE. Alat yang digunakan untuk pengujian ini yaitu STM32F401RE (mikrokontroler utama sebagai *Master*), raspberry pi (*slave*), catu daya 5V, USB to TTL, dan komputer.

Proses pengujian dilakukan dengan mengatur perangkat UART pada raspberry pi dengan *baudrate* 9600 bps dan melakukan pengiriman data senilai 0XCC ke mikrokontroler utama STM32F401RE. Kemudian pin RX dari mikrokontroler utama disambungkan pada USB to TTL. Kemudian dengan menggunakan *aplikasi parallax serial terminal* diamati data yang telah diterima oleh mikrokontroler utama. Skema pengujian penerimaan data pada mikrokontroler utama ditunjukan pada Gambar 3.23.



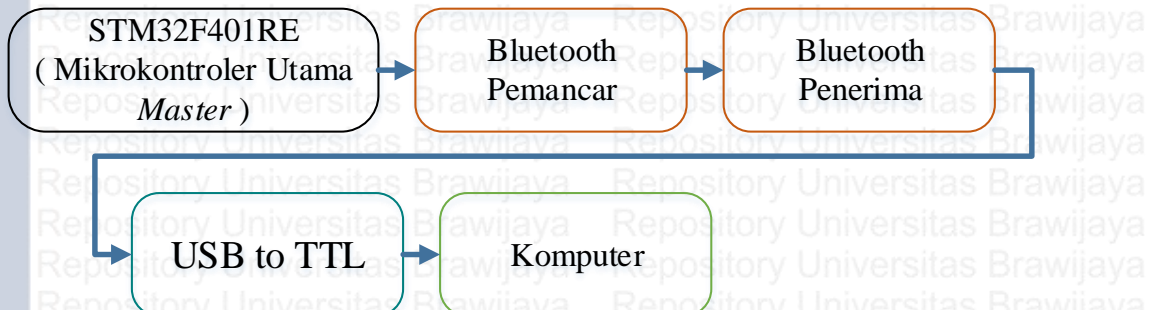
Gambar 3.23 Skema pengujian penerimaan data pada mikrokontroler utama

### 3.3.4.3 Pengujian Jarak Komunikasi Bluetooth HC-05

Pengujian ini dilakukan untuk mengetahui jarak maksimal yang dapat dijangkau oleh modul *Bluetooth* HC-05. Alat yang digunakan untuk pengujian ini yaitu STM32F401RE (mikrokontroler utama sebagai *Master*), USB to TTL, dua buah modul *bluetooth* HC-05 (*Transmitter* dan *Receiver*), catu daya 5V, dan komputer.

Prosedur pengujian dilakukan dengan mengirimkan data tulisan “Pengujian Jarak Komunikasi Bluetooth HC-05” dari perangkat mikrokontroler menggunakan modul *bluetooth* pemancar. Kemudian perangkat penerima yang berupa *bluetooth* dan USB to TTL akan menerima data yang dikirimkan oleh mikrokontroler yang dapat dilihat menggunakan parallax serial terminal pada komputer. Setelah itu jarak antara modul *bluetooth* HC-05 penerima dengan

modul *bluetooth* HC-05 pemancar yang ada pada robot diubah setiap satu meter hingga koneksi terputus. Skema pengujian jarak komunikasi *bluetooth* HC-05 dapat dilihat pada Gambar 3.24.

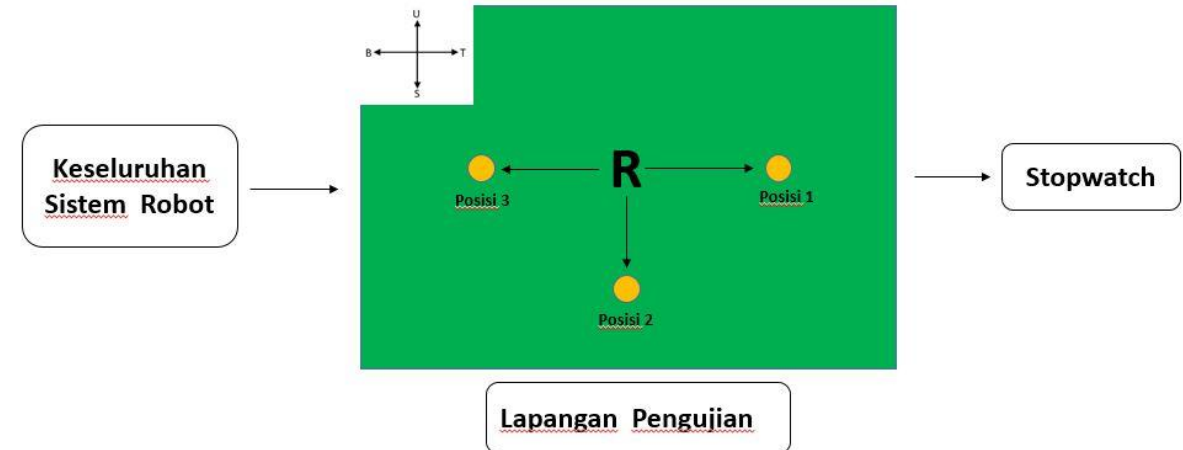


Gambar 3.24 Skema pengujian jarak komunikasi *bluetooth* HC-05

### 3.3.5 Pengujian Performa Sistem Keseluruhan

Pengujian ini dilakukan untuk mengetahui apakah setiap blok yang telah diuji dapat dirangkai menjadi satu sistem yang utuh dan dapat bekerja sesuai dengan perencanaan serta mengetahui performa robot dalam bernaligasi dengan mengikuti posisi bola. Alat yang digunakan untuk pengujian ini yaitu keseluruhan sistem robot, bola orange, lapangan karpet berwarna hijau, dan *stopwatch*. Ada beberapa parameter yang menentukan keberhasilan kerja robot. Parameter yang pertama adalah robot mampu melakukan navigasi putar kanan, putar kiri, dan jalan lurus. Parameter kedua adalah robot mampu mendeteksi bola orange dengan jarak tertentu. Parameter ketiga data yang dikirim dari raspberry pi ke mikrokontroler utama dapat selalu diamati di komputer. Parameter terakhir adalah robot mampu mengikuti pergerakan bola dengan melakukan navigasi sesuai posisi yang tepat.

Prosedur pengujian dilakukan dengan meletakan robot pada posisi awal (R) yaitu pada tengah-tengah lapangan pengujian dengan arah robot menghadap utara, lalu bola diletakan pada tiga lokasi yang telah diatur. Posisi bola diatur sesuai arah mata angin dengan robot sebagai acuan yaitu lokasi pertama bola diletakkan di arah timur, lokasi kedua bola diletakkan di arah selatan, dan lokasi ketiga bola diletakkan di arah barat. Masing – masing posisi bola diatur jaraknya terhadap robot sejauh 30 cm. Selanjutnya robot diaktifkan dan diamati lama waktu robot untuk berhenti tepat di depan bola dari posisi awal menghadap utara menuju ketiga posisi bola yang telah diatur. Adapun skema pengujian performa sistem keseluruhan ditunjukkan dalam Gambar 3.25.



Gambar 3.25 Skema pengujian performa sistem keseluruhan



## BAB IV

## HASIL DAN PEMBAHASAN

Setelah melakukan perhitungan dan perancangan langkah selanjutnya adalah pembahasan hasil pengujian yang bertujuan untuk menganalisis alat yang telah dirancang dan diimplementasikan telah bekerja sesuai dengan perancangan yang diharapkan. Pengujian dilakukan tiap-tiap blok dengan tujuan untuk mengamati apakah tiap blok sistem sudah sesuai dengan perancangan, kemudian dilanjutkan dengan pengujian secara keseluruhan sistem.

Adapun pengujian yang perlu dilakukan sebagai berikut:

1. Pengujian Rangkaian *Driver Motor L298N*
    - a) Pengujian *Duty Cycle* Rangkaian Mikrokontroler Dan *Driver L298N*
    - b) Pengujian Arah Gerak Motor
  2. Pengujian *Servo Serial Dynamixel*
    - a) Pengujian Sudut *Servo Serial Dynamixel*
  3. Pengujian Sensor Kamera Dengan Hasil Olahan OpenCV
    - a) Pengujian Jumlah *Frame* Yang Dapat Diproses Dalam Satu Detik
    - b) Pengujian Tampilan *Window* Proses Deteksi
    - c) Pengujian Nilai HSV Berdasarkan Deteksi Warna HSV dengan ROI
    - d) Pengujian Jarak Maksimal Bola Terdeteksi
    - e) Pengujian Posisi Bola Terhadap Robot
  4. Pengujian Transmisi Data
    - a) Pengujian Sinyal Komunikasi Serial UART Pada Mikrokontroler
    - b) Pengujian Penerimaan Data Pada Mikrokontroler Utama
    - c) Pengujian Jarak Komunikasi *Bluetooth HC-05*
  5. Pengujian Performa Sistem Keseluruhan

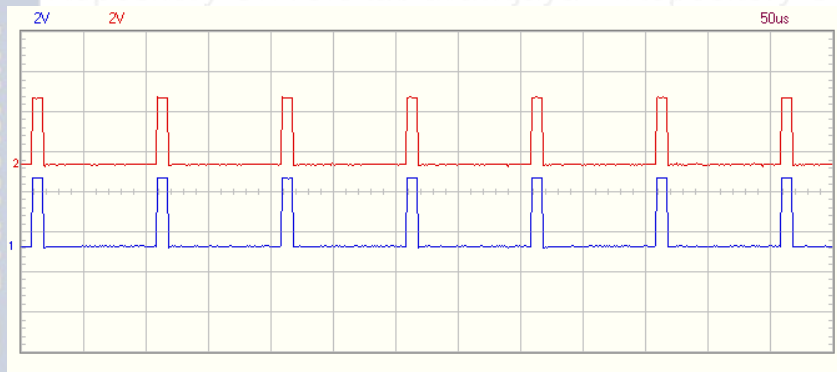
#### **4.1 Pengujian Rangkaian *Driver Motor L298N***

#### **4.1.1 Pengujian *Duty Cycle* Rangkaian Mikrokontroler dan *Driver L298N***

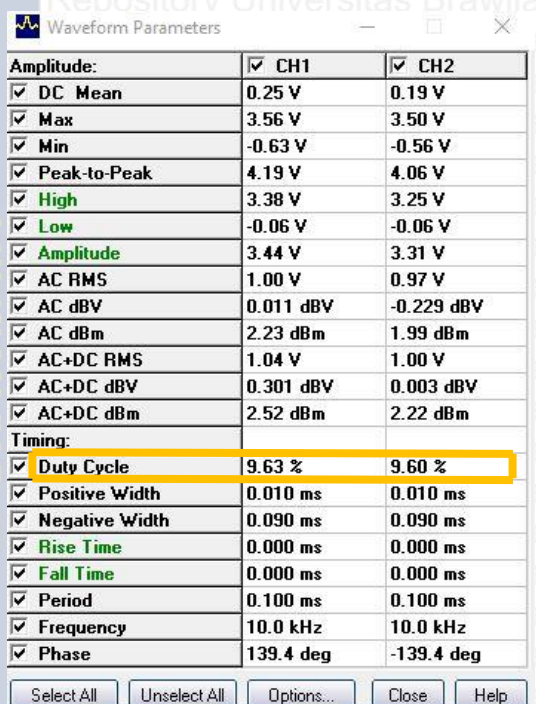
Pada pengujian, mikrokontroler memberikan masukan *duty cycle* sinyal PWM pada masukan *driver* L298N pada *range* 0% sampai 100% dengan kenaikan bertahap sebesar 10%.

Hasil pengujian sinyal PWM mikrokontroler dengan keluaran *driver* L298N diamati

menggunakan osiloskop digital Vellemen PCLAB PCSU100. Adapun hasil pengujian *duty cycle* PWM sebesar 10% ditunjukkan dalam Gambar 4.1 dan Gambar 4.2.



Gambar 4.1 Sinyal keluaran *driver* L298N terhadap sinyal masukan PWM mikrokontroler sebesar 10% (warna merah: sinyal PWM mikrokontroler, warna biru: sinyal keluaran *driver* L298N)



Gambar 4.2 Tampilan waveform parameter osiloskop velleman PCSU100

Hasil pengujian keseluruhan data selisih *duty cycle* sinyal PWM mikrokontroler dengan keluaran *driver* motor L298N dapat dilihat pada Tabel 4.1. Berdasarkan tabel 4.1 diketahui bahwa pada pengujian terdapat selisih *duty cycle* keluaran rata-rata sebesar 0,67%. Selisih rata-rata 0,67% cukup baik dan efisien karena tidak memberikan pengaruh yang besar pada kinerja sistem yang dirancang, maka dapat disimpulkan bahwa keluaran *duty cycle* *driver* motor L298N dapat bekerja dengan baik saat menerima sinyal PWM dari mikrokontroler.

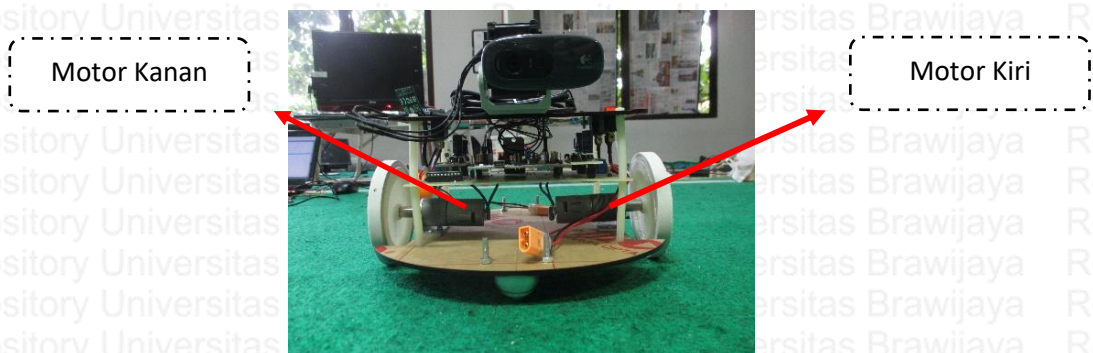
Tabel 4.1

Hasil Pengujian Data Selisih *Duty Cycle* MK Dengan *Driver* L298N

<b>Keluaran Driver</b>	<b>Duty Cycle PWM</b>	<b>Duty Cycle Selisih</b>
	<b>Mikrokontroler</b>	
0%	0%	0%
9,6%	9,6%	0%
21%	19,3%	1,7%
29,4%	28,2%	1,2%
40,3%	38,4%	1,9%
49,8%	49,1%	0,7%
59,5%	59,3%	0,2%
70,1%	69,5%	0,6%
79,9%	79,7%	0,2%
89,8%	88,9%	0,9%
99,1%	99,1%	0%
<b>Selisih duty cycle rata-rata 0,67%</b>		

#### 4.1.2 Pengujian Arah Gerak Motor

Pengujian arah gerak motor diatur dengan mengubah keadaan logika dari pin *direction* pada mikrokontroler. Untuk mengetahui respon navigasi robot penempatan motor dibagi menjadi dua bagian yaitu motor kanan dan motor kiri. Setiap motor menggunakan dua buah pin logika yang berfungsi untuk mengatur arah gerak motor melalui mikrokontroler utama. Penempatan motor kanan dan motor kiri tampak depan pada robot ditunjukkan dalam Gambar 4.3.



Gambar 4.3 Penempatan motor kanan dan motor kiri tampak depan pada robot

Adapun hasil pengujian arah gerak motor dapat dilihat pada Tabel 4.2.

Tabel 4.2

Hasil Pengujian Arah Gerak Motor

<b>Motor Kanan</b>		<b>Motor Kiri</b>		<b>Respon Robot</b>	
<b>PORATA.8</b>	<b>PORTB.10</b>	<b>PORATA.6</b>	<b>PORATA.7</b>	<b>Respon Yang Diharapkan</b>	<b>Hasil Pengujian</b>
1	0	0	1	Maju	Maju
0	1	1	0	Mundur	Mundur
1	0	1	0	Berlawanan Jarum Jam	Berlawanan Jarum Jam
0	1	0	1	Searah Jarum Jam	Searah Jarum Jam
0	0	0	0	<i>Brake</i>	<i>Brake</i>
1	1	1	1	<i>Stop</i>	<i>Stop</i>

Dalam Tabel 4.2 dapat diketahui bahwa respon *driver* motor L298N terhadap sinyal masukan arah dari mikrokontroler bekerja sesuai dengan perancangan yang diharapkan. Sehingga dapat disimpulkan bahwa driver L298N dapat bekerja dengan baik saat mendapatkan sinyal logika arah dari mikrokontroler.

## 4.2 Pengujian Servo Serial Dynamixel

### 4.2.1 Pengujian Sudut Servo Serial Dynamixel

Pada pengujian sudut dari *servo serial dynamixel* servo dipasangi dengan penunjuk sudut busur 360° seperti yang ditunjukkan dalam Gambar 4.4.



Gambar 4.4 Servo serial dynamixel yang telah dipasangi busur 360°

Pemasangan busur pada servo dilakukan dengan menyesuaikan posisi 150° yang diwakili oleh nilai data serial 512. Besar sudut hasil pengujian kemudian dibandingkan dengan besar sudut teori berdasarkan nilai data serial seperti pada Tabel 4.3.

Tabel 4.3

Hasil Pengujian Sudut Servo Serial Dynamixel

Nilai Serial	Sudut Teori (°)	Rata-Sudut Praktik (°)	Per센 error (%)
0	0	0	0
100	29,32551	28,66666	0,65884
200	58,65102	59	0,34897
300	87,97653	88,33333	0,35679
400	117,30205	117	0,30205
500	146,62756	145,66666	0,96089
600	175,95307	174,83333	1,11974
700	205,27859	204,33333	0,94525
800	234,60410	233,9	0,70410
900	263,92961	263	0,92961
1000	293,25513	292,63333	0,62179

Pengujian dilakukan sebanyak 3 kali dan data pengujian yang diambil adalah nilai rata-rata.

Dari hasil pengujian pada Tabel 4.4 dapat dilihat bahwa nilai sudut perubahan servo berbanding lurus dengan sudut teori dan antara sudut teori dengan sudut sebenarnya memiliki *error* < 1,12%. Persen *error* terbesar perubahan sudut servo dari sudut teori ialah sebesar 1,11%, sedangkan yang terkecil adalah 0% pada sudut 0°. Dengan nilai persen *error* terbesar 1,11% dapat dikatakan cukup baik dan efisien karena tidak memberikan pengaruh yang besar pada kinerja sistem yang dirancang, maka dapat disimpulkan bahwa *servo serial dynamixel* baik digunakan untuk penggerak sensor kamera pada robot.

### 4.3 Pengujian Sensor Kamera Dengan Hasil Olahan OpenCV

#### 4.3.1 Pengujian Jumlah *Frame* Yang Dapat Diproses Dalam Satu Detik

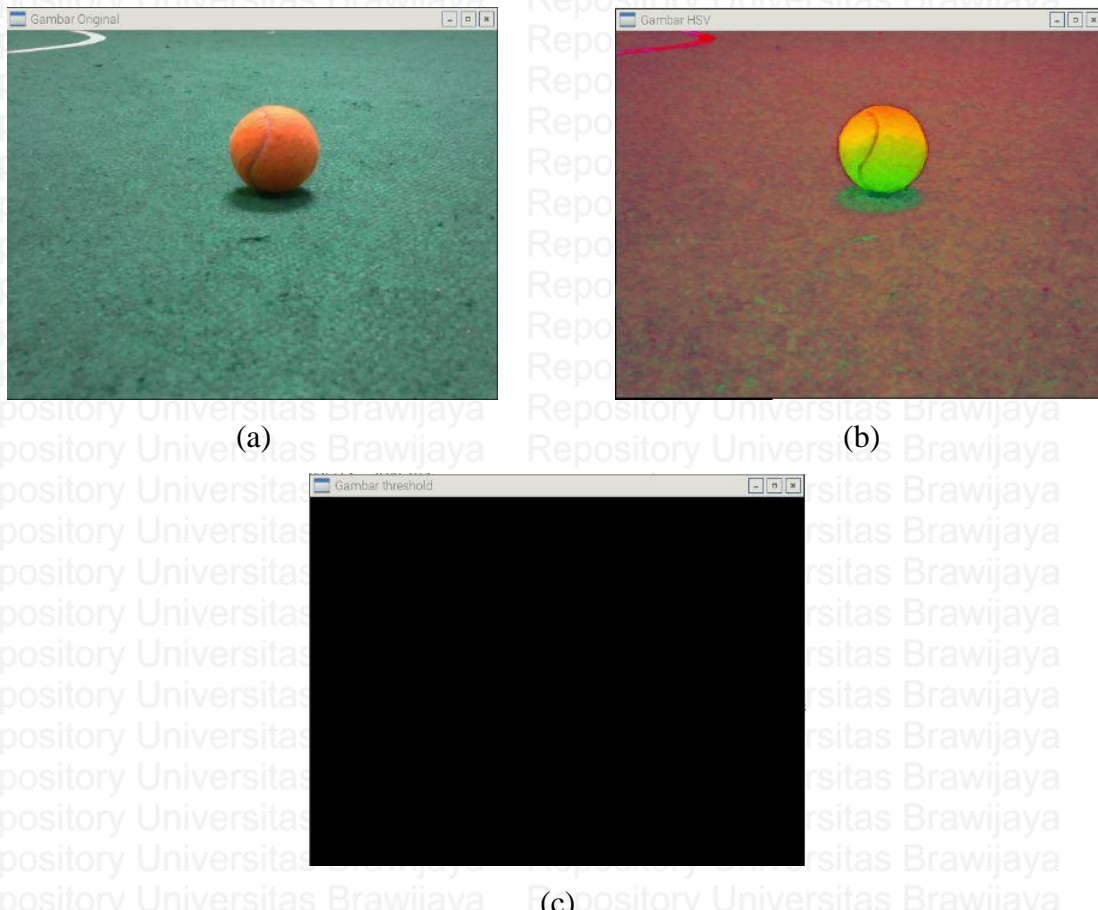
Pengujian dilakukan dengan menaikkan jumlah *frame* yang diproses dari 20 *frame* sampai 120 *frame* dengan kenaikan bertahap sebesar 20 *frame*. Setelah itu menghitung rata – rata banyak *frame* yang diproses dalam satu detik dari masing – masing jumlah *frame* yang telah ditentukan. Hasil estimasi *frame* per detik kemudian ditampilkan pada terminal raspberry pi. Estimasi *frame* per detik saat jumlah *frame* yang diproses sebesar 80 ditunjukkan dalam Gambar

4.5.



#### 4.3.2 Pengujian Tampilan Window Proses Deteksi

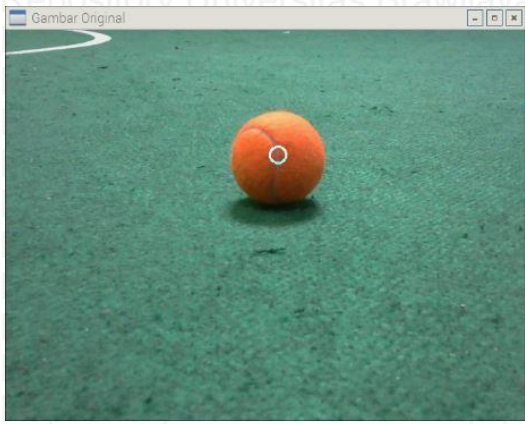
Pengujian dilakukan secara *real time* dengan menjalankan program deteksi HSV dengan ROI pada raspberry pi dan mengikuti alur proses untuk memperoleh nilai HSV bola. Selanjutnya mengamati tampilan *window – window* dari proses deteksi sebagai acuan apakah proses deteksi telah sesuai dengan perancangan algoritma yang dibuat. Adapun hasil tampilan *window - window* awal saat program deteksi warna HSV dengan ROI dijalankan ditunjukkan dalam Gambar 4.6.



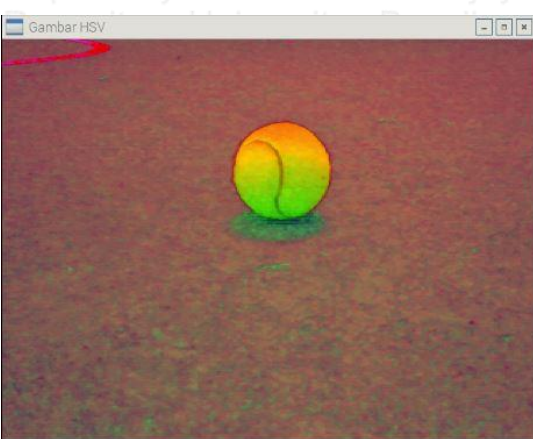
Gambar 4.6 Hasil tampilan *window – window* awal program deteksi warna HSV dengan ROI ( (a) gambar sebenarnya, (b) gambar hasil konversi gambar sebenarnya menjadi HSV, (c) gambar hitam *threshold* Awal )

Seperti yang ditunjukkan dalam Gambar 4.6 awal program deteksi warna HSV dengan ROI dijalankan akan menampilkan tiga *window* utama yaitu *window* gambar sebenarnya, *window* gambar HSV, dan *window* gambar *threshold*. *Window* gambar sebenarnya diperoleh melalui hasil *capture* langsung melalui kamera tanpa adanya proses konversi. *Window* gambar HSV diperoleh dari hasil konversi RGB gambar sebenarnya menjadi gambar HSV. *Window* gambar *threshold* diperoleh dari *range* HSV warna yang nilainya belum diatur sehingga akan

menampilkan gambar hitam sebagai kondisi awal. Dari hasil awal saat program dijalankan agar mampu mendeteksi warna pada bola dilakukan seleksi area dengan ROI pada gambar sebenarnya. Adapun hasil tampilan *window* setelah dilakukan seleksi area kotak dengan ROI ditunjukkan dalam Gambar 4.7.



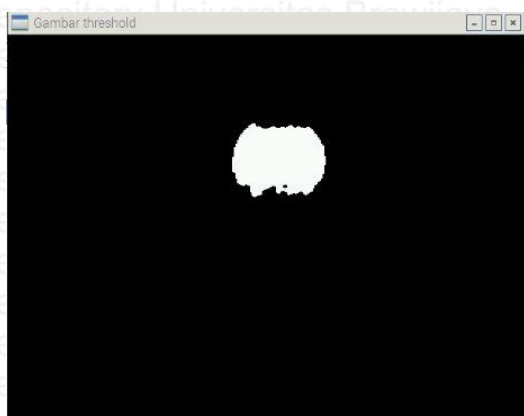
(a)



(c)



(b)



(d)

Gambar 4.7 Hasil tampilan *window – window* saat seleksi area dengan ROI selesai dilakukan ( (a) gambar sebenarnya , (b) gambar hasil seleksi ROI, (c) gambar hasil konversi gambar sebenarnya menjadi gambar HSV, (d) gambar threshold )

Dalam Gambar 4.7 setelah proses seleksi area dengan ROI seleksi dilakukan maka akan menampilkan satu *window* tambahan yaitu *window* hasil seleksi ROI. *Window* hasil seleksi ROI diperoleh berdasarkan area yang telah diseleksi menggunakan *mouse event* dengan ROI pada gambar sebenarnya. Hasil area seleksi ROI diambil nilai HSV dari warnanya kemudian dimasukkan dalam *range* warna yang dideteksi. Hasil obyek yang telah terdeteksi diamati pada *window* gambar *threshold* di mana warna putih merupakan warna yang dideteksi dan warna

hitam merupakan warna lain-lain yang tidak dideteksi. Pada gambar sebenarnya diberi penanda gambar lingkaran untuk lebih mempermudah hasil pengamatan obyek yang dideteksi. Dari hasil tampilan *window – window* pada Gambar 4.6 dan Gambar 4.7 diketahui bahwa program yang dirancang telah berjalan sesuai dengan perancangan algoritma yang dibuat.

#### 4.3.3 Pengujian Nilai HSV Berdasarkan Deteksi Warna HSV dengan ROI

Pengujian dilakukan secara *real time* dengan mengambil nilai HSV dari ROI pada program sampai warna yang diinginkan bisa terdeteksi. Jarak bola dengan kamera di atur sebesar 30 cm kemudian dengan menggunakan fungsi *mouse event* kulit bola yang berwarna orange diseleksi dengan bentuk kotak untuk memperoleh nilai HSV berdasarkan fungsi ROI. Nilai HSV pada program memiliki lebar data sebesar 8 bit dengan *range*, yaitu *Hue* (0-255), *Saturation* (0-255), dan *Value* (0-255). Nilai HSV dari hasil seleksi kemudian ditampilkan pada terminal di Raspberry pi. Hasil tampilan *range* nilai HSV pada terminal Raspberry pi ditunjukkan dalam Gambar 4.8.

The screenshot shows a terminal window titled 'pi@raspberrypi ~'. The terminal displays the following command and its execution:

```
pi@raspberrypi:~ $ g++ -fopenmp roiHSVH.cpp `pkg-config --cflags --libs opencv4` -o FIXED
pi@raspberrypi:~ $ ./FIXED
Mengcapture 120 frame
Waktu Yang Dibutuhkan : 8 detik
Estimasi frame per detik : 15
^C
pi@raspberrypi:~ $ ^C
pi@raspberrypi:~ $ g++ -fopenmp roiHSVH.cpp `pkg-config --cflags --libs opencv4` -o FIXED
pi@raspberrypi:~ $ ./FIXED
MIN 'H' Nilai: 5
MAX 'H' Nilai: 16
MIN 'S' Nilai: 148
MAX 'S' Nilai: 231
MIN 'V' Nilai: 96
MAX 'V' Nilai: 255
```

A red box highlights the last four lines of the terminal output, which show the minimum and maximum values for Hue, Saturation, and Value.

Gambar 4.8 Hasil tampilan *range* minimal dan maksimal nilai HSV pada terminal Raspberry pi

Data hasil pengujian merupakan *range* data tertinggi dan terendah dari 10 kali pengujian yang dilakukan menggunakan kamera dan raspberry pi. Data hasil pengujian nilai HSV ditunjukkan dalam Tabel 4.5.

Tabel 4.5

Hasil Pengujian Nilai HSV

Pengujian ke	Hue (MIN – MAKS)	Saturation (MIN – MAKS)	Value (MIN – MAKS)
1	5 – 16	148 – 231	86 - 255
2	3 – 17	150 – 230	84 – 250
3	7 – 16	151 – 241	82 – 255
4	5 – 17	150 – 231	83 – 255
5	5 – 17	144 – 240	83 – 254
6	6 – 18	145 – 233	82 – 252
7	3 – 18	146 – 237	84 – 254
8	4 – 17	145 – 238	85 – 255
9	5 – 17	150 – 230	85 – 255
10	7 – 17	151 – 229	86 – 255
<b>Rata – Rata</b>	<b>5 - 17</b>	<b>148 - 234</b>	<b>84 - 254</b>

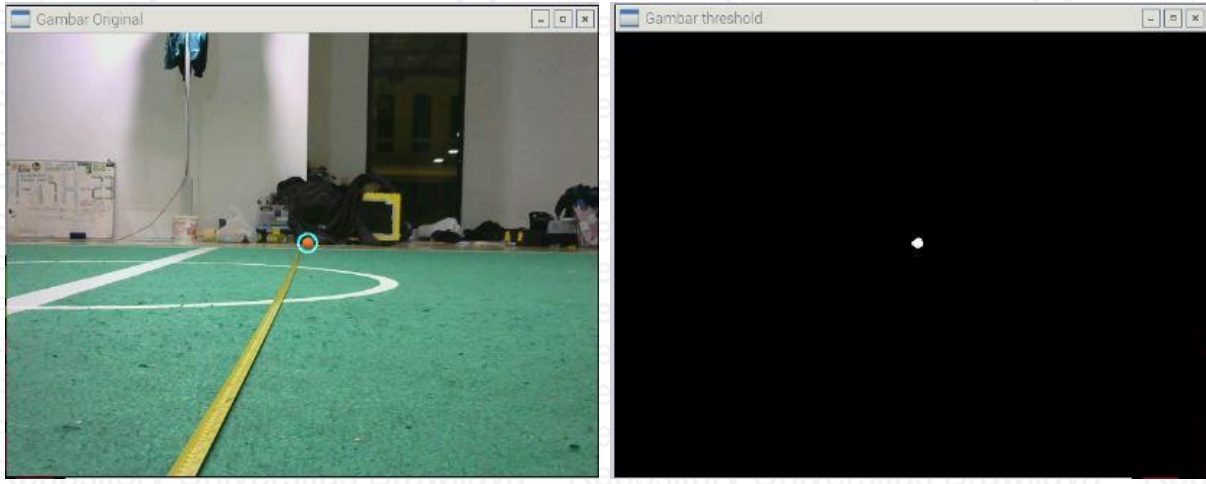
Pada Tabel 4.5 terlihat bahwa bola orange yang digunakan sebagai obyek yang dideteksi memiliki rata - rata nilai yaitu *Hue* (H) dengan nilai minimal sebesar 5 dan maksimal 17, *saturation* (S) dengan nilai minimal sebesar 148 dan maksimal sebesar 234, dan *value* (V) dengan nilai minimal sebesar 84 dan maksimal 254. Dari hasil pengujian terhadap nilai HSV dari tiga warna yang akan dideteksi oleh kamera, didapatkan bahwa nilai *hue* dan *saturation* memiliki *range* yang sempit. Nilai *value* memiliki *range* yang lebar karena mudah terpengaruh pencahayaan lingkungan. Sehingga pada pembuatan alat hanya nilai *hue* dan *saturation* yang akan digunakan sebagai pedoman warna.

#### 4.3.4 Pengujian Jarak Maksimal Bola Terdeteksi

Pengujian dilakukan dengan menempatkan sensor kamera di mekanika robot keseluruhan dan menjalankan program deteksi warna HSV dengan ROI. *Range* nilai HSV yang digunakan merupakan rata-rata hasil pengujian nilai HSV sebelumnya yaitu *Hue* (H) dengan nilai minimal sebesar 5 dan maksimal 17, *saturation* (S) dengan nilai minimal sebesar 148 dan maksimal sebesar 234, dan *value* (V) dengan nilai minimal sebesar 84 dan maksimal 254. Besar perubahan sudut pada sendi kepala dan tinggi pada kamera pada kepala robot dari permukaan tanah digunakan untuk menentukan jarak bola dari robot secara teori. Parameter untuk mengetahui apakah bola masih terdeteksi atau tidak diamati melalui *window threshold* dimana warna putih yang mewakili warna yang dideteksi masih terlihat. Tampilan *window* gambar sebenarnya dan

*window threshold* saat pengujian jarak maksimal bola terdeteksi ditunjukkan dalam Gambar 4.9.

Adapun hasil pengujian jarak maksimal bola terdeteksi ditunjukkan dalam Tabel 4.6



(a)

(b)

Gambar 4.9 Tampilan *window* saat pengujian jarak maksimal bola terdeteksi ( (a) *window* Gambar sebenarnya, (b) *window threshold* )

Tabel 4.6

Hasil Pengujian Jarak Maksimal Bola Terdeteksi

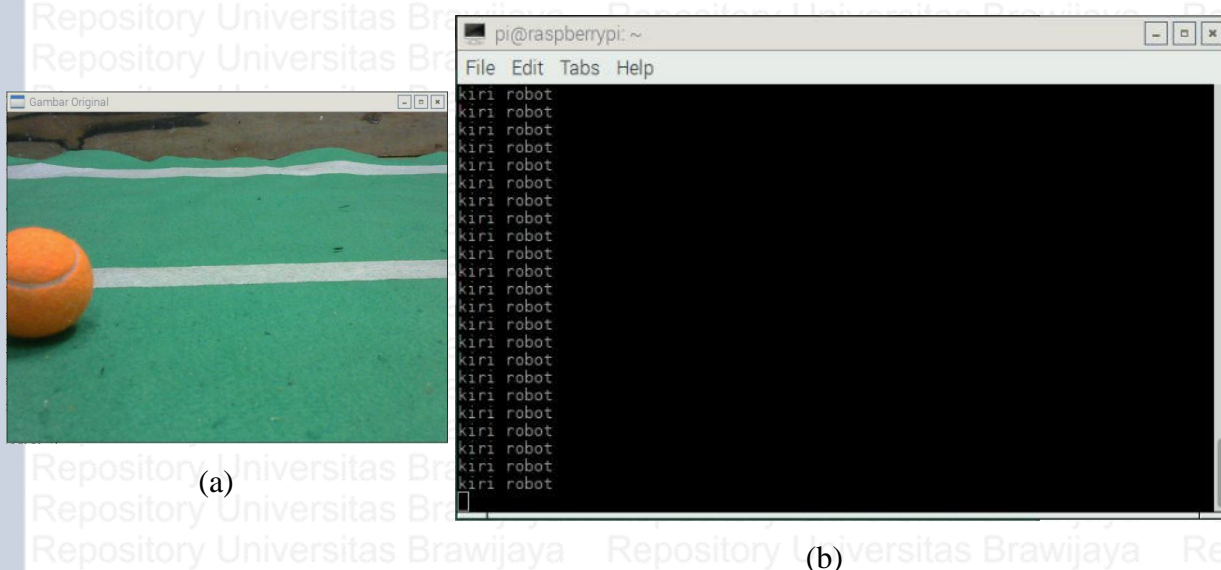
Sudut Kepala (°)	Jarak Teori (cm)	Jarak Rata – Rata Praktik (cm)	Persen Error (%)	Kondisi Bola
15	3,751	2,63	1,12	Terdeteksi
25	6,528	5,07	1,46	Terdeteksi
35	9,802	8,90	0,90	Terdeteksi
45	14,000	12,83	1,17	Terdeteksi
55	19,994	19,03	0,96	Terdeteksi
65	30,023	29,20	0,82	Terdeteksi
75	52,248	50,97	1,28	Terdeteksi
85	160,020	158,50	1,52	Terdeteksi
87	267,135	265,73	1,40	Tidak Terdeteksi

Pengujian dilakukan sebanyak 3 kali dan data pengujian yang diambil adalah nilai rata-rata. Berdasarkan hasil pengujian pada Tabel 4.6 secara teori jarak maksimal bola terdeteksi sebesar 160,020 cm sedangkan secara praktik sebesar 158,50 cm. Persen *error* dari jarak bola secara teori dan praktik < 1,6 %. Dengan jarak maksimal bola terdeteksi > 150 cm kemampuan robot untuk mendeteksi bola dinilai baik karena robot masih mampu mendeteksi bola saat posisi *kick*.

off , saat *kick off* robot dan bola akan berjarak 150 cm sesuai dengan peraturan pertandingan KRSBI.

#### 4.3.5 Pengujian Posisi Bola Terhadap Robot

Pengujian dilakukan secara *real time* dengan menjalankan program deteksi warna HSV dengan ROI di raspberry pi. Kemudian memasukkan nilai rata – rata dari parameter HSV bola hasil dari ROI dan menempatkan bola sejauh 30 cm dari robot. Setelah itu memposisikan bola terhadap robot sesuai dengan tiga keadaan kanan, depan dan kiri dari robot. Selanjutnya menampilkan hasil pembagian kedalam tiga kondisi yaitu “kanan robot”, “depan robot”, dan “kiri robot” pada terminal Raspberry pi beserta nilai terbaru dari *frame pixel* kamera. Tampilan hasil terminal dan *window* gambar sebenarnya dari posisi bola “kiri robot” ditunjukkan dalam Gambar 4.10. Adapun hasil pengujian pembagian *frame pixel* kamera untuk menentukan posisi bola terhadap robot ditunjukkan dalam Tabel 4.7.



Gambar 4.10 Tampilan terminal dan *window* gambar sebenarnya saat posisi bola “Kiri Robot” ( (a) *window* gambar sebenarnya, (b) tampilan terminal )

Tabel 4.7

Hasil Pembagian *Frame Pixel* Kamera Untuk Menentukan Posisi Bola Terhadap Robot

<b>Kiri Robot</b>		<b>Depan Robot</b>		<b>Kanan Robot</b>	
<b>X (min-maks)</b>	<b>Y (min-maks)</b>	<b>X (min-maks)</b>	<b>Y (min-maks)</b>	<b>X (min-maks)</b>	<b>Y (min-maks)</b>
(1 - 64)	(1 - 480)	(65 - 519)	(1 - 480)	(520 - 640)	(1 - 480)

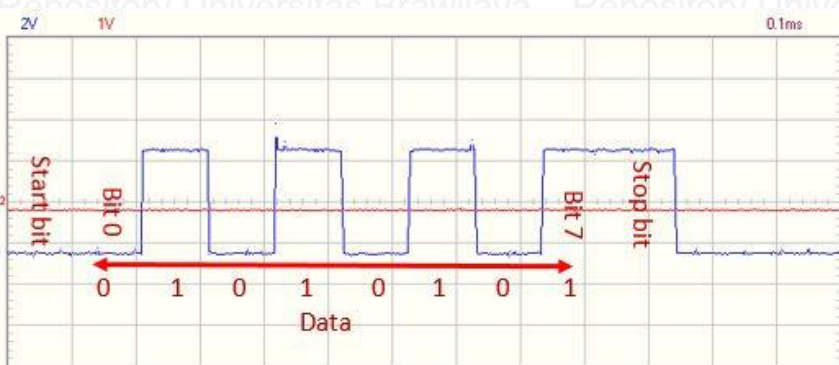
Berdasarkan Tabel 4.7 posisi bola kiri robot diperoleh dengan nilai sumbu x minimal 1 dan maksimal 64 sedangkan sumbu y minimal 1 dan maksimal 480. Selanjutnya posisi depan robot

diperoleh dengan nilai sumbu x minimal 65 dan maksimal 519 sedangkan sumbu y minimal 1 dan maksimal 480. Posisi kanan robot diperoleh dengan nilai sumbu x minimal 520 dan maksimal 640 sedangkan sumbu y minimal 1 dan maksimal 480. Posisi bola depan robot dibuat *range pembagian frame pixel* yang lebih besar dibandingkan kanan robot dan kiri robot agar robot tidak banyak manuver gerakan memutar untuk mencari bola. Pembagian *frame pixel* untuk menentukan posisi bola terhadap robot yang telah dibuat dinilai sudah cukup baik untuk keseluruhan sistem robot

#### 4.4 Pengujian Transmisi Data

##### 4.4.1 Pengujian Pengujian Sinyal Komunikasi Serial UART Pada Mikrokontroler

Pengujian dilakukan dengan mengirim karakter ‘A’ yaitu dengan cara mengatur perangkat UART dengan *baudrate* 9600 bps dan melakukan pengiriman data senilai 0xAA. Karena pengujian menggunakan osiloskop yang menampilkan data berupa sinyal kotak yang merepresentasikan bilangan biner, maka untuk mengetahui apakah data yang dikirimkan sudah benar, data harus dikonversi menjadi bilangan biner terlebih dahulu. Jika nilai hexadesimal 0xAA dikonversi menjadi kode biner maka hasilnya yaitu 0b10101010. Selanjutnya data diawali dengan bit *start* yang selalu berlogika *low* kemudian diikuti bit data ke 0 hingga ke 7 dan diakhiri dengan bit *stop* yang berlogika *high*. Hasil pengujian ditunjukkan dalam Gambar 4.4.



Gambar 4.11 Hasil pembacaan data dengan osiloskop

Pada Gambar 4.11 data hasil pembacaan data dengan osiloskop dapat disimpulkan bahwa sebuah frame data diawali dengan start bit kemudian diikuti data bit dengan total maksimum 9 bit yang diawali LSB hingga MSB. Dapat dikatakan data yang dikirimkan oleh mikrokontroler telah bekerja dengan baik dan siap dipakai dalam sistem.

#### 4.4.2 Pengujian Penerimaan Data Pada Mikrokontroler Utama

Pengujian penerimaan data di mikrokontroler utama dilakukan dengan melihat data yang diterima menggunakan aplikasi *parallax serial terminal*. Awalnya perangkat UART pada raspberry pi diatur dengan *baudrate* 9600 bps dan melakukan pengiriman data senilai 0XCC ke mikrokontroler utama yang sebelumnya telah dimasukkan program penerimaan data. Kemudian pin RX dari mikrokontroler utama disambungkan pada USB to TTL. Selanjutnya data yang diterima diamati pada komputer. Adapun Gambar hasil pengujian penerimaan data pada mikrokontroler utama ditunjukkan dalam Gambar 12.



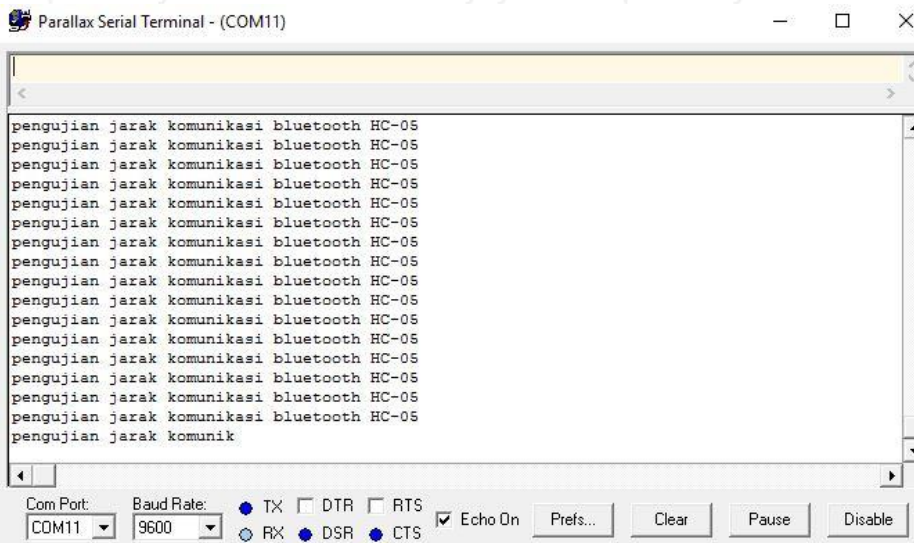
Gambar 4.12 Hasil pengujian penerimaan data pada mikrokontroler utama

Terlihat pada Gambar 12 mikrokontroler utama menerima data dengan nilai desimal “67” hal ini dikarenakan data yang dikirim melalui raspberry pi merupakan data dengan format berupa karakter, sedangkan pada mikrokontroler utama data dalam format karakter tersebut akan dikonversi kedalam bentuk nilai desimal. Pengkonversian data dengan format karakter ke nilai desimal dari pengujian telah sesuai dengan tabel ASCII, sehingga dapat disimpulkan bahwa data yang dikirim melalui raspberry pi ke mikrokontroler dapat langsung diolah dengan syarat melihat hasil konversinya melalui tabel ASCII.

#### 4.4.3 Pengujian Jarak Komunikasi *Bluetooth HC-05*

Pengujian jarak komunikasi *bluetooth HC-05* dilakukan dengan mengirimkan data kata “Pengujian Jarak Komunikasi *Bluetooth HC-05*”. Gambar data yang dikirim kemudian dilihat

dengan menggunakan aplikasi *parallax serial terminal* di komputer seperti yang ditunjukkan dalam Gambar 4.13



Gambar 4.13 Hasil pengujian data kata yang dikirim menggunakan *bluetooth HC-05*

Setelah data kata seperti yang ditunjukkan dalam Gambar 4.13 berhasil dikirim selanjutnya *bluetooth* pemancar diperjauh jaraknya setiap 1 meter. Adapun hasil pengujian jarak maksimal pengiriman data *bluetooth HC-05* ditunjukkan pada Tabel 4.8.

Tabel 4.8

Hasil Pengujian Jarak Maksimal Pengiriman Data *Bluetooth HC-05*

Jarak ( Meter )	Kondisi Komunikasi
1-7	Terhubung
8	Terhubung
9	Terhubung
10	Terhubung
11	Terhubung
12	Terhubung
13	Terhubung
14	Terhubung
15	Tidak Terhubung
16	Tidak Terhubung
17	Tidak Terhubung
18	Tidak Terhubung

Berdasarkan hasil pengujian yang telah dilakukan, dapat disimpulkan bahwa *bluetooth* mampu mengirimkan data dengan baik sampai pada jarak 14 meter tanpa ada karakter yang hilang. Pada jarak 15 meter koneksi langsung terputus dan tidak menerima data lagi.

#### 4.5 Pengujian Performa Sistem Keseluruhan

Pengujian dilakukan dengan meletakan robot pada posisi awal yaitu pada lapangan pengujian dengan arah robot menghadap utara, lalu bola diletakan pada tiga lokasi yang telah diatur. Posisi bola diatur sesuai arah mata angin dengan robot sebagai acuan yaitu lokasi pertama bola diletakkan di arah timur, lokasi kedua bola diletakkan di arah selatan, dan lokasi ketiga bola diletakkan di arah barat. Masing – masing posisi bola diatur jarak nya terhadap robot sejauh 30 cm. Adapun hasil pengujian performa sistem keseluruhan ditunjukkan dalam Tabel 4.9.

Tabel 4.9

Hasil Pengujian Performa Sistem Keseluruhan

<b>Posisi Bola Terhadap Robot</b>	<b>Jarak Bola (cm)</b>	<b>Lama Waktu (Detik) Pengujian ke-</b>					<b>Rata - Rata</b>
		<b>1</b>	<b>2</b>	<b>3</b>	<b>4</b>	<b>5</b>	
Posisi 1 (Timur)	30	4,21	3,89	4,11	4,15	4,24	4.12
Posisi 2 (Selatan)	30	6,17	5,94	6,23	5,97	6,19	6.10
Posisi 3 (Barat)	30	7,83	8,26	8,29	7,92	7,93	8.05

Pengujian dilakukan sebanyak 5 kali dan data pengujian yang diambil adalah nilai rata-rata.

Berdasarkan hasil pengujian pada Tabel 4.9 robot paling cepat menemukan bola pada posisi 1 (timur) dengan waktu rata-rata 4,12 detik sedangkan posisi 2 (selatan) robot menemukan bola dengan waktu rata-rata 6,10 detik dan posisi 3 (barat) robot menemukan bola dengan waktu rata-rata 8,05 detik. Posisi 1 memiliki waktu rata-rata lebih cepat dibandingkan posisi 2 dan posisi 3 dikarenakan algoritma pada mikrokontroler utama yang melakukan manuver gerakan putar kanan terlebih dahulu untuk mencari bola.

## 5.1 Kesimpulan

Berdasarkan hasil analisis dan pengujian setiap bagian dan keseluruhan sistem yang telah dilakukan, maka dapat dilambil kesimpulan sebagai berikut:

1. Robot mampu mendeteksi bola dengan deteksi warna HSV dan ROI dengan cara menyeleksi area yang akan dideteksi yaitu kulit bola dengan bentuk kotak, lalu diambil nilai rata-rata *range* HSV dari hasil seleksi tersebut sehingga hasil deteksi dapat diperoleh posisinya dalam bentuk koordinat x dan y dari *frame pixel* kamera. Bola orange yang digunakan sebagai obyek yang dideteksi memiliki rata-rata nilai yaitu *Hue* (H) dengan nilai minimal sebesar 5 dan maksimal 17, *saturation* (S) dengan nilai minimal sebesar 148 dan maksimal sebesar 234, dan *value* (V) dengan nilai minimal sebesar 84 dan maksimal 254.
2. Jarak bola yang dideteksi oleh robot dapat diketahui dengan cara memasang kamera dengan *servo serial dynamixel* untuk merubah sudut pada sendi kepala robot. Jarak diperoleh menggunakan perhitungan trigonometri, besar perubahan sudut pada sendi kepala dan tinggi pada kamera pada kepala robot dari permukaan tanah digunakan untuk menentukan jarak bola dari robot. *Servo serial dynamixel* pada robot memiliki sudut perubahan berbanding lurus dengan sudut teori dan antara sudut teori dengan sudut sebenarnya memiliki *error* < 1,12%. Persen *error* terbesar perubahan sudut servo dari sudut teori ialah sebesar 1,11%, sedangkan yang terkecil adalah 0% pada sudut 0°. Secara teori jarak maksimal bola terdeteksi sebesar 160,020 cm sedangkan secara praktik sebesar 158,50 cm. Persen *error* dari jarak bola secara teori dan praktik < 1,6 %.
3. Posisi bola “kanan robot”, “depan robot”, dan “kiri robot” diperoleh berdasarkan pembagian koordinat *frame pixel* kamera x dan y yaitu sebesar 640 dan 480. Posisi bola kiri robot diperoleh dengan nilai sumbu x minimal 1 dan maksimal 64 sedangkan sumbu y minimal 1 dan maksimal 480. Selanjutnya posisi depan robot diperoleh dengan nilai sumbu x minimal 65 dan maksimal 519 sedangkan sumbu y minimal 1 dan maksimal 480. Posisi kanan robot diperoleh dengan nilai sumbu x minimal 520 dan maksimal 640 sedangkan sumbu y minimal 1 dan maksimal 480.

## BAB V

### KESIMPULAN DAN SARAN



4. Robot mampu bergerak sesuai dengan posisi bola dengan cara menerima data serial berupa karakter yang mewakili hasil pembagian *frame pixel* kamera. Kemudian data serial berupa karakter tersebut dikonversi kedalam bentuk desimal dan diproses untuk mendapatkan respon navigasi robot berdasarkan hasil pembacaan data. Pada pengujian robot diletakkan menghadap utara lalu posisi bola diatur sesuai arah mata angin dengan robot sebagai acuan yaitu lokasi pertama bola diletakkan di arah timur, lokasi kedua bola diletakkan di arah selatan, dan lokasi ketiga bola diletakkan di arah barat. Masing – masing posisi bola diatur jarak nya terhadap robot sejauh 30 cm. Robot paling cepat menemukan bola pada posisi 1 (timur) dengan waktu rata-rata 4,12 detik sedangkan posisi 2 (selatan) robot menemukan bola dengan waktu rata-rata 6,10 detik dan posisi 3 (barat) robot menemukan bola dengan waktu rata-rata 8,05 detik. Posisi 1 memiliki waktu rata-rata lebih cepat dibandingkan posisi 2 dan posisi 3 dikarenakan algoritma pada mikrokontroler utama yang melakukan manuver gerakan putar kanan terlebih dahulu untuk mencari bola.

## 5.2 Saran

Untuk pengembangan penelitian ini, ada beberapa saran yang dapat dilakukan antara lain:

1. Jika program deteksi digunakan pada robot humanoid di bagian sendi kepala robot tempat kamera dipasang sebaiknya dibuat *stabilizer* menggunakan sensor *gyroscope* atau sejenisnya agar proses deteksi tidak terganggu oleh guncangan dari lapangan yang kurang rata atau pergerakan robot yang kasar.
2. Untuk penggunaan pada robot beroda sebaiknya gunakan empat buah roda agar pergerakan lebih halus tidak banyak guncangan yang terjadi sehingga robot dapat mendeteksi dan mendekati bola lebih cepat dan akurat.
3. Menggunakan algoritma yang lebih baik dalam mengolah data dari sensor kamera untuk navigasi robot seperti PID dan lain-lain.

## **DAFTAR PUSTAKA**

Adam Goode, A. R. (2011). Color-tracking Explanation.  
[http://www.cmucam.org/projects/cmucam4/wiki/Color-tracking\\_Explanation](http://www.cmucam.org/projects/cmucam4/wiki/Color-tracking_Explanation). (Diakses 3 November 2016).

Atmel. (2007). *8-bit AVR with 16K Bytes In-System Programmable Flash ATMega16/16L*. San Jose: Atmel.

Durda, F. (2014). Serial And UART Tutorial . [https://www.freebsd.org/doc/en\\_US.ISO8859-1/articles/serial-uart/](https://www.freebsd.org/doc/en_US.ISO8859-1/articles/serial-uart/). (Diakses 3 November 2016).

Itseez. (2014). *The OpenCV Tutorials*. Nizhny Novgorod: Itseez.

Ivask, M. (2015). *Raspberry Pi Based System For Visual Object Detection and Tracking*. Tallin : Tallin University of Technology.

Insyani, R.S.P.P., Mudjirahardjo, P. & Arief, R S. (2016). *IMPLEMENTASI SISTEM FIRE FOLLOWING MENGGUNAKAN KONTROLER PID DENGAN METODE TUNING PADA ROBOT KONTES PEMADAM API INDONESIA (KRPAI) DIVISI BERODA*. Malang : Skripsi Jurusan Teknik Elektro FT-UB.

Kour, H. (2015). Analysis on Image Color Model. *International Journal Of Advvanced in Computer and Communication Engineering (IJARCCE)*. 4(12): 233-235.

Mordvintsev, A. & Abid, K. (2017). *OpenCV-Pyton Tutorials Documentation*. OpenCV.

Mudjirahardjo, P., Nurussa'adah., & Siwindarto, P. (2016). Soccer Field Detection Based on Histogram of S-RGB. *ARPN Journal of Engineering and Applied Science*. 21(XI), pp: 12405–12408.

Richard, J. A. (2015). EMGU CV – Select ROI (Region Of Interest) With Mouse .  
<https://www.codeproject.com/Tips/859100/Emgu-CV-Select-ROI-Region-Of-Interest-With-Mouse-C>. (Diakses 21 Maret 2017).

RISTEKDIKTI. (2016). *Panduan KRSBI 2016 Beta*. Jakarta Pusat: Dikti.

Robotis. (2006). *AX-12/AX-12+/AX-12A - ROBOTIS e-MANUAL*. Robotis.

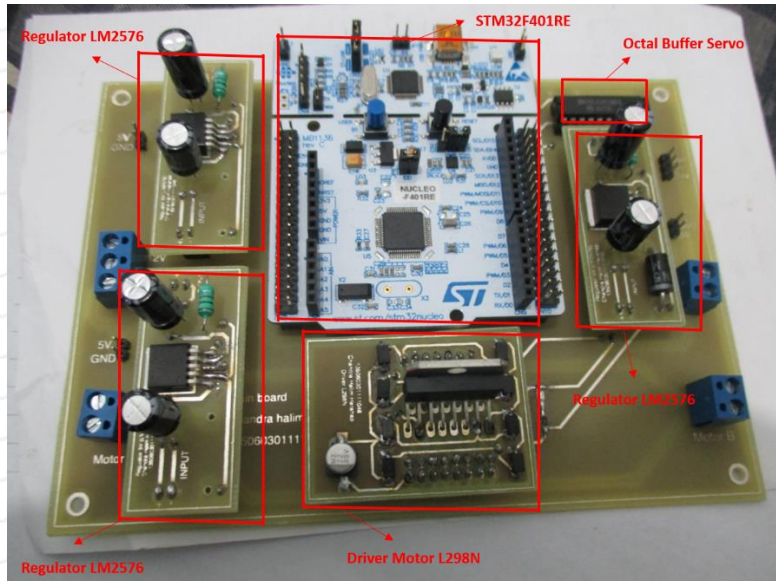
STMicroelectronics. (2015). *UMI724 User Manual Datasheet*. STMicroelectronics.

Tegar, A.F.F., Sulistiyanto, N. & Maulana, E. (2015). *DETEKSI WARNA LAPANGAN KRSI MENGGUNAKAN KAMERA DAN SENSOR WARNA UNTUK MENCARI SUDUT HADAP DAN JARAK*. Malang : Skripsi Jurusan Teknik Elektro FT-UB.

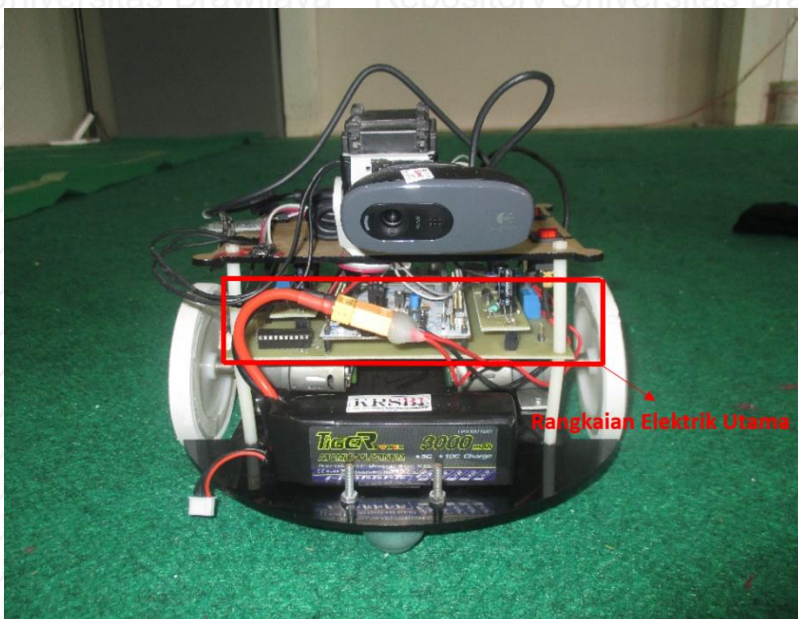


# **LAMPIRAN 1**

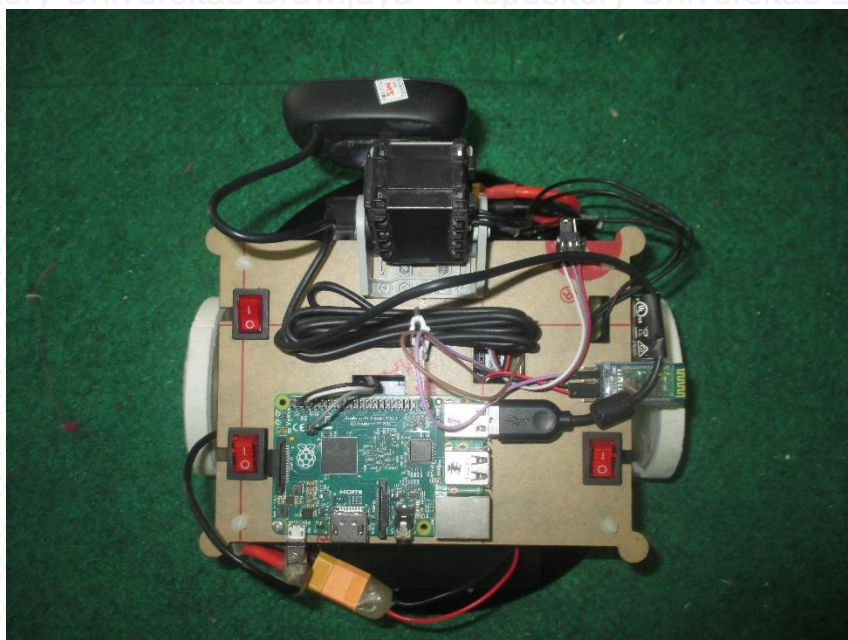
## **DOKUMENTASI ALAT**



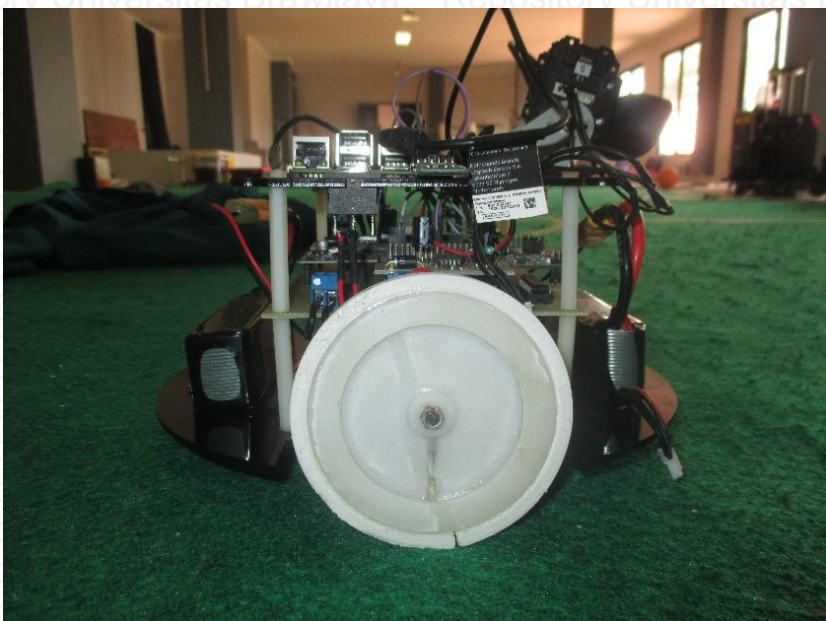
**Gambar 1.1** Rangkaian elektrik utama robot keseluruhan



**Gambar 1.2** Robot tampak depan



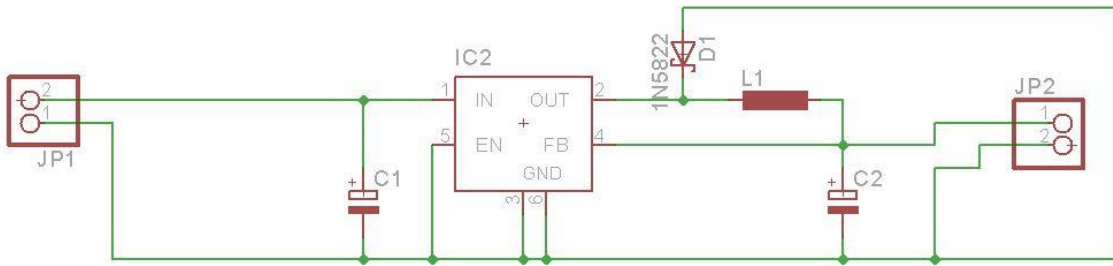
**Gambar 1.3** Robot tampak atas



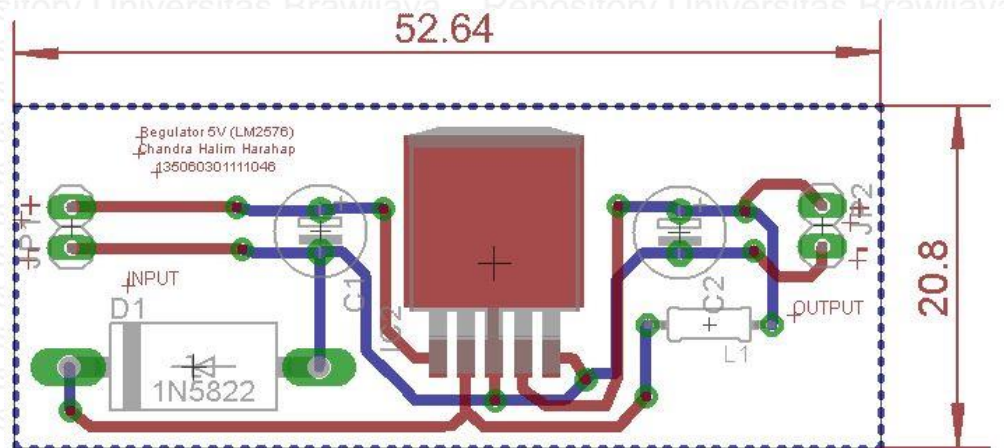
**Gambar 1.4** Robot tampak samping

# LAMPIRAN 2

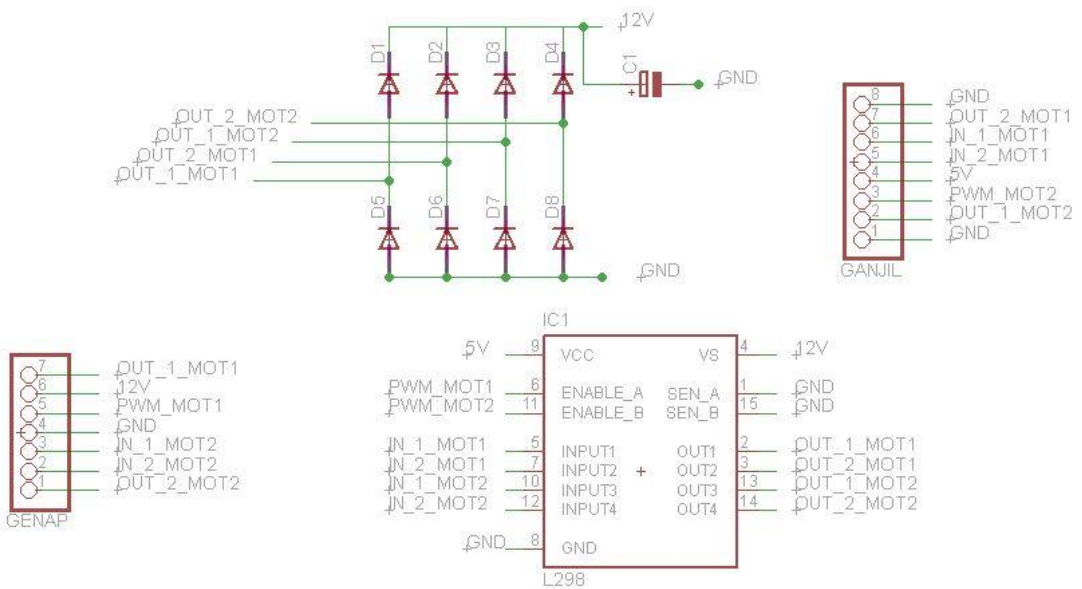
## SKEMATIK RANGKAIAN



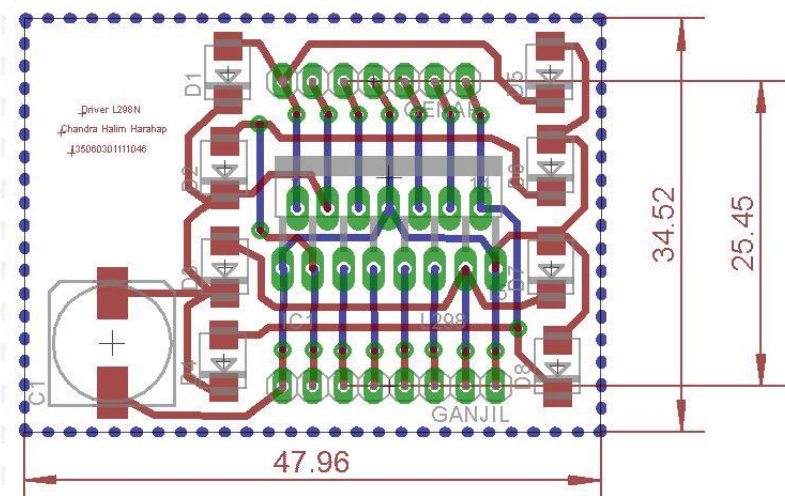
Gambar 1.5 Skematik rangkaian regulator LM2576



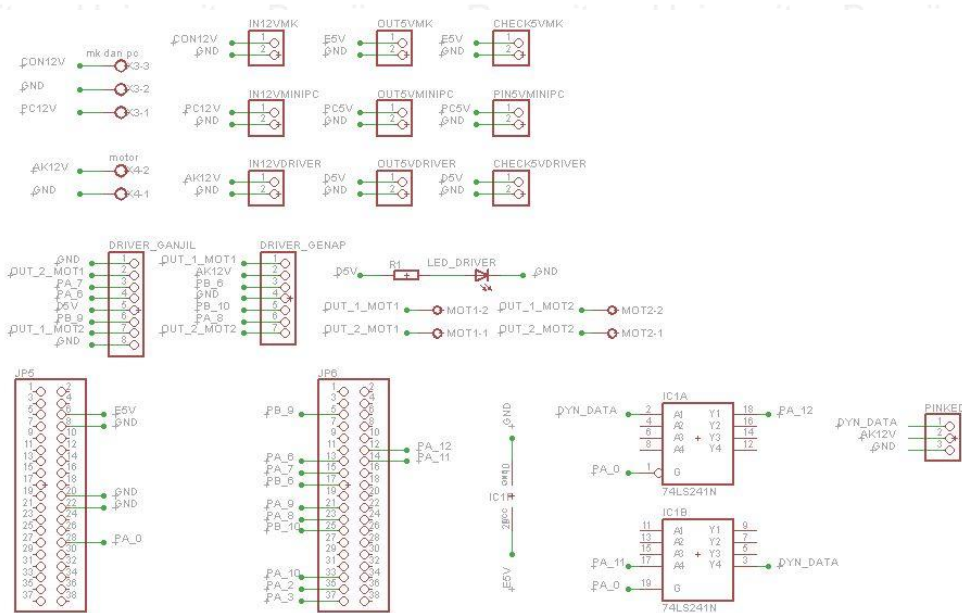
Gambar 1.6 Board rangkaian regulator LM2576



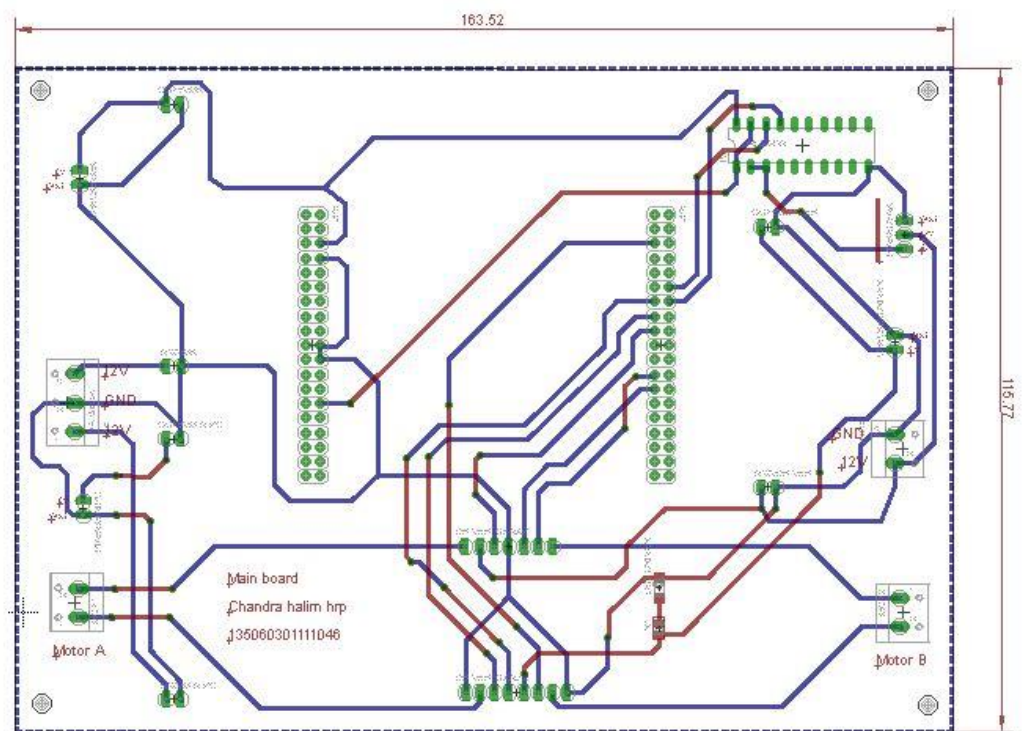
**Gambar 1.7** Skematik rangkaian *driver* L298N



**Gambar 1.8** Board rangkaian *driver* L298N



**Gambar 1.9** Skematik rangkaian *board* utama



**Gambar 1.10** Board Rangkaian Board Utama



# **LAMPIRAN 3**

## **LISTING PROGRAM**

### **1. Listing Program Mikrokontroler Utama**

```
#include "stm32f4xx.h"
#include "stm32f4xx_tim.h"
#include "stm32f4xx_rcc.h"
#include "stm32f4xx_gpio.h"
#include "stm32f4xx_usart.h"
#include "stm32f4xx_adc.h"
#include "stm32f4xx_exti.h"
#include "stm32f4xx_syscfg.h"
#include "stm32f4xx_i2c.h"
#include "misc.h"
#include <stdio.h>
#include <stdlib.h>
#include <string.h>
#include <math.h>
#include <stdarg.h>

//-----
----//
// EEPROM AREA //
#define AX_MODEL_NUMBER_L 0
#define AX_MODEL_NUMBER_H 1
#define AX_VERSION 2
#define AX_ID 3
#define AX_BAUD_RATE 4
#define AX_RETURN_DELAY_TIME 5
#define AX_CW_ANGLE_LIMIT_L 6
#define AX_CW_ANGLE_LIMIT_H 7
#define AX_CCW_ANGLE_LIMIT_L 8
#define AX_CCW_ANGLE_LIMIT_H 9
#define AX_SYSTEM_DATA2 10
#define AX_LIMIT_TEMPERATURE 11
#define AX_DOWN_LIMIT_VOLTAGE 12
#define AX_UP_LIMIT_VOLTAGE 13
#define AX_MAX_TORQUE_L 14
#define AX_MAX_TORQUE_H 15
#define AX_RETURN_LEVEL 16
#define AX_ALARM_LED 17
#define AX_ALARM_SHUTDOWN 18
#define AX_OPERATING_MODE 19
#define AX_DOWN_CALIBRATION_L 20
#define AX_DOWN_CALIBRATION_H 21
#define AX_UP_CALIBRATION_L 22
#define AX_UP_CALIBRATION_H 23

// RAM AREA //
#define AX_TORQUE_ENABLE 24
#define AX_LED 25
#define AX_CW_COMPLIANCE_MARGIN 26
#define AX_CCW_COMPLIANCE_MARGIN 27
#define AX_CW_COMPLIANCE_SLOPE 28
#define AX_CCW_COMPLIANCE_SLOPE 29
#define AX_GOAL_POSITION_L 30
#define AX_GOAL_POSITION_H 31
#define AX_GOAL_SPEED_L 32
#define AX_GOAL_SPEED_H 33
#define AX_TORQUE_LIMIT_L 34
#define AX_TORQUE_LIMIT_H 35
#define AX_PRESENT_POSITION_L 36
#define AX_PRESENT_POSITION_H 37
#define AX_PRESENT_SPEED_L 38
#define AX_PRESENT_SPEED_H 39
#define AX_PRESENT_LOAD_L 40
#define AX_PRESENT_LOAD_H 41
#define AX_PRESENT_VOLTAGE 42
#define AX_PRESENT_TEMPERATURE 43
#define AX_REGISTERED_INSTRUCTION 44
#define AX_PAUSE_TIME 45
#define AX_MOVING 46
#define AX_LOCK 47
#define AX_PUNCH_L 48
#define AX_PUNCH_H 49

// Status Return Levels //
#define AX_RETURN_NONE 0
#define AX_RETURN_READ 1
#define AX_RETURN_ALL 2

// Instruction Set //
#define AX_PING 1
#define AX_READ_DATA 2
#define AX_WRITE_DATA 3
#define AX_REG_WRITE 4
#define AX_ACTION 5
#define AX_RESET 6
#define AX_SYNC_WRITE 131
```

66

```
// Specials //
#define OFF      0
#define ON       1
#define LEFT     0
#define RIGTH    1
#define AX_BYTE_READ      1
#define AX_BYTE_READ_POS   2
#define AX_RESET_LENGTH    2
#define AX_ACTION_LENGTH   2
#define AX_ID_LENGTH        4
#define AX_LR_LENGTH        4
#define AX_SRL_LENGTH       4
#define AX_RDT_LENGTH       4
#define AX_LEDALARM_LENGTH  4
#define AX_SALARM_LENGTH    4
#define AX_TL_LENGTH        4
#define AX_VL_LENGTH        6
#define AX_CM_LENGTH        6
#define AX_CS_LENGTH        5
#define AX_CCW_CW_LENGTH    8
#define AX_BD_LENGTH        4
#define AX_TEM_LENGTH       4
#define AX_MOVING_LENGTH   4
#define AX_RWS_LENGTH       4
#define AX_VOLT_LENGTH      4
#define AX_LED_LENGTH        4
#define AX_TORQUE_LENGTH    4
#define AX_POS_LENGTH       4
#define AX_GOAL_LENGTH      5
#define AX_MT_LENGTH        5
#define AX_PUNCH_LENGTH     5
#define AX_SPEED_LENGTH     5
#define AX_GOAL_SP_LENGTH   7
#define AX_ACTION_CHECKSUM  250
#define BROADCAST_ID        254
#define AX_START             255
#define AX_CCW_AL_L          255
#define AX_CCW_AL_H           3
#define TIME_OUT              10
#define TX_DELAY_TIME        400
#define Tx_MODE               1
#define Rx_MODE               0
#define LOCK                 1
#define sendData(args) (Serial3.write(args))
#define availableData() (Serial3.available())
#define readData() (Serial3.read())
#define peekData() (Serial3.peek())
#define beginCom(args) (Serial3.begin(args))
#define endCom() (Serial3.end())
#include <inttypes.h>
unsigned char Checksum;
unsigned char Direction_Pin;
unsigned char Time_Counter;
unsigned char Incoming_Byt;
unsigned char Position_High_Byt;
unsigned char Position_Low_Byt;
unsigned char Speed_High_Byt;
unsigned char Speed_Low_Byt;
unsigned char Load_High_Byt;
unsigned char Load_Low_Byt;
int Moving_Byt;
int RWS_Byt;
int Speed_Long_Byt;
int Load_Long_Byt;
int Position_Long_Byt;
int Temperature_Byt;
int Voltage_Byt;
int Error_Byt;
void init();
//-----
int Dynamixel_moveSpeed(unsigned char ID, int Position, int Speed);
void konfigurasipindynamixel(void);
//-----
TIM_ICInitTypeDef
  TIM_ICInitStructure;
TIM_TimeBaseInitTypeDef
  TIM_TimeBaseStructure;
TIM_OCInitTypeDef
  TIM_OCInitStructure;
void konfigurasitimer4(void);
void motor1(int speedm1);
void motor2(int speedm2);
void stop();
void jalanlurus();
void putarkanan();
void putarkiri();
//-----
void usart1(uint32_t baudrate);
void usart2(uint32_t baudrate);
void usart6(uint32_t baudrate);
void USART6_send(int c);
void USART2_send(int c);
void USART2_sendString(char *ptr, int end_cmd);
int USART6_receiveString(char *ptr);
void cetak (USART_TypeDef* USARTx, const
char *pFormat, ... );
void USART1_IRQHandler(void);
```

```
void USART2_IRQHandler(void);
//-----
----//
static __IO uint32_t sysTickCounter;
void SysTick_Init(void);
void TimeTick_Decrement(void);
void delay_us(u32 n);
void delay_1ms(void);
void delay_ms(u32 n);
//-----
----//
#define P_0      GPIO_Pin_0
#define P_1      GPIO_Pin_1
#define P_2      GPIO_Pin_2
#define P_3      GPIO_Pin_3
#define P_4      GPIO_Pin_4
#define P_5      GPIO_Pin_5
#define P_6      GPIO_Pin_6
#define P_7      GPIO_Pin_7
#define P_8      GPIO_Pin_8
#define P_9      GPIO_Pin_9
#define P_10     GPIO_Pin_10
#define P_11     GPIO_Pin_11
#define P_12     GPIO_Pin_12
#define P_13     GPIO_Pin_13
#define P_14     GPIO_Pin_14
#define P_15     GPIO_Pin_15
#define On       0x01
#define Off      0x02
#define TO        0x04
#define SYSTICK_RELOAD_VAL 0xA80000
#define SYSTICK_DIV(x) ((x*0x0186)>>16)
GPIO_TypeDef* GPIO;
GPIO_InitTypeDef GPIO_InitTypeDef;
GPIO_InitTypeDef GPIO_InitStructure;
static __IO uint32_t          TimmingDelay;
unsigned int                 Tick;
uint32_t                     mlls;
uint32_t                     mcrs;
uint32_t                     Count;
void init_IO(uint32_t RCC_AHB1Periph_GPIO,
             uint16_t Pin, GPIOMode_TypeDef
             GPIO_Mode,GPIOOTType_TypeDef
             GPIO_OType,GPIOPuPd_TypeDef
             GPIO_PuPd );
void Pin(GPIO_TypeDef* GPIO,uint8_t Stat,
         uint16_t Pin);
uint8_t Pin_In(GPIO_TypeDef* GPIO, uint16_t
Pin);
uint8_t Pin_Out(GPIO_TypeDef* GPIO, uint16_t
Pin);
//-----
----//
void trackball();
void dataolahrawcam();
void searchballrotate();
int cam_check=0,cam_pros=0,cam_end; //interrupt
usart 1
```

```
int datausart2; //interrupt usart 2
//-----
----//
int main(void)
{
    init();
    while(1)
    {
        //*****Check Data Yang Dikirim
        Oleh Raspberry Pi*****//
        dataolahrawcam();
        //cetak(USART1,"test");
        //cetak(USART1,"%d\t%d\t%d\r",cam_check,ca
        m_pros,cam_end);
        //cetak(USART2,"%d %d
        %d\n",cam_check,cam_pros,cam_end);
        //*****Check
        motor*****//
        Motor 1
        //motor1(70);
        Pin(GPIOA,On,P_7); //IN1
        Pin(GPIOA,Off,P_6); //IN2
        motor 2
        //motor2(70);
        Pin(GPIOB,On,P_10); //IN3
        Pin(GPIOA,Off,P_8); //IN4
        jalanlurus();
        //putarkiri();
        //putarkan();
        //*****Check servo serial
        dynamixel*****//
        //Dynamixel_moveSpeed(14,1000,1000);
        //delay_ms(1000);
        //Dynamixel_moveSpeed(14,512,1000);
        //delay_ms(1000);
        //Dynamixel_moveSpeed(14,1000,1000);
        //delay_ms(1000);
        //*****Uji
        Bluetooth*****//
        //cetak(USART1,"pengujian jarak
        komunikasi bluetooth HC-05\r");
        //cetak(USART1,"Jarak Maksimum
        Komunikasi Bluetooth HC-05\r");
        //*****Check
        GPIO*****//
        Pin(GPIOA,On,GPIO_Pin_5);
        delay_ms(1000);
```

```
68 // Pin(GPIOA,Off,GPIO_Pin_5);
// delay_ms(1000);

// searchballrotate();
trackball();

}

void trackball()
{
    dataolahrawcam();
    if (cam_pros==800)
    {
        dataolahrawcam();
        if(cam_end > 0)
        {
            dataolahrawcam();
            putarkiri();
        }
        if(cam_end < 0)
        {
            dataolahrawcam();
            putarkanan();
        }
    }
    else
    {
        searchballrotate();
    }
}

void searchballrotate()
{
    dataolahrawcam();
    if (cam_pros==1)//1
    {
        putarkiri();
    }
    else if (cam_pros==2)//2
    {
        stop();
    }
    else if (cam_pros==3)//3
    {
        jalanlurus();
        stop();
    }
    else if (cam_pros==12)//4 //BATAS TENGAH
    {
        jalanlurus();
        stop();
    }
    else if (cam_pros==12)//5 //BATAS TENGAH
    {
        // jalnlurus();
        stop();
    }
}
else if (cam_pros==12)//6 //BATAS TENGAH
{
    // jalnlurus();
    stop();
}
else if (cam_pros==12)//7 //BATAS TENGAH
{
    // jalnlurus();
    stop();
}
else if (cam_pros==12)//8 //BATAS TENGAH
{
    // jalnlurus();
    stop();
}
else if (cam_pros==12)//9 //BATAS TENGAH
{
    putarkanan();
}
else if (cam_pros==800)//A
{
    stop();
}

void dataolahrawcam()
{
    if (cam_check==49)//1
    {
        cam_pros=1;
        cam_end=cam_pros;
    }
    else if (cam_check==50)//2
    {
        cam_pros=2;
        cam_end=cam_pros;
    }
    else if (cam_check==51)//3
    {
        cam_pros=3;
        cam_end=cam_pros;
    }
    else if (cam_check==52)//4 //BATAS TENGAH
    {
        cam_pros=12;
        cam_end=cam_pros;
    }
    else if (cam_check==53)//5 //BATAS TENGAH
    {
        cam_pros=12;
        cam_end=cam_pros;
    }
    else if (cam_check==54)//6 //BATAS TENGAH
    {
        cam_pros=12;
```

```

    cam_end=cam_pros;
}
else if (cam_check==55)//7
{
    cam_pros=-1;
    cam_end=cam_pros;
}
else if (cam_check==56)//8
{
    cam_pros=-2;
    cam_end=cam_pros;
}
else if (cam_check==57)//9
{
    cam_pros=-3;
    cam_end=cam_pros;
}
else if (cam_check==67)//C
{
    cam_pros=800;
}
void jalankanan()
{
// lumayan lurus
motor1(60);//75
Pin(GPIOA, Off, GPIO_Pin_6);
Pin(GPIOA, On, GPIO_Pin_7);
motor2(55);
Pin(GPIOA, On, GPIO_Pin_8);
Pin(GPIOB, Off, GPIO_Pin_10);
}

void putarkiri()
{
// putar kiri
motor1(60);
Pin(GPIOA, On, GPIO_Pin_6);
Pin(GPIOA, Off, GPIO_Pin_7);
motor2(60);
Pin(GPIOA, On, GPIO_Pin_8);
Pin(GPIOB, Off, GPIO_Pin_10);
}

void putarkan()
{
// putar kiri
motor1(60);
Pin(GPIOA, Off, GPIO_Pin_6);
Pin(GPIOA, On, GPIO_Pin_7);
motor2(61);
Pin(GPIOA, Off, GPIO_Pin_8);
Pin(GPIOB, On, GPIO_Pin_10);
}

void stop()
{
// lumayan lurus
motor1(62);//75
Pin(GPIOA, Off, GPIO_Pin_6);
Pin(GPIOA, Off, GPIO_Pin_7);
motor2(62);
Pin(GPIOA, Off, GPIO_Pin_8);
Pin(GPIOB, Off, GPIO_Pin_10);
}
void motor1(int speedm1)
{
int kecMOTOne;
kecMOTOne = (uint16_t) ((speedm1 * (279 - 1)) / 100);
TIM4->CCR1 = kecMOTOne;
}
void motor2(int speedm2)
{
int kecMOTTwo;
kecMOTTtwo = (uint16_t) ((speedm2 * (279 - 1)) / 100);
TIM4->CCR4 = kecMOTTtwo;
}
void konfigurasitimer4(void)
{
//clock enable
RCC_APB1PeriphClockCmd(RCC_APB1Periph_IM4, ENABLE);

RCC_AHB1PeriphClockCmd(RCC_AHB1Periph_GPIOB, ENABLE);

//GPIO_TIM_init
GPIO_InitStructure.GPIO_Pin = P_6|P_7|P_8|P_9;
GPIO_InitStructure.GPIO_Mode = GPIO_Mode_AF;
GPIO_InitStructure.GPIO_Speed = GPIO_Speed_100MHz;
GPIO_InitStructure.GPIO_OType = GPIO_OType_PP;
GPIO_InitStructure.GPIO_PuPd = GPIO_PuPd_NOPULL;
GPIO_Init(GPIOB, &GPIO_InitStructure);
GPIO_PinAFConfig(GPIOB,
GPIO_PinSource6, GPIO_AF_TIM4);
GPIO_PinAFConfig(GPIOB,
GPIO_PinSource7, GPIO_AF_TIM4);
GPIO_PinAFConfig(GPIOB,
GPIO_PinSource8, GPIO_AF_TIM4);
}

```

```
70 // TIM_OCInitStructure.TIM_Pulse = 0;  
//ditambah  
TIM_OC4Init(TIM4, &TIM_OCInitStructure);  
TIM_OC4PreloadConfig(TIM4,  
TIM_OCPreload_Enable);  
TIM_OCInitStructure.TIM_OutputState =  
TIM_OutputState_Enable;  
TIM_OCInitStructure.TIM_Pulse = 0;  
//timer enable  
TIM_Cmd(TIM4, ENABLE);  
TIM_CtrlPWMOutputs(TIM4, ENABLE);  
}  
void cetak(USART_TypeDef* USARTx, const char  
*pFormat, ... )  
{  
va_list ap;  
char pStr[100];  
va_start(ap, pFormat);  
vsprintf(pStr, pFormat, ap);  
va_end(ap);  
int i=0;  
int n = strlen(pStr);  
for(i=0;i<n;i++)  
{  
USART_SendData(USARTx, (uint8_t)pStr[i]);  
while (USART_GetFlagStatus(USARTx,  
USART_FLAG_TC) == RESET);  
}  
}  
void USART1_IRQHandler(void)  
{  
if(USART_GetITStatus(USART1,  
USART_IT_RXNE) )  
{  
{  
cam_check = USART1->DR;  
}  
}  
}  
void USART2_IRQHandler(void)  
{  
if(USART_GetITStatus(USART2,  
USART_IT_RXNE) )  
{  
{  
datausart2 = USART2->DR;  
}  
}  
}  
void usart1(uint32_t baudrate)
```

```
USART_InitTypeDef USART_InitStructure;
GPIO_InitTypeDef GPIO_InitStructure;
NVIC_InitTypeDef NVIC_InitStructure;

// mengaktifkan APB2 peripheral clock untuk
USART1
RCC_APB2PeriphClockCmd(RCC_APB2Periph_USART1,ENABLE);
// mengaktifkan APB1 peripheral clock untuk
GPIOA
RCC_AHB1PeriphClockCmd(RCC_AHB1Periph_GPIOA, ENABLE);

// mengkoneksikan pins USART1 ke AF
GPIO_PinAFConfig(GPIOA,
GPIO_PinSource10, GPIO_AF_USART1);
GPIO_PinAFConfig(GPIOA, GPIO_PinSource9,
GPIO_AF_USART1);

// konfigurasi pin USART1 : PA.12 Tx, PA.11
Rx //
GPIO_InitStructure.GPIO_Pin = GPIO_Pin_10 | GPIO_Pin_9;
GPIO_InitStructure.GPIO_Speed = GPIO_Speed_50MHz;
GPIO_InitStructure.GPIO_Mode = GPIO_Mode_AF;
GPIO_InitStructure.GPIO_OType = GPIO_OType_PP;
GPIO_InitStructure.GPIO_PuPd = GPIO_PuPd_UP;
GPIO_Init(GPIOA, &GPIO_InitStructure);

// konfigurasi USART
USART_InitStructureUSART_BaudRate = baudrate;
USART_InitStructureUSART_WordLength = USART_WordLength_8b;
USART_InitStructureUSART_StopBits = USART_StopBits_1;
USART_InitStructureUSART_Parity = USART_Parity_No;

USART_InitStructureUSART_HardwareFlowControl = USART_HardwareFlowControl_None;
USART_InitStructureUSART_Mode = USART_Mode_Rx | USART_Mode_Tx;
USART_Init(USART1, &USART_InitStructure);

//inisialisasi Usart Interupt/
USART_ITConfig(USART1,
USART_IT_RXNE, ENABLE);

// enable the USART1 receive interrupt
NVIC_InitStructure.NVIC_IRQChannel = USART1_IRQn;
// we want to configure the USART3
interrupts
NVIC_InitStructure.NVIC_IRQChannelPreemptionPriority = 0; // this sets the
priority group of the USART3 interrupts
NVIC_InitStructure.NVIC_IRQChannelSubPriority = 1;
// this sets the subpriority inside
the group
NVIC_InitStructure.NVIC_IRQChannelCmd = ENABLE;
// the USART3 interrupts are
globally enabled
NVIC_Init(&NVIC_InitStructure); // the properties
are passed to the NVIC_Init function which takes
care of the low level stuff
///////////////////////
// Enable USART1
USART_Cmd(USART1, ENABLE);
}

void usart2(uint32_t baudrate)
{
    USART_InitTypeDef USART_InitStructure;
    GPIO_InitTypeDef GPIO_InitStructure;
    NVIC_InitTypeDef NVIC_InitStructure;

    // mengaktifkan APB1 peripheral clock untuk
    USART2
    RCC_APB1PeriphClockCmd(RCC_APB1Periph_USART2,ENABLE);
    // mengaktifkan APB1 peripheral clock untuk
    GPIOA
    RCC_AHB1PeriphClockCmd(RCC_AHB1Periph_GPIOA, ENABLE);

    // mengkoneksikan pin USART2 ke AF
    GPIO_PinAFConfig(GPIOA, GPIO_PinSource2,
GPIO_AF_USART2);
    GPIO_PinAFConfig(GPIOA, GPIO_PinSource3,
GPIO_AF_USART2);

    // konfigurasi pin USART2 : PA.2 Tx, PA.3 Rx
    GPIO_InitStructure.GPIO_Pin = GPIO_Pin_2 | GPIO_Pin_3;
```

```
GPIO_InitStructure.GPIO_Speed =  
GPIO_Speed_50MHz;  
GPIO_InitStructure.GPIO_Mode =  
GPIO_Mode_AF;  
GPIO_InitStructure.GPIO_OType =  
GPIO_OType_PP;  
GPIO_InitStructure.GPIO_PuPd =  
GPIO_PuPd_UP;  
GPIO_Init(GPIOA, &GPIO_InitStructure);  
  
// konfigurasi USART  
USART_InitStructureUSART_BaudRate  
= baudrate;  
USART_InitStructureUSART_WordLength  
= USART_WordLength_8b;  
USART_InitStructureUSART_StopBits  
= USART_StopBits_1;  
USART_InitStructureUSART_Parity  
= USART_Parity_No;  
  
USART_InitStructureUSART_HardwareFlowControl  
= USART_HardwareFlowControl_None;  
USART_InitStructureUSART_Mode  
= USART_Mode_Rx | USART_Mode_Tx;  
USART_Init(USART2, &USART_InitStructure);  
  
//inisialisasi Usart Interupt//  
USART_ITConfig(USART2,  
USART_IT_RXNE, ENABLE);  
// enable the USART1 receive interrupt  
  
NVIC_InitStructure.NVIC_IRQChannel  
= USART2 IRQn; // we want to configure  
the USART3 interrupts  
  
NVIC_InitStructure.NVIC_IRQChannelPreemptionPriority  
= 0; // this sets the priority  
group of the USART3 interrupts  
  
NVIC_InitStructure.NVIC_IRQChannelSubPriority  
= 1; // this sets the subpriority inside  
the group  
NVIC_InitStructure.NVIC_IRQChannelCmd  
= ENABLE; // the USART3 interrupts  
are globally enabled  
NVIC_Init(&NVIC_InitStructure);  
// the properties are passed to the NVIC_Init  
function which takes care of the low level stuff  
/////////////////////////////  
  
// Enable USART2  
USART_Cmd(USART2, ENABLE);  
}  
void usart6(uint32_t baudrate)  
{  
USART_InitStructureUSART_BaudRate  
= baudrate;  
USART_InitStructureUSART_WordLength  
= USART_WordLength_8b;  
USART_InitStructureUSART_StopBits  
= USART_StopBits_1;  
USART_InitStructureUSART_Parity  
= USART_Parity_No;  
USART_InitStructureUSART_HardwareFlowControl  
= USART_HardwareFlowControl_None;  
USART_InitStructureUSART_Mode  
= USART_Mode_Rx | USART_Mode_Tx;  
USART_Init(USART6,  
&USART_InitStructure);  
  
//inisialisasi Usart Interupt//  
USART_ITConfig(USART6,  
USART_IT_RXNE, ENABLE);  
  
// enable the USART1 receive interrupt  
NVIC_InitStructure.NVIC_IRQChannel  
= USART6 IRQn;
```

```
// we want to configure the USART3
interrupts
    NVIC_InitStructure.NVIC IRQChannelPreemptPriority = 0;
                    // this sets the priority group of
the USART3 interrupts
    NVIC_InitStructure.NVIC IRQChannelSubPriority = 1;
                    // this sets the subpriority inside
the group
    NVIC_InitStructure.NVIC IRQChannelCmd = ENABLE;
                    // the USART3 interrupts are globally
enabled
    NVIC_Init(&NVIC_InitStructure);

    // the properties are passed to the NVIC_Init
function which takes care of the low level stuff
    //////////////////////

    // Enable USART6
    USART_Cmd(USART6, ENABLE);

} // Send USART6
void USART6_send(int c)
{
    while(USART_GetFlagStatus(USART6,
    USART_FLAG_TXE) == RESET); // Wait empty
    USART_SendData(USART6, c); // Send char
}
// Send USART
void USART2_send(int c)
{
    while (USART_GetFlagStatus(USART2,
    USART_FLAG_TXE) == RESET); // Wait empty
    USART_SendData(USART2, c); // Send char
}

// Send string data
void USART2_sendString(char *ptr, int end_cmd)
{
    while (*ptr != 0)
    {
        USART2_send(*ptr);
        ptr++;
    }
    if (end_cmd == 0)
    {
        USART2_send(0x0A); // send LineFeed
        USART2_send(0x0D); // send CariageReturn
    }
    else if (end_cmd == 1)
    {

```

```
        USART2_send(0x0D); // send CariageReturn
        USART2_send(0x0A); // send LineFeed
    }
    else if (end_cmd == 2)
    {
        USART2_send(0x0A); // send LineFeed
    }
    else if (end_cmd == 3)
    {
        USART2_send(0x0D); // send CariageReturn
    }
}

void SysTick_Init(void)
{
    // ****
    *SystemFrequency = 84Mhz
    *SystemFrequency/1000   1ms
    *SystemFrequency/100000  10us
    *SystemFrequency/1000000 1us
    ****

    while (SysTick_Config(SystemCoreClock /
1000000) != 0)
    }

void SysTick_Handler(void)
{
    TimeTick_Decrement();
}

void TimeTick_Decrement(void)
{
    if (sysTickCounter != 0x00) {
        sysTickCounter--;
    }
}

void delay_us(u32 n)
{
    sysTickCounter = n;
    while (sysTickCounter != 0 ) {
    }
}

void delay_1ms(void)
{
    sysTickCounter = 1000;
    while (sysTickCounter != 0 ) {
    }
}

void delay_ms(u32 n)
{
    while (n--) {
        delay_1ms();
    }
}

void init_IO(uint32_t RCC_AHB1Periph_GPIO,
uint16_t Pin, GPIOMode_TypeDef
GPIO_Mode,GPIOOTType_TypeDef
GPIO_OType,
GPIOPuPd_TypeDef
GPIO_PuPd )
{
}
```

```
RCC_AHB1PeriphClockCmd(RCC_AHB1Peri
ph_GPIO, ENABLE);
switch(RCC_AHB1Periph_GPIO){
    case ((uint32_t)0x00000001) : GPIO =
GPIOA; break;
    case ((uint32_t)0x00000002) : GPIO =
GPIOB; break;
    case ((uint32_t)0x00000004) : GPIO =
GPIOC; break;
    case ((uint32_t)0x00000008) : GPIO =
GPIOD; break;
    case ((uint32_t)0x00000010) : GPIO =
GPIOE; break;
    case ((uint32_t)0x00000020) : GPIO =
GPIOF; break;
}
GPIO_InitStructure.GPIO_Pin = Pin;
GPIO_InitStructure.GPIO_Mode =
GPIO_Mode;
GPIO_InitStructure.GPIO_OType =
GPIO_OType;
GPIO_InitStructure.GPIO_Speed =
GPIO_Speed_100MHz;
GPIO_InitStructure.GPIO_PuPd = GPIO_PuPd;
GPIO_Init(GPIO, &GPIO_InitStructure);
}
void Pin(GPIO_TypeDef* GPIO,uint8_t Stat,
uint16_t Pin){
switch(Stat){
    case 0x01 : GPIO->BSRRL = Pin; break;
    case 0x02 : GPIO->BSRRH = Pin; break;
    case 0x04 : GPIO->ODR ^= Pin; break;
}
uint8_t Pin_In(GPIO_TypeDef* GPIO, uint16_t
Pin){
    uint8_t bit = 0;
    if((GPIO->IDR & Pin) != 0) bit = 1;
    else bit = 0;
    return bit;
}
uint8_t Pin_Out(GPIO_TypeDef* GPIO, uint16_t
Pin){
    uint8_t bit = 0;
    if((GPIO->ODR & Pin) != 0) bit = 1;
    else bit = 0;
    return bit;
}
int Dynamixel_moveSpeed(unsigned char ID, int
Position, int Speed)
{
    char Position_H,Position_L,Speed_H,Speed_L;
    Position_H = Position >> 8;
    Position_L = Position; // 16 bits - 2 x 8
    bits variables
```

```
    Speed_H = Speed >> 8;
    Speed_L = Speed; // 16 bits - 2 x 8
    bits variables
    Checksum = (~(ID + AX_GOAL_SP_LENGTH
+ AX_WRITE_DATA +
AX_GOAL_POSITION_L + Position_L +
Position_H + Speed_L + Speed_H))&0xFF;
    GPIO_SetBits(GPIOA, GPIO_Pin_0);
    USART6_send(AX_START); // Send
    Instructions over Serial
    USART6_send(AX_START);
    USART6_send(ID);
    USART6_send(AX_GOAL_SP_LENGTH);
    USART6_send(AX_WRITE_DATA);
    USART6_send(AX_GOAL_POSITION_L);
    USART6_send(Position_L);
    USART6_send(Position_H);
    USART6_send(Speed_L);
    USART6_send(Speed_H);
    USART6_send(Checksum);
    delay_ms(TX_DELAY_TIME);
    GPIO_ResetBits(GPIOA, GPIO_Pin_0);
    return -1 ;
}
void konfigurasipindynamixel(void)
{
    GPIO_InitTypeDef GPIO_InitStructure;
    RCC_AHB1PeriphClockCmd(RCC_AHB1Periph_
GPIOA, ENABLE);
    GPIO_InitStructure.GPIO_Pin = GPIO_Pin_0;
    GPIO_InitStructure.GPIO_Mode =
GPIO_Mode_OUT;
    GPIO_InitStructure.GPIO_Speed =
GPIO_Speed_50MHz;
    GPIO_Init(GPIOA, &GPIO_InitStructure);
}
void init()
{
    //Inisialisasi untuk delay
    SystemInit();
    SysTick_Init();
    //Inisialisasi Usart
    usart1(9600);
    usart2(9600);
    usart6(9600);
    //Inisialisasi pin led
```

```
init_IO(RCC_AHB1Periph_GPIOA,  
GPIO_Pin_5, GPIO_Mode_OUT,  
GPIO_OType_PP, GPIO_PuPd_NOPULL );//led  
    //inisialisasi pin direction motor 1  
    init_IO(RCC_AHB1Periph_GPIOA,  
GPIO_Pin_6, GPIO_Mode_OUT,  
GPIO_OType_PP, GPIO_PuPd_NOPULL );//IN2  
    init_IO(RCC_AHB1Periph_GPIOA,  
GPIO_Pin_7, GPIO_Mode_OUT,  
GPIO_OType_PP, GPIO_PuPd_NOPULL );//IN1  
    //inisialisasi pin direction motor 2  
    init_IO(RCC_AHB1Periph_GPIOA,  
GPIO_Pin_8, GPIO_Mode_OUT,  
GPIO_OType_PP, GPIO_PuPd_NOPULL );//IN4  
    init_IO(RCC_AHB1Periph_GPIOB,  
GPIO_Pin_10,GPIO_Mode_OUT,  
GPIO_OType_PP, GPIO_PuPd_NOPULL );//IN3  
    //Inisialisasi timer  
konfigurasitimer4();  
    // Inisialisasi pin Dynamixel  
konfigurasipindynamixel();
```

## 2. Listing Program Raspberry Pi

```
#include "opencv2/highgui/highgui.hpp"
#include "opencv2/imgproc/imgproc.hpp"
#include <iostream>
#include <stdlib.h>
#include <stdio.h>
#include <fcntl.h>
#include <sys/time.h>
#include <cv.h>
#include <termios.h>
#include <unistd.h>
#include <sstream>
#include <string>
#include <vector>
#include <highgui.h>
#include <time.h>
#include "serial_test.h"

using namespace cv;
using namespace std;

//Parameter HSV awal
int H_MIN;
int H_MAX;
int S_MIN;
int S_MAX;
int V_MIN;
int V_MAX;

//Variabel Mouse Dan Roi
```

bool modekalibrasi;

bool mouseditrag;

bool mousebergerak;

bool kotakseleksi;

cv::Point koordinatawalklikmouse,

posisiterbarukoordinatklikmouse;

cv::Rect kotakROI;

vector<int> HB\_ROI, SB\_ROI, VB\_ROI;

//Variabel window yang akan ditampilkan

const string namaTrackbarwindow = "Trackbar";

const string namaWindoworiginal = "Gambar Original";

const string namaWindowHSV = "Gambar HSV";

const string namaWindowHSVROI = "HSVROI";

// konstanta alamat PORT Usart.

static const char\* portName = "/dev/ttySAC0";

char dataIn = 0;

//fungsi klik dan drag kotak

void klikdandragkotak(int event, int x, int y, int flags, void\* param)

{

if (modekalibrasi == true)

{

Mat\* videoFeed = (Mat\*)param;

if (event == CV\_EVENT\_LBUTTONDOWN

&& mouseditrag == false)

```
76 }  
    {  
        koordinatawalklikmouse = cv::Point(x, y);  
        mousedidrag = true;  
    }  
    if (event == CV_EVENT_MOUSEMOVE &&  
mousedidrag == true)  
    {  
        posisiterbarukoordinatklikmouse =  
cv::Point(x, y);  
        mousebergerak = true;  
    }  
    if (event == CV_EVENT_LBUTTONDOWN &&  
mousedidrag == true)  
    {  
        kotakROI =  
Rect(koordinatawalklikmouse,  
posisiterbarukoordinatklikmouse);  
        mousedidrag = false;  
        mousebergerak = false;  
        kotakseleksi = true;  
    }  
    if (event == CV_EVENT_RBUTTONDOWN)  
    {  
        H_MIN = 0;  
        S_MIN = 0;  
        V_MIN = 0;  
        H_MAX = 255;  
        S_MAX = 255;  
        V_MAX = 255;  
    }  
    if (event == CV_EVENT_MBUTTONDOWN)  
    {  
        //Tidak melakukan apa - apa  
    }  
}  
//fungsi simpan nilai HSV  
void simpannilaiHSV(cv::Mat frame, cv::Mat  
hsv_frame)  
{  
    //jika mouse sudah tidak bergerak dan kotak  
telah terseleksi  
    if (mousebergerak == false && kotakseleksi ==  
true)  
    {  
        if (HB_ROI.size()>0) HB_ROI.clear();  
        if (SB_ROI.size()>0) SB_ROI.clear();  
        if (VB_ROI.size()>0 )VB_ROI.clear();  
        if (kotakROI.width<1 ||  
kotakROI.height<1) cout << "drag bentuk kotak  
jangan garis" << endl;  
        else  
        {  
            for (int i = kotakROI.x;  
i<kotakROI.x + kotakROI.width; i++) {  
                for (int j = kotakROI.y;  
j<kotakROI.y + kotakROI.height; j++) {  
                    HB_ROI.push_back((int)hsv_frame.at<cv::Vec3  
b>(j, i)[0]);  
                    SB_ROI.push_back((int)hsv_frame.at<cv::Vec3  
b>(j, i)[1]);  
                    VB_ROI.push_back((int)hsv_frame.at<cv::Vec3  
b>(j, i)[2]);  
                }  
            }  
            kotakseleksi = false;  
            //Tampilkan nilai - nilai parameter HSV di  
terminal  
            if (HB_ROI.size()>0)  
            {  
                H_MIN =  
*std::min_element(HB_ROI.begin(),  
HB_ROI.end());  
                H_MAX =  
*std::max_element(HB_ROI.begin(),  
HB_ROI.end());  
                //cout << "MIN 'H' Nilai: " <<  
H_MIN << endl;  
                //cout << "MAX 'H' Nilai: " <<  
H_MAX << endl;  
            }  
            if (SB_ROI.size()>0)  
            {  
                S_MIN =  
*std::min_element(SB_ROI.begin(),  
SB_ROI.end());  
                S_MAX =  
*std::max_element(SB_ROI.begin(),  
SB_ROI.end());  
                //cout << "MIN 'S' Nilai: " <<  
S_MIN << endl;  
                //cout << "MAX 'S' Nilai: " <<  
S_MAX << endl;  
            }  
            if (VB_ROI.size()>0)  
            {  
                V_MIN =  
*std::min_element(VB_ROI.begin(),  
VB_ROI.end());  
                V_MAX =  
*std::max_element(VB_ROI.begin(),  
VB_ROI.end());  
            }  
        }  
    }  
}
```



```
//cout << "MIN 'V' Nilai: " <<  
V_MIN << endl;  
//cout << "MAX 'V' Nilai: " <<  
V_MAX << endl;  
}  
  
if (mousebergerak == true)  
{  
    rectangle(frame, koordinatawalklikmouse,  
cv::Point(positerbarukoordinatklikmouse.x,  
positerbarukoordinatklikmouse.y), cv::Scalar(255,  
255, 255), 1, 8, 0);  
  
    //Menampilkan window ROI yang  
dipotong  
    Mat roi =  
frame(Rect(koordinatawalklikmouse,  
positerbarukoordinatklikmouse));  
    namedWindow("ROI",  
WINDOW_AUTOSIZE);  
    imshow("ROI", roi);  
}  
  
int main(int argc, char* argv[]){  
//*****Konfigurasi  
Usart*****  
    char path[256];  
    for (int i = 0; i<=1; i++)  
    {  
        // reset variabel path  
        memset(path,0,sizeof(path));  
  
        // menggabung variabel path dengan pin mode  
sementara dari file  
        sprintf(path, "%s%s%d",  
GPIO_MODE_PATH, GPIO_FILENAME, i);  
  
        // membuat file descriptor  
        int pinMode = open(path, O_RDWR);  
  
        // atur set pin mode menjadi serial  
        setPinMode(pinMode, SERIAL);  
  
        // menutup pinmode  
        close(pinMode);  
    }  
  
    // varibel untuk Port serial  
    int serialPort;  
  
    //struct untuk menahan settingan port  
    struct termios portOptions;  
  
    // Membuka serial port sebagai read.write,  
    bukan sebagai controlling terminal dan  
    // tidak memblok CPU karena terlalu lama untuk  
    membuka port serial  
    serialPort = open(portName, O_RDWR |  
O_NOCTTY | O_NDELAY );  
  
    // Mengambil settingan port saat ini  
    tcgetattr(serialPort, &portOptions);  
  
    // Flush port buffers (in dan out) sebelum mulai  
    menggunakan  
    tcflush(serialPort, TCIOFLUSH);  
  
    // Atur baudrates input output  
    cfsetispeed(&portOptions, B9600);  
    cfsetspeed(&portOptions, B9600);  
  
    // Atur c_flag dari port agar menahan settingan  
    dari data bits, parity, stop bits  
    // Dan flow kontrol hardware  
    portOptions.c_cflag |= CLOCAL;  
    portOptions.c_cflag |= CREAD;  
  
    // atur informasi frame  
    portOptions.c_cflag &= ~CSIZE; // info  
ukuran frame diclear  
    portOptions.c_cflag |= CS8; // atur 8 bit  
frames  
    portOptions.c_cflag &= ~PARENB; // no parity  
    portOptions.c_cflag &= ~CSTOPB; // satu stop  
bit  
  
    // panggil kembali ke system  
    tcsetattr(serialPort, TCSANOW,  
&portOptions);  
  
    // Flush buffer satu kali lagi.  
    tcflush(serialPort, TCIOFLUSH);  
  
    FILE* serial = fopen("/dev/ttySAC0",  
"w");  
    if (serial == 0)  
    {  
        printf("Failed to open serial port\n");  
    }  
    sleep(1);
```

```

*****//deklarasi gambar sebenarnya
Mat imgOriginalB;
*****//capture gambar video secara real-time pada
webcam melalui port 0 raspberry
VideoCapture cap(0);
if ( !cap.isOpened() ) // jika tidak berhasil
program tidak dijalankan
{
    cout << "Tidak bisa membuka port webcam"
<< endl;
    return -1;
}
*****//Pen
gujian FPS
*****/*
// Deklarasi FPS
double fps = cap.get(CV_CAP_PROP_FPS);

// banyak frame yang diambil
int num_frames = 20;

// mulai dan stop waktu
time_t start, end;
cout << "Mengcapture " << num_frames <<
" frame" << endl;

// Mulai waktu
time(&start);

// Ambil frame
for(int i = 0; i < num_frames; i++)
{
    cap >> imgOriginalB;
}

// Waktu berhenti
time(&end);

// Waktu yang berlalu
double seconds = difftime (end, start);
cout << "Waktu Yang Dibutuhkan : " << seconds
<< " detik" << endl;

// Calculate frames per second
fps = num_frames / seconds;
cout << "Estimasi frame per detik : " << fps
endl;
*/
*****//atur x,y frame (480,320)
cap.set(CV_CAP_PROP_FRAME_WIDTH,
640); //425
cap.set(CV_CAP_PROP_FRAME_HEIGHT,
480); //233
*****//deklarasi variabel akhir dari nilai frame x,y
int iLastXB = 0;
int iLastYB = 0;
*****//deklarasi nama window
cv::namedWindow(namaWindoworiginal);
*****//aktifkan mode kalibrasi
modekalibrasi = true;
*****//aktifkan seleksi kotak menggunakan mouse p
gambar sebenarnya
cv::setMouseCallback(namaWindoworiginal,
klikdandragkotak, &imgOriginalB);
*****//kondisi awal di non aktifkan
mousedidrag = false;
mousebergerak = false;
kotakseleksi = false;
*****//Capture gambar sementara dari kamera
Mat imgTmpB;
cap.read(imgTmpB);

while (true)
{
    //Ambil frame baru
    bool bSuccessB = cap.read(imgOriginalB);
    //deklarasi HSV Bola
    Mat imgHSVB;
    //konversi RGB ke HSV
    cvtColor(imgOriginalB, imgHSV,
COLOR_BGR2HSV);
    //Ambil nilai HSV ROI
    simpannilaiHSV(imgOriginalB, imgHSV);
    //deklarasi threshold BOLA
}

```

```
Mat imgThresholdedB;  
    //Isi nilai HSV bola berdasarkan range hasil  
ambil HSV ROI dan buat threshold  
    inRange(imgHSVb, Scalar(H_MIN, S_MIN,  
V_MIN), Scalar(H_MAX, S_MAX, V_MAX),  
imgThresholdedB);  
  
    //morphological opening (menghapus obyek -  
obyek kecil pada foreground)  
    erode(imgThresholdedB, imgThresholdedB,  
getStructuringElement(MORPH_ELLIPSE, Size(5,  
5));  
    dilate( imgThresholdedB, imgThresholdedB,  
getStructuringElement(MORPH_ELLIPSE, Size(5,  
5));  
  
    //morphological closing (menghapus lubang -  
lubang kecil pada foreground)  
    dilate( imgThresholdedB, imgThresholdedB,  
getStructuringElement(MORPH_ELLIPSE, Size(5,  
5));  
    erode(imgThresholdedB, imgThresholdedB,  
getStructuringElement(MORPH_ELLIPSE, Size(5,  
5));  
  
    //deklarasi moment threshold  
    Moments oMomentsB =  
moments(imgThresholdedB);  
  
    double dM01B = oMomentsB.m01;  
    double dM10B = oMomentsB.m10;  
    double dAreaB = oMomentsB.m00;  
  
    //Variabel penanda gambar hasil deteksi  
    Mat hasildeteksi = Mat::zeros( imgTmpB.size(),  
CV_8UC3 );  
  
    if( dAreaB>10000 )  
    {  
  
        //Variabel baru untuk memperoleh nilai frame  
x,y berdasarkan moment threshold  
        int posXB = dM10B / dAreaB;  
        int posYB = dM01B / dAreaB;  
  
        //Update variabel lama frame x,y dengan  
variabel baru  
        iLastXB = posXB;  
        iLastYB = posYB;  
  
        if (iLastXB > 0 && iLastYB > 0)  
        {  
            //Menggambar lingkaran sebagai penanda  
hasil deteksi  
            //circle(hasildeteksi, Point(iLastXB,  
iLastYB), 10, Scalar(0, 0, 0), 2);  
            circle(hasildeteksi, Point(iLastXB,  
iLastYB), 10, Scalar(255, 255, 0), 2);  
        }  
    }  
    //circle(hasildeteksi, Point(iLastXB,  
iLastYB), 10, Scalar(0, 0, 0), 2);  
    circle(hasildeteksi, Point(iLastXB,  
iLastYB), 10, Scalar(255, 255, 0), 2);  
}  
}*****Cetak Data X dan  
Y*****  
printf("posXB = %d posyB = %d\n", iLastXB,  
iLastYB);  
*****kirim data 3*****  
Kondisi*****  
//Kondisi 1  
if((iLastXB>=1&&iLastXB<=64)&&(iLastYB  
=1&& iLastYB<=480))  
{  
    write(serialPort, "1", 1);  
}  
else if((iLastXB>=65&&  
iLastXB<=130)&&(iLastYB>=1&&  
iLastYB<=480))  
{  
    write(serialPort, "2",1);  
}  
else  
if((iLastXB>=131&&iLastXB<=195)&&(iLastYB  
>=1&& iLastYB<=480))  
{  
    write(serialPort, "3",1);  
}  
else  
if((iLastXB>=196&&iLastXB<=260)&&(iLastYB  
>=1&& iLastYB<=480))  
{  
    write(serialPort, "4", 1);  
}  
else if((iLastXB>=261&&  
iLastXB<=325)&&(iLastYB>=1&&  
iLastYB<=480))  
{  
    write(serialPort, "5",1);  
}  
else  
if((iLastXB>=326&&iLastXB<=390)&&(iLastYB  
>=1&& iLastYB<=480))  
{  
    write(serialPort, "6",1);  
}  
else  
if((iLastXB>=391&&iLastXB<=455)&&(iLastYB  
>=1&& iLastYB<=480))  
{  
    write(serialPort, "7", 1);  
}
```

```
80
    else if((iLastXB>=456&&
iLastXB<=520)&&(iLastYB>=1&&
iLastYB<=480))
    {
        write(serialPort, "8",1);
    }
    else
if((iLastXB>=521&&iLastXB<=640)&&(iLastYB
>=1&& iLastYB<=480))
{
    write(serialPort, "9",1);
}
else
{
//Bukan Kondisi 1,2, dan 3
iLastXB = 0;
iLastYB = 0;
printf("posxB = %d posyB = %d\n", iLastXB,
iLastYB);
write(serialPort, "A",1);
}

//Menampilkan gambar penanda hasil deteksi
pada gambar original
imgOriginalB = imgOriginalB + hasildeteksi;

//Tampilkan window threshold
imshow("Gambar threshold",
imgThresholdedB);

//Tampilkan window gambar original
```

## 1. Datasheet Mikrokontroler Utama STM32F401RE

# **LAMPIRAN 4**

---

## **DATASHEET**

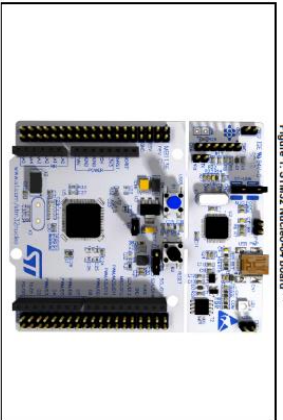


Figure 1. STM32 Nucleo-64 board (1)

November 2015 DocID:229833 Rev.10

Convention	Definition
Jumper J#1 ON	Jumpers filled
Jumper J#1 OFF	Jumpers not filled
Solder bridge SBx ON	SBx connections closed by solder or 0 ohm resistor
Solder bridge SBx OFF	SBx connection left open

Table 2 provides the conventions used for the ON and OFF settings in the present document.

**UM1724**  
**User manual**  
STM32 Nucleo-64 boards  
[[REDACTED]]

SIM32 Nucleo-64 boards

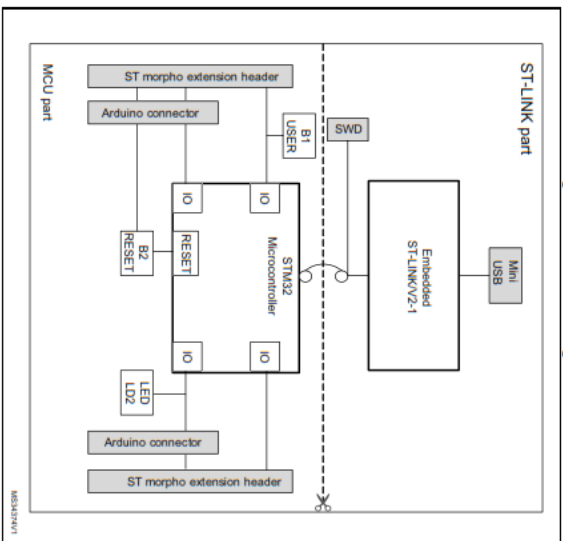


Figure 2 Hardware block diagram

Hawaiian layout and configuration 6

Harmful layout and communication

The STM32 Nucleo board is designed around the STM32 microcontrollers in a 64-pin LOFF package.

**Figure 2** shows the connections between the STM32 and its peripherals (ST-LINK/V2-1).

The power supply is provided either by the host PC

The power supply is provided either by the host PC or

## Power supply input from the USB connector

Table 5. JP1 configuration table		
Jumper state	Power supply	Allowed current
JP1 jumper OFF	USB power through CN1	300 mA, max
JP1 jumper ON		100 mA, max

Table 5. JP1 configuration table

**Warning:** If the maximum current consumption of the NUCLEO and its extension boards exceeds 300 mA, it is mandatory to power the NUCLEO using an external power supply connected to E5V or VIN.

Note:  
In case the board is powered by an USB charger, there is no USB enumeration, so the led C3D remains set to OFF permanently and the target MCU is not powered. In this specific case the jumper JF1 needs to be set to ON, to allow target MCU to be powered anyway.

1200

DocIDU23833 Rev 10

11

5

DocID025833 Rev 10

BIG 1

VIN or E5V can be used as external power supply in case the current consumption of NUCLEO and extensions boards exceeds the allowed current on USB. In this condition it is still possible to use the USB for communication, for programming or debugging only, but it is mandatory to power supply the board first using VIN or E5V then connect the USB cable to the PC. Proceeding this way ensures that the enumeration occurs thanks to the external power source.

Table 7. Power-related jumpers

Jumper	Description
JP5	<p>[USV (ST-LINK, VBUS)] is used as power source when JP5 is set as shown below [default setting]</p>  <p>JP5</p> <p>USV or ESV is used as power source when JP5 is set as shown below.</p>

Hardware layout and configuration	UM1124
<p><b>6.3.2 External power supply inputs: VIN and E5V</b></p> <p>The external power sources, VIN and E5V are summarised in the <i>Table 6</i>. When the board is powered supplied by VIN or E5V, the jumpers configuration must be the following:</p> <ul style="list-style-type: none"> <li>• Jumper on JP5 pin 2 and pin 3</li> <li>• Jumper removed on JP1</li> </ul>	

6.3.2

### External power supply inputs: VIN and E5W

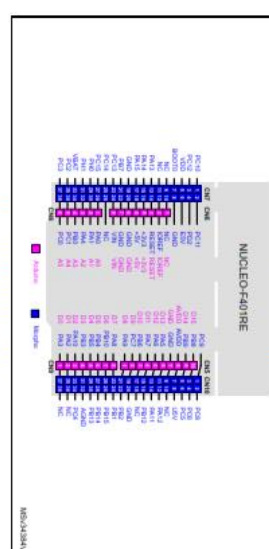
The external power sources VIN and E5V are summarized in the [Table 6](#). When the board is powered supplied by VIN or E5V, the jumpers configuration must be the following:

- Jumper on JP5 pin 2 and pin 1
  - Jumper removed on JP1

OMI/24

UM172-2

Figure 17. NUCLEO-F401RE



卷之三

UM1724  
Hardware layout and configuration

**Table 14.** Arduino connectors on NUCLEO-F334R8 (continued)

Connector	Pin	Pin name	MCU pin	Function
CN5 digital	2	D9	PC7	TIM3_CH2
	1	D8	PA9	-
	8	D7	PA8	-
	7	D6	PB10	TIM2_CH3
	6	D5	PB4	TIM3_CH1
CN8 digital	5	D4	PB5	-
	4	D3	PB3	TIM2_CH2
	3	D2	PA10	-
	2	D1	PA2	USART2_TX
	1	D0	PA3	USART2_RX

1. Refer to Table 9: Solder bridges for details.

TITRE DE LA PARTIE — TITRE DE CHAPITRE — TITRE DE FIGURE

Connector	Pin	Pin name	MCU pin	Function
NAME OF ANALOGIC INPUTS AND DIGITAL PIN				
	1	NC	-	-
	2	IREF	-	3.3V Ref
	3	RESET	NRST	RESET
CN6 power	4	+3V3	-	3.3V input/output
	5	+5V	-	5V output
	6	GND	-	Ground
	7	GND	-	Ground
	8	V/N	-	Power input
	1	AO	PA0	ADC1_0
	2	A1	PA1	ADC1_1
	3	A2	PA4	ADC1_4
CN8 analog	4	A3	PA0	ADC1_8
	5	A4	PC1 or PB8(1)	ADC1_11 (PC1) or (PC1_SDA (PB9))
	6	A5	PC0 or PB8(1)	ADC1_10 (PC0) or (PC1_SCL (PB8))
Right connectors				
	10	D15	PB8	I2C1_SCL
	11	D15	PB8	I2C1_SCL
CN5 digital	9	D14	PB9	I2C1_SDA
	8	AREF	-	AVDD
	7	GND	-	Ground

DorD025833 Rev 10

41/66







Repository Universitas Brawijaya  
Repository Universitas Brawijaya  
Repository Universitas Brawijaya  
Repository Universitas Brawijaya  
Repository Universitas Brawijaya

Repository Universitas Brawijaya  
Repository Universitas Brawijaya  
Repository Universitas Brawijaya  
Repository Universitas Brawijaya  
Repository Universitas Brawijaya

Repository Universitas Brawijaya  
Repository Universitas Brawijaya  
Repository Universitas Brawijaya  
Repository Universitas Brawijaya  
Repository Universitas Brawijaya

Repository Universitas Brawijaya  
Repository Universitas Brawijaya  
Repository Universitas Brawijaya  
Repository Universitas Brawijaya  
Repository Universitas Brawijaya

LMP276, LM2576HV  
SINCE JUNE 1995—REVISED MAY 2016

TEXAS  
INSTRUMENTS  
[www.ti.com](http://www.ti.com)

LMP276, LM2576HV  
SINCE JUNE 1995—REVISED MAY 2016

TEXAS  
INSTRUMENTS  
[www.ti.com](http://www.ti.com)

## 6 Specifications

### 6.1 Absolute Maximum Ratings

over the recommended operating junction temperature range of $-40^{\circ}\text{C}$ to $125^{\circ}\text{C}$ (unless otherwise noted) <sup>(1)(2)</sup>					
	MIN	MAX	UNIT		
Maximum supply voltage	LM2576: 1.6V to 70V	4.5	V		
20% OFF pin input voltage	6.5		V		
Output voltage to ground	(Stabilized state)	$-0.35 \leq V \leq V_{\text{in}}$	V	-1	V
Power dissipation				Internally Limited	
Maximum junction temperature, $T_{\text{j}}$		150	°C		
Storage temperature, $T_{\text{stg}}$	-55	150	°C		
Operating temperature range	-40	125	°C		

- (1) Stresses beyond those listed under **Absolute Maximum Ratings** may cause permanent damage to the device. These are stress ratings only and do not imply ratings of the device at these or other conditions beyond those indicated under **Recommendations**.  
(2) If military/ aerospace specified devices are required, please contact the TI Sales Office Distributors for availability and specifications.

### 6.2 ESD Ratings

UNIT	Electrostatic discharge	Human-body model (HBM), per ANSI/ESD/IEC 68-001 <sup>(1)</sup>	VALUE	UNIT
V <sub>DD</sub>		42,000	V	

- (1) JEDEC document JEDEC-001 states that 2000-V HBM allows safe manufacturing with a standard ESD control process.

### 6.3 Recommended Operating Conditions

over the recommended operating junction temperature range of  $-40^{\circ}\text{C}$  to  $125^{\circ}\text{C}$  (unless otherwise noted)

PARAMETER	MIN	MAX	UNIT	
Temperature	LM2576: LMP276HV	-40	125	°C
Supply voltage	LM2576HV	40	V	

### 6.4 Thermal Information

THERMAL METRIC <sup>(1)(2)(3)</sup>		UNIT	
RT (TO-263)	KC (TO-263)	UNIT	
5 PINS	5 PINS		
Fluxon	Junction-to-surface thermal resistance	°C/W	
Fluxon	Junction-to-case (top) thermal resistance	42.5	°C/W
Fluxon	Junction-to-board thermal resistance	43.3	°C/W
Fluxon	Junction-to-case thermal resistance	22.4	°C/W
Fluxon	Junction-to-board characterization parameter	10.7	°C/W
Fluxon	Junction-to-case characterization parameter	21.3	°C/W
Fluxon	Junction-to-board characterization parameter	0.4	°C/W

- (1) For more information about traditional and new thermal metrics, see the Semiconductor and IC Package Thermal Metrics application report, [SIR-003](#) and the Using New Thermal Metrics applications report, [SIR-025](#).  
(2) The package thermal impedance is calculated in accordance with JEDEC 51-7.  
(3) Thermal Resistances were simulated on a 4-layer, [JEDEC](#) board.

TEST CONDITIONS		MIN	TYP	MAX	UNIT
V <sub>DD</sub>	$V_{\text{in}} = 12\text{ V}, I_{\text{load}} = 0.5\text{ A}$	4.9	5	5.1	V

- (1) External components such as the diode, inductor, resistors, and output capacitors can affect switching regulator system performance. When the LM2576/LMP276HV is used as shown in Figure 20 and Figure 22, system performance is as shown in Electrical Characteristics: **At Output Voltage Versions**.

### 6.5 Electrical Characteristics: 3.3 V

Specifications are for  $T = 25^{\circ}\text{C}$  (unless otherwise noted).

PARAMETER TEST CIRCUIT Figure 20 and Figure 32<sup>(1)</sup>

TEST CONDITIONS

MIN TYP MAX UNIT

SYSTEM PARAMETERS TEST CIRCUIT Figure 20 and Figure 32<sup>(1)</sup>

PARAMETER TEST CIRCUIT Figure 20 and Figure 32<sup>(1)</sup>

TEST CONDITIONS

MIN TYP MAX UNIT

SYSTEM PARAMETERS TEST CIRCUIT Figure 20 and Figure 32<sup>(1)</sup>

PARAMETER TEST CIRCUIT Figure 20 and Figure 32<sup>(1)</sup>

TEST CONDITIONS

MIN TYP MAX UNIT

SYSTEM PARAMETERS TEST CIRCUIT Figure 20 and Figure 32<sup>(1)</sup>

PARAMETER TEST CIRCUIT Figure 20 and Figure 32<sup>(1)</sup>

TEST CONDITIONS

MIN TYP MAX UNIT

SYSTEM PARAMETERS TEST CIRCUIT Figure 20 and Figure 32<sup>(1)</sup>

PARAMETER TEST CIRCUIT Figure 20 and Figure 32<sup>(1)</sup>

TEST CONDITIONS

MIN TYP MAX UNIT

SYSTEM PARAMETERS TEST CIRCUIT Figure 20 and Figure 32<sup>(1)</sup>

PARAMETER TEST CIRCUIT Figure 20 and Figure 32<sup>(1)</sup>

TEST CONDITIONS

MIN TYP MAX UNIT

SYSTEM PARAMETERS TEST CIRCUIT Figure 20 and Figure 32<sup>(1)</sup>

PARAMETER TEST CIRCUIT Figure 20 and Figure 32<sup>(1)</sup>

TEST CONDITIONS

MIN TYP MAX UNIT

SYSTEM PARAMETERS TEST CIRCUIT Figure 20 and Figure 32<sup>(1)</sup>

PARAMETER TEST CIRCUIT Figure 20 and Figure 32<sup>(1)</sup>

TEST CONDITIONS

MIN TYP MAX UNIT

SYSTEM PARAMETERS TEST CIRCUIT Figure 20 and Figure 32<sup>(1)</sup>

PARAMETER TEST CIRCUIT Figure 20 and Figure 32<sup>(1)</sup>

TEST CONDITIONS

MIN TYP MAX UNIT

SYSTEM PARAMETERS TEST CIRCUIT Figure 20 and Figure 32<sup>(1)</sup>

PARAMETER TEST CIRCUIT Figure 20 and Figure 32<sup>(1)</sup>

TEST CONDITIONS

MIN TYP MAX UNIT

SYSTEM PARAMETERS TEST CIRCUIT Figure 20 and Figure 32<sup>(1)</sup>

PARAMETER TEST CIRCUIT Figure 20 and Figure 32<sup>(1)</sup>

TEST CONDITIONS

MIN TYP MAX UNIT

SYSTEM PARAMETERS TEST CIRCUIT Figure 20 and Figure 32<sup>(1)</sup>

PARAMETER TEST CIRCUIT Figure 20 and Figure 32<sup>(1)</sup>

TEST CONDITIONS

MIN TYP MAX UNIT

SYSTEM PARAMETERS TEST CIRCUIT Figure 20 and Figure 32<sup>(1)</sup>

PARAMETER TEST CIRCUIT Figure 20 and Figure 32<sup>(1)</sup>

TEST CONDITIONS

MIN TYP MAX UNIT

SYSTEM PARAMETERS TEST CIRCUIT Figure 20 and Figure 32<sup>(1)</sup>

PARAMETER TEST CIRCUIT Figure 20 and Figure 32<sup>(1)</sup>

TEST CONDITIONS

MIN TYP MAX UNIT

SYSTEM PARAMETERS TEST CIRCUIT Figure 20 and Figure 32<sup>(1)</sup>

PARAMETER TEST CIRCUIT Figure 20 and Figure 32<sup>(1)</sup>

TEST CONDITIONS

MIN TYP MAX UNIT

SYSTEM PARAMETERS TEST CIRCUIT Figure 20 and Figure 32<sup>(1)</sup>

PARAMETER TEST CIRCUIT Figure 20 and Figure 32<sup>(1)</sup>

TEST CONDITIONS

MIN TYP MAX UNIT

SYSTEM PARAMETERS TEST CIRCUIT Figure 20 and Figure 32<sup>(1)</sup>

PARAMETER TEST CIRCUIT Figure 20 and Figure 32<sup>(1)</sup>

TEST CONDITIONS

MIN TYP MAX UNIT

SYSTEM PARAMETERS TEST CIRCUIT Figure 20 and Figure 32<sup>(1)</sup>

PARAMETER TEST CIRCUIT Figure 20 and Figure 32<sup>(1)</sup>

TEST CONDITIONS

MIN TYP MAX UNIT

SYSTEM PARAMETERS TEST CIRCUIT Figure 20 and Figure 32<sup>(1)</sup>

PARAMETER TEST CIRCUIT Figure 20 and Figure 32<sup>(1)</sup>

TEST CONDITIONS

MIN TYP MAX UNIT

SYSTEM PARAMETERS TEST CIRCUIT Figure 20 and Figure 32<sup>(1)</sup>

PARAMETER TEST CIRCUIT Figure 20 and Figure 32<sup>(1)</sup>

TEST CONDITIONS

MIN TYP MAX UNIT

SYSTEM PARAMETERS TEST CIRCUIT Figure 20 and Figure 32<sup>(1)</sup>

PARAMETER TEST CIRCUIT Figure 20 and Figure 32<sup>(1)</sup>

TEST CONDITIONS

MIN TYP MAX UNIT

SYSTEM PARAMETERS TEST CIRCUIT Figure 20 and Figure 32<sup>(1)</sup>

PARAMETER TEST CIRCUIT Figure 20 and Figure 32<sup>(1)</sup>

TEST CONDITIONS

MIN TYP MAX UNIT

SYSTEM PARAMETERS TEST CIRCUIT Figure 20 and Figure 32<sup>(1)</sup>

PARAMETER TEST CIRCUIT Figure 20 and Figure 32<sup>(1)</sup>

TEST CONDITIONS

MIN TYP MAX UNIT

SYSTEM PARAMETERS TEST CIRCUIT Figure 20 and Figure 32<sup>(1)</sup>

PARAMETER TEST CIRCUIT Figure 20 and Figure 32<sup>(1)</sup>

TEST CONDITIONS

MIN TYP MAX UNIT

SYSTEM PARAMETERS TEST CIRCUIT Figure 20 and Figure 32<sup>(1)</sup>

PARAMETER TEST CIRCUIT Figure 20 and Figure 32<sup>(1)</sup>

TEST CONDITIONS

MIN TYP MAX UNIT

SYSTEM PARAMETERS TEST CIRCUIT Figure 20 and Figure 32<sup>(1)</sup>

PARAMETER TEST CIRCUIT Figure 20 and Figure 32<sup>(1)</sup>

TEST CONDITIONS

MIN TYP MAX UNIT

SYSTEM PARAMETERS TEST CIRCUIT Figure 20 and Figure 32<sup>(1)</sup>

PARAMETER TEST CIRCUIT Figure 20 and Figure 32<sup>(1)</sup>

TEST CONDITIONS

MIN TYP MAX UNIT

SYSTEM PARAMETERS TEST CIRCUIT Figure 20 and Figure 32<sup>(1)</sup>

PARAMETER TEST CIRCUIT Figure 20 and Figure 32<sup>(1)</sup>

TEST CONDITIONS

MIN TYP MAX UNIT

SYSTEM PARAMETERS TEST CIRCUIT Figure 20 and Figure 32<sup>(1)</sup>

PARAMETER TEST CIRCUIT Figure 20 and Figure 32<sup>(1)</sup>

TEST CONDITIONS

MIN TYP MAX UNIT

SYSTEM PARAMETERS TEST CIRCUIT Figure 20 and Figure 32<sup>(1)</sup>

PARAMETER TEST CIRCUIT Figure 20 and Figure 32<sup>(1)</sup>

TEST CONDITIONS

MIN TYP MAX UNIT

SYSTEM PARAMETERS TEST CIRCUIT Figure 20 and Figure 32<sup>(1)</sup>

PARAMETER TEST CIRCUIT Figure 20 and Figure 32<sup>(1)</sup>

TEST CONDITIONS

MIN TYP MAX UNIT

SYSTEM PARAMETERS TEST CIRCUIT Figure 20 and Figure 32<sup>(1)</sup>

PARAMETER TEST CIRCUIT Figure 20 and Figure 32<sup>(1)</sup>

TEST CONDITIONS

MIN TYP MAX UNIT

SYSTEM PARAMETERS TEST CIRCUIT Figure 20 and Figure 32<sup>(1)</sup>

PARAMETER TEST CIRCUIT Figure 20 and Figure 32<sup>(1)</sup>

TEST CONDITIONS

MIN TYP MAX UNIT

SYSTEM PARAMETERS TEST CIRCUIT Figure 20 and Figure 32<sup>(1)</sup>

PARAMETER TEST CIRCUIT Figure 20 and Figure 32<sup>(1)</sup>

TEST CONDITIONS

MIN TYP MAX UNIT

SYSTEM PARAMETERS TEST CIRCUIT Figure 20 and Figure 32<sup>(1)</sup>

PARAMETER TEST CIRCUIT Figure 20 and Figure 32<sup>(1)</sup>

TEST CONDITIONS

MIN TYP MAX UNIT

SYSTEM PARAMETERS TEST CIRCUIT Figure 20 and Figure 32<sup>(1)</sup>

PARAMETER TEST CIRCUIT Figure 20 and Figure 32<sup>(1)</sup>

TEST CONDITIONS

MIN TYP MAX UNIT

SYSTEM PARAMETERS TEST CIRCUIT Figure 20 and Figure 32<sup>(1)</sup>

PARAMETER TEST CIRCUIT Figure 20 and Figure 32<sup>(1)</sup>

TEST CONDITIONS

MIN TYP MAX UNIT

SYSTEM PARAMETERS TEST CIRCUIT Figure 20 and Figure 32<sup>(1)</sup>

PARAMETER TEST CIRCUIT Figure 20 and Figure 32<sup>(1)</sup>

TEST CONDITIONS

MIN TYP MAX UNIT

SYSTEM PARAMETERS TEST CIRCUIT Figure 20 and Figure 32<sup>(1)</sup>

PARAMETER TEST CIRCUIT Figure 20 and Figure 32<sup>(1)</sup>

TEST CONDITIONS

MIN TYP MAX UNIT

SYSTEM PARAMETERS TEST CIRCUIT Figure 20 and Figure 32<sup>(1)</sup>



### 3. Datasheet L298N

**L298**

**DUAL FULL-BRIDGE DRIVER**

**DESCRIPTION**

The L298 is an integrated monolithic circuit in a 15-lead Multic平和 PowerSO20 packages. It is a high voltage, high current dual full-bridge driver designed to accept standard TTL logic levels and drive inductive loads such as relays, solenoids and DC and stepping motors. Two enable inputs are provided to enable or disable the device independently of the input signals. The emitters of the lower transistors of each bridge are connected together and the corresponding external terminal can be used for the connection of an external sensing resistor. An additional supply input is provided so that the logic works at a lower voltage.

**BLOCK DIAGRAM**

**ORDERING NUMBERS**

- L298N (Multic平和 Vert.)
- L298H (Multic平和 Horz.)
- L298P (PowerSO20)

**Multic平和15**

**PowersO20**

**PIN CONNECTIONS (top view)**

THERMAL DATA			
Symbol	Parameter	PowerSO20	Multic平和15
$R_{Th(ja)}$	Thermal Resistance Junction-case	Max. 13.1 °C/W	Max. 35 °C/W
$R_{Th(ja)}$	Thermal Resistance Junction-ambient	Max. 13.1 °C/W	Max. 35 °C/W

(\*) Mounted on aluminum substrate

**L298**

**ABSOLUTE MAXIMUM RATINGS**

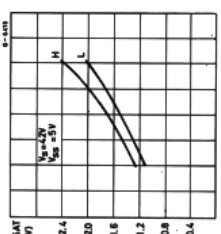
Symbol	Parameter	Value	Unit
$V_{B}$	Power Supply, Voltage	50	V
$V_{cm}$	Logic Supply, Voltage	7	V
$V_{Iin}$	Input and Enable Voltage	-0.3 to 7	V
$I_{B}$	Peak Output Current (each Channel)	3	A
	- Repetitive (I <sub>off</sub> = 100 μs)	2.5	A
	- DC Operation	2	A
$V_{cm}$	Sensing Voltage	-1 to 2.3	V
$P_{th}$	Total Power Dissipation ( $T_{jmax} = 75^\circ\text{C}$ )	25	W
$T_{jmax}, T_{j}$	Junction Operating Temperature	-25 to 130	°C
$T_{smax}, T_s$	Storage and Junction Temperature	-40 to 150	°C

## ELECTRICAL CHARACTERISTICS (continued)

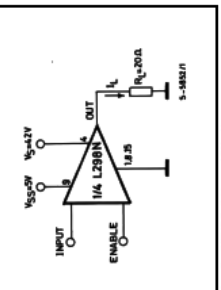
1) Sourcing voltage can be  $-1\text{ V}$  for  $t \geq 50\text{ }\mu\text{sec}$ ; in steady state  $V_{\text{out}} \text{ min} \geq -0.5\text{ V}$ .

- See Fig. 4.
- See Fig. 4.
- The load must be a pure resistor.

**Figure 1 : Typical Saturation Voltage vs. Output Current.**



4/13



**Figure 2 :** Switching Times Test Circuits.

卷之三

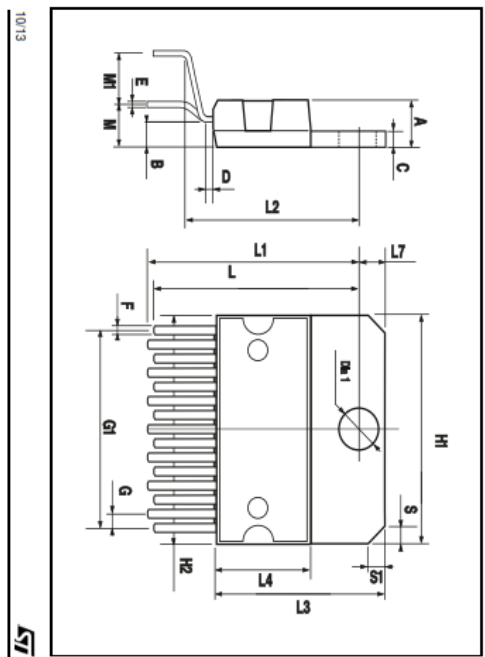
Symbol	Parameter	Test Conditions	Min.	Typ.	Max.	Unit
		Operative Condition	$V_{DD} = 5V$			
$V_{DD}$	Supply Voltage (pin 4)		4.5	5	7	V
$I_{QSS}$	Quiescent Supply Current (pin 9)	$V_{DD} = H; I_C = 0$	$V_{DD} = L$	13	22	mA
$I_{QSS}$	Quiescent Current from $V_{DD}$ (pin 9)	$V_{DD} = L; I_C = 0$	$V_{DD} = X$	20	30	mA
$I_{QSS}$	Quiescent Current from $V_{DD}$ (pin 9)	$V_{DD} = H; I_C = 0$	$V_{DD} = L$	4	8	mA
$I_{SS}$	Quiescent Current from $V_{DD}$ (pin 9)	$V_{DD} = H; I_C = 0$	$V_{DD} = L$	36	38	mA
$V_{IN}$	Input Low Voltage	$V_{IN} = L$	$V_{IN} = X$	6	mA	
$V_L$	Input Low Voltage	(pins 5, 7, 10, 12)		-0.3	1.5	V
$V_{H1}$	Input High Voltage	(pins 5, 7, 10, 12)		2.3		V
$I_L$	Low Voltage Input Current	$V_L = L$		-10		$\mu A$
$I_H$	High Voltage Input Current	(pins 5, 7, 10, 12)	$V_H = H \leq V_{DD} - 0.6V$	30	100	$\mu A$
$V_L = L$	Enable Low Voltage (pins 6, 11)		-0.3	1.5	V	
$V_H = H$	Enable High Voltage (pins 6, 11)		2.3	$V_{DD}$	V	
$I_{EM}$	Low Voltage Enable Current	$V_{EM} = L$		-10		$\mu A$
$I_{EM}$	High Voltage Enable Current	(pins 6, 11)	$V_{EM} = H \leq V_{DD} - 0.6V$	30	100	$\mu A$
$V_{EM(H)}$	Source Saturation Voltage	$I_{EM} = A$	0.95	1.35	1.7	V
$V_{EM(L)}$	Sink Saturation Voltage	$I_{EM} = A$	2.2	2.7	V	
$V_{CESS}$	Total Drop	$I_{EM} = A$	0.85	1.2	1.6	V
$V_{CESS}$	Total Drop	(5)	1.7	2.3	3.2	V
$V_{DD}$	Sensing Voltage (pins 1, 15)	(5)	4.9	5	7	V
		(1)	2	2	2	V

ELECTRICAL CHARACTERISTICS ( $V_S = 42V$ ;  $V_{BS} = 5V$ ;  $T_j = 25^\circ C$ ; unless otherwise specified)

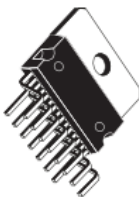
MW_15	PowerSO	Name	Function
1:15	2:19	Sense A, Sense B	Between this pin and ground is connected the sense resistor to control the current of the load.
2:3	4:5	Out11:Out 2	Outputs of the Bridge A, the current that flows through the load connected between these two pins is monitored at pin 1.
4	6	V <sub>D</sub>	Supply Voltage for the Power Output Stages.
5:7	7:9	Input11:Input 2	A non-inductive 10nF-capacitor must be connected between this pin and ground.
6:11	B:14	EnableA,EnableB (Enable A)and(Enable B)	TTL-Compatible Inputs of the Bridge A. Enable A enables the Bridge B (Enable B).
8	1:10,11:20	GND	Ground.
9	12	VSS	Supply Voltage for the Logic Blocks A 10nF capacitor must be connected between this pin and ground.
10:12	13:15	Input3:Input 4	TTL-Compatible Inputs of the Bridge B.
13:14	16:17	Out3:Out 4	Outputs of the Bridge B. The current that flows through the load connected between these two pins is monitored at pin 15.
-	3:18	NC	Not Connected

---

298



Multiwatt15 V



**OUTLINE AND  
MECHANICAL DATA**

DIM.	mm			inch		
	MIN.	TYP.	MAX.	MIN.	TYP.	MAX.
A			5		0.197	
B		2.05			0.084	
C		1.0			0.039	
D		1			0.039	
E	0.49		0.55	0.019		0.022
F	0.65		0.75	0.026		0.028
G	1.02	1.27	1.52	0.040	0.050	0.060
G1	17.53	17.78	18.03	0.690	0.700	0.710
H1	19.6			0.772		
H2		20.2			0.795	
L	21.9	22.2	22.5	0.862	0.874	0.885
L1	21.7	22.1	22.5	0.854	0.870	0.886
L2	17.05			0.681	0.713	
L3	17.20	17.5	17.75	0.679	0.698	0.719
L4	19.3	19.7	19.9	0.760	0.781	0.802
L7	2.05		2.9	0.104	0.114	
M	4.22	4.55	4.85	0.167	0.179	0.191
M1	4.63	5.08	5.53	0.182	0.200	0.218
S	1.9		2.6	0.075	0.102	
S1	1.9		2.6	0.075	0.102	
Date	3/05		3/85	0.144		0.192

L298

#### **4. Datasheet Servo Serial Dynamixel AX-12**



Protocol Type	Half duplex Asynchronous Serial Communication [RS-485, stop No Party]
Link (Physical)	TTL Level Multi Drop (daisy chain type Connector)
ID	254 ID (P=253)
Communication Speed	734.9bps ~ 1 Mbps
Feedback	Position, Temperature, Load, Input Voltage, etc.
Material	Engineering Plastic



## 1-2. Main Specifications

DYNAMIXEL  
AX-12  
ROBOTIS

Repository Universitas Brawijaya  
Repository Universitas Brawijaya

Repository Universitas Brawijaya  
Repository Universitas Brawijaya  
Repository Universitas Brawijaya  
Repository Universitas Brawijaya  
Repository Universitas Brawijaya  
Repository Universitas Brawijaya

Repository Universitas Brawijaya  
Repository Universitas Brawijaya  
Repository Universitas Brawijaya  
Repository Universitas Brawijaya  
Repository Universitas Brawijaya  
Repository Universitas Brawijaya

Repository Universitas Brawijaya  
Repository Universitas Brawijaya  
Repository Universitas Brawijaya  
Repository Universitas Brawijaya  
Repository Universitas Brawijaya  
Repository Universitas Brawijaya

## DYNAMIXEL AX-12

## ROBOTIS

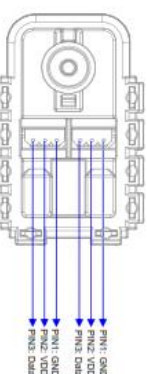
## DYNAMIXEL AX-12

## ROBOTIS

### 2-3. Dynamixel Wiring

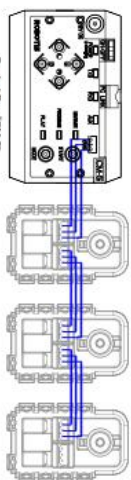
#### Pin Assignment

The connector pin assignments are as the following. The two connections on the Dynamixel are connected pin to pin, thus the AX-12 can be operated with only one connector attached.



#### Wiring

Connect the AX-2 activations pin to pin as shown below. Many AX-12 actuators can be controlled with a single bus in this manner.

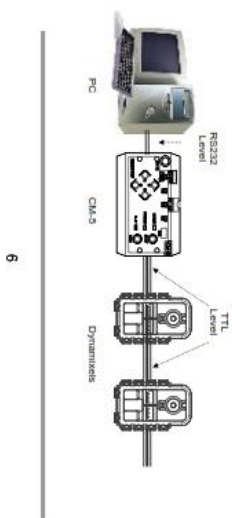


### Main Controller

To operate the Dynamixel actuators, the main controller must support TTL level half duplex UART. A proprietary controller can be used, but the use of the Dynamixel controller CM-5 is recommended.

### PC LINK

A PC can be used to control the Dynamixel via the CM-5 controller.



9

### 3-1 Communication Overview

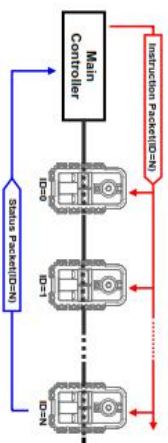
#### Packet

The main controller communicates with the Dynamixel units by sending and receiving data packets. There are two types of packets: the "Instruction Packet" (sent from the main controller to the Dynamixel actuators) and the "Status Packet" (sent from the Dynamixel actuators to the main controller.)



#### Communication

For the system connection below, if the main controller sends an instruction packet with the ID set to N, only the Dynamixel unit with this ID value will return its respective status packet and perform the required instruction.



#### Unique ID

If multiple Dynamixel units have the same ID value, multiple packets sent simultaneously collide, resulting in communication problems. Thus, it is imperative that no Dynamixel units share the same ID in a network node.

The Dynamixel actuators communicate through asynchronous serial communication with 8 bit, 1 stop bit and no parity.

#### Protocol

Repository Universitas Brawijaya

## DYNAMIXEL AX-12 ROBOTIS

### 3.2. Instruction Packet

The Instruction Packet is the packet sent by the main controller to the Dynamixel units to send commands. The structure of the Instruction Packet is as the following:

**Instruction Packet**  
**DXFF DFFF LENGTH INSTRUCTION PARAMETER1 ... PARAMETERN CHECK SUM**

The meanings of each packet byte definition are as the following.

**DXFF DFFF**  
**ID**  
**LENGTH**  
**INSTRUCTION**  
**PARAMETER1 ... PARAMETERN**  
**CHECK SUM**

The two DXFF bytes indicate the start of an incoming packet.

**D**  
**I**  
**L**  
**E**  
**R**  
**O**

The unique ID of a Dynamixel unit. There are 254 available ID values, ranging from 0x00 to 0xFF.

**Broadcasting ID**  
**ID 0xFF** is the Broadcasting ID which indicates all of the connected Dynamixel units. Packets sent with this ID apply to all Dynamixel units on the network. Thus packets sent with a broadcasting ID will not return any status packets.

**LENGTH**  
**The length of the packet where its value is "Number of parameters (N) + 2"**

**INSTRUCTION**  
**The instruction for the Dynamixel actuator to perform.**

**PARAMETER0...N**  
**Used if there is additional information needed to be sent other than the instruction itself.**

**CHECK SUM**  
**The computation method for the 'Check Sum' is as the following.**

$\text{Check Sum} = (\text{ID} + \text{Length} + \text{Instruction} + \text{Parameter1} + \dots + \text{ParameterN})$

If the calculated value is larger than 255, the lower byte is defined as the checksum value.  
 $\sim$  represents the NOT logic operation.

### 3.3. Status Packet(Return Packet)

The Status Packet is the response packet from the Dynamixel units to the Main Controller after receiving an instruction packet. The structure of the status packet is as the following:

**DXFF DFFF LENGTH PARAMETER1 ... PARAMETERN CHECK SUM**

The meanings of each packet byte definition are as the following.

**DXFF DFFF**  
**ID**  
**LENGTH**  
**INSTRUCTION**  
**PARAMETER1 ... PARAMETERN**  
**CHECK SUM**

The two DXFF bytes indicate the start of the packet. The initial value is set to 1.

The length of the packet where its value is "Number of parameters (N) + 2"

The byte representing errors sent from the Dynamixel unit. The meaning of each bit is as the following:

Bit	Name	Details
Bit 7	0	-
Bit 6	Instruction Error	Set to 1 if an undefined instruction is sent or an action instruction is sent without a Reg. Write instruction.
Bit 5	Overload Error	Set to 1 if the specified maximum torque can't control the applied load.
Bit 4	Checksum Error	Set to 1 if the checksum of the instruction packet is incorrect.
Bit 3	Range Error	Set to 1 if the instruction sent is out of the defined range.
Bit 2	Overheating Error	Set to 1 if the internal temperature of the Dynamixel unit is above the operating temperature range as defined in the control table.
Bit 1	Angle Limit Error	Set as 1 if the Goal Position is set outside of the range between CW Angle Limit and CCW Angle Limit.
Bit 0	Input Voltage Error	Set to 1 if the voltage is out of the operating voltage range as defined in the control table.

**PARAMETER0...N**  
**Used if additional information is needed.**

The computation method for the 'Check Sum' is as the following.  
 $\text{Check Sum} = (\text{ID} + \text{Length} + \text{Instruction} + \text{Parameter1} + \dots + \text{ParameterN})$

If the calculated value is larger than 255, the lower byte is defined as the checksum value.  
 $\sim$  represents the NOT logic operation.

DYNAMIXEL AX-12

ROBOTIS

Address 0x18

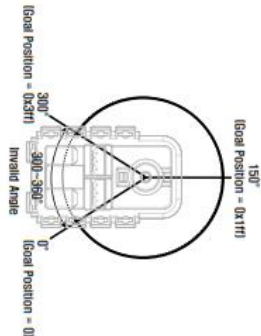
**Torque Enable.** When the power is first turned on, the Dynamixel actuator enters the Torque Free Run condition (zero torque). Setting the value in Address 0x18 to 1 enables the torque.

**Compliance Margin and Slope.** The compliance of the Dynamixel actuator is defined by setting the compliance Margin and Slope. This feature can be utilized for absorbing shocks at the output shaft. The following graph shows how each compliance value (length of A, B, C & D) is defined by the Position Error and applied torque.



A : CCW Compliance Slope(Address0x01A0)  
B : CCW Compliance Margin(Address0x01A1)  
C : CW Compliance Margin(Address0x01A2)  
D : CW Compliance Slope (Address0x01C1)  
E : Punch(Address0x30,31)

**Address 0xE, 0x1F** **Goal Position** Requested angular position for the Dynamixel actuator output to move to. Setting this value to 0x3ff moves the output shaft to the position at 300°.



16